

## Autoassemblaggio Coerente-Dipendente in Anestetici Dentali: Modulazione Strutturale tramite Esposizione a Campi Passivi

David Nixon, M.B., Ch.B.  
Studio e Medico Indipendente  
Brisbane, Australia

Email: [david@drdavidnixon.com](mailto:david@drdavidnixon.com) | Sito web: [www.drdavidnixon.com](http://www.drdavidnixon.com) | ORCID: [0009-0007-9817-5421](https://orcid.org/0009-0007-9817-5421)

---

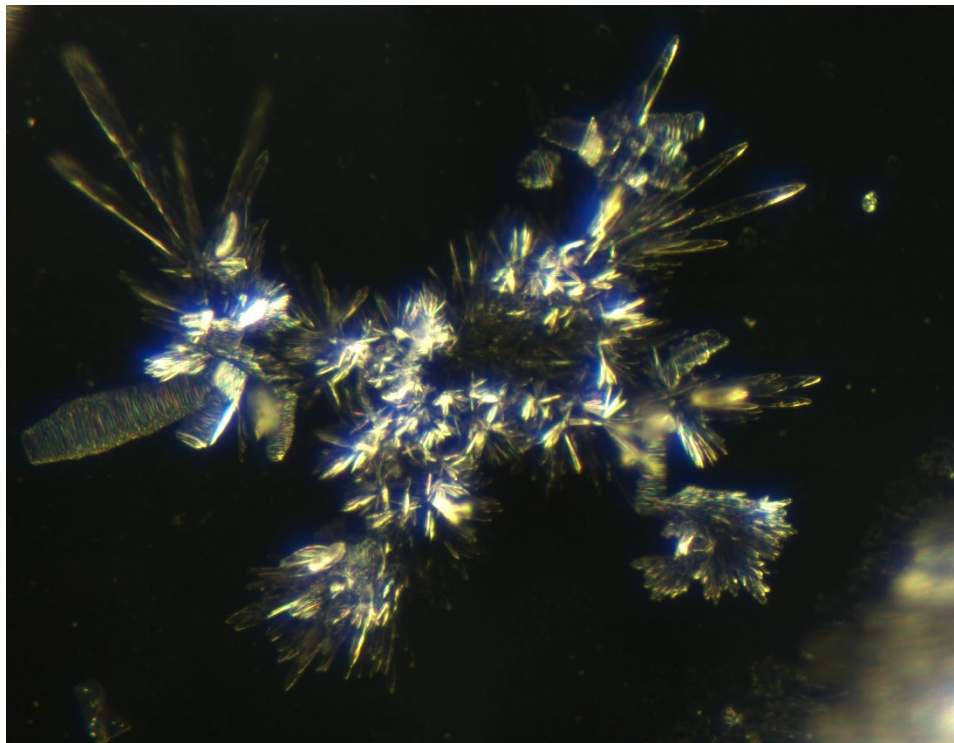


Immagine di copertina. Strutture cristalline formatesi in anestetico dentale non trattato in seguito all'evaporazione di una goccia sessile. Assemblaggi di questo tipo, con geometria definita e motivi di ramificazione, servono da punti di riferimento per valutare gli effetti dei trattamenti basati su campi sul comportamento di autoassemblaggio.

### Dedica: Carlos Orozco

Questo lavoro è dedicato al mio caro amico Carlos Orozco, la cui intuizione, il cuore e la missione di vita erano inscindibili dalla scienza della coerenza. Insegnava che la chiave della coerenza non è semplicemente un concetto di campo o un diagramma, ma un allineamento vissuto: di luce, di amore e di ogni colore dentro di noi reso intero.

“Quando i colori si fondono in uno attraverso l'azione dell'energia rotante, si definisce il colore bianco, che rappresenta l'unificazione di tutti i colori. Lo chiamiamo luce”.  
“Quindi, possiamo chiamarla armonia, poiché tutti i colori sono diventati uno e l'unico colore è fatto di tutti i colori”.

—Carlos Orozco

Carlos comprese che la vera coerenza non emerge dalla forza o dal controllo, ma dall'integrazione di corpo, cuore, intenzione e campo. Il suo contributo a questo lavoro è stato sia diretto che catalitico: è stato durante esperimenti condivisi con il suo dispositivo *Key to Coherence* che ho assistito per la prima volta alla capacità dei campi strutturati di influenzare la formazione di cristalli al microscopio. Anche se le implicazioni all'epoca erano comprese solo parzialmente, quelle sessioni hanno gettato le basi per le scoperte successive.

Il suo insegnamento, *che la coerenza e la congruenza formano il ponte tra intenzione e realtà*, risuona attraverso ogni appendice, ogni esperimento e ogni fotografia in questo lavoro.

**Carlos, la tua voce è qui.**



*Carlos Orozco parla di coerenza e della scienza della luce.*

## Indice

Abstract .....	316
Parole chiave: .....	317
Tecnologie: <i>microscopia in campo oscuro, modulazione energetica, trattamento basato sulla frequenza, campo a bassa intensità esposizione, Disco di Orgonite, Sistema Theraphi</i> .....	317
Riassunto per il pubblico generico .....	317
Introduzione .....	318
Materiali e metodi .....	320
Risultati: Autoassemblaggio strutturato e dinamiche di cristallizzazione modulate dal campo .....	325
Theraphi .....	332
Orgonite .....	336
Riassunto dei risultati.....	349
Discussion .....	350
Conclusion .....	356
Riferimenti bibliografici .....	357
Appendice 1: Domini di coerenza nei sistemi viventi. ....	359
Appendice 2: Riconsiderazioni sull'acqua coerente – Riflessioni su Del Giudice et al. (2015).....	362
Appendice 3: Valor Glass, integrità della coerenza e autoassemblaggio sensibile al campo.....	368
Appendice 4: Campi elettromagnetici ad alta frequenza e domini di coerenza sintetica .....	369
Appendice 5: Miscelazione ottica non lineare e olografia in tempo reale.....	370
Appendice 6: Modulatori di coerenza: Wi-Fi, oro e campi strutturati .....	373
Appendice 7. Modellazione funzionale degli effetti di campo dell'orgonite.....	380
Appendice 8: La sequenza del “Taffy Puller”.....	381
Appendice 9: Cristallizzazione generazionale, ridistribuzione colloidale ed energia–informazione Biforcazione .....	384
Glossario.....	387
Ringraziamenti.....	395
Dichiarazione di non conflitto di interessi .....	395
Nota sul copyright .....	395
Disclaimer legale.....	396

## Autoassemblaggio Coerente-Dipendente in Anestetici Dentali: Modulazione Strutturale tramite Esposizione a Campi Passivi

### Abstract

L'analisi microscopica rivela che alcuni prodotti farmaceutici, in particolare gli anestetici dentali, esibiscono comportamenti strutturati coerenti con l'autoassemblaggio. Tramite evaporazione di gocce sessili (SDE), si osserva una sequenza coerente in quattro fasi: emersione di nanoparticelle, aggregazione colloidale, formazione di vescicole e consolidamento cristallino. Queste strutture esibiscono precisione geometrica, sensibilità al campo e reattività dinamica: caratteristiche non spiegabili con i paradigmi chimici classici.

Questo studio analizza se interventi di campo a bassa energia possano modulare tale processo. Campioni di anestetico dentale sono stati esposti a un disco di organite passivo (composto da resina, alluminio e quarzo macinato) per 48 ore, oppure a una sessione di due ore in un campo di plasma Theraphi, e quindi analizzati tramite SDE e microscopia in campo oscuro. I risultati hanno evidenziato marcate riduzioni nel movimento delle vescicole, interruzione della cristallizzazione e collasso strutturale in seguito all'esposizione all'organite. Al contrario, Theraphi sembrava rafforzare o accelerare lo sviluppo strutturale.

Questi risultati supportano il modello tetrafasico proposto per l'autoassemblaggio e introducono il framework Bio-Synthetic Interface (BSI), che definisce il potenziale di interfaccia come il prodotto di Coerenza (C), Risonanza (R) e Flusso di Informazioni (F). Il collasso strutturale in condizioni specifiche suggerisce che l'interruzione della coerenza potrebbe offrire una strategia valida per smantellare nanostrutture sintetiche incorporate nei sistemi biologici.

Parallelamente, i risultati suggeriscono che non tutti gli interventi basati sulla coerenza influenzano uniformemente gli assemblaggi sintetici, evidenziando la necessità di un'esplorazione mirata delle terapie basate sui campi.

## **Parole chiave:**

*Tecnologie: microscopia in campo oscuro, modulazione energetica, trattamento basato sulla frequenza, esposizione a campi a bassa intensità, Disco di Orgonite, Sistema Theraphi.*

*Strutture: Dominio Cerchio-Rettangolo (CRD), colloidi, autoassemblaggio cristallino, biomateriali sintetici, nanostrutture autoassemblanti, vescicole, Zona di Collasso del Perimetro (PCZ).*

*Modelli teorici: Modello Interfaccia Bio-Sintetica (BSI), Paradosso di Coerenza, interruzione della coerenza, strati-ficazione risonante, architetture sensibili al segnale, destabilizzazione strutturale, Firma Tetrafasica.*

## **Riassunto per il pubblico generico**

Negli ultimi quattro anni ho trascorso migliaia di ore a esaminare anestetici dentali e altri prodotti medici al microscopio. Ripetutamente, ho riscontrato strane strutture: fibre, cristalli e particelle colloidali che sembrano estranee. Non si tratta di contaminanti casuali.

Appaiono strutturate, auto-organizzanti e reattive al loro ambiente, più simili a sistemi ingegnerizzati che a sottoprodotti naturali.

Se queste strutture sono sintetiche e basate su segnali, i trattamenti convenzionali progettati per alterare la chimica potrebbero non essere sufficienti. Questo studio esplora una possibilità diversa: l'esposizione a un campo di bassa intensità può interrompere la coerenza da cui queste strutture sembrano dipendere?

Per verificare questa ipotesi, fiale sigillate di anestetico dentale sono state posizionate accanto a un Disco di orgonite passivo composto per un terzo da resina, un terzo da alluminio e un terzo da quarzo macinato. Il disco genera un campo statico non alimentato: nessuna elettricità, nessun calore e nessuna interazione chimica. In una seconda prova, altri campioni sono stati esposti a una sessione Theraphi di due ore, utilizzando un dispositivo a campo attivo basato sul plasma e promosso per scopi riparativi.

Dopo 48 ore di esposizione, l'analisi microscopica ha rivelato un cambiamento sorprendente. Molti campioni trattati con orgonite non sono riusciti a cristallizzare affatto. Strutture che normalmente si formerebbero, come grandi vescicole con vortici interni e motivi cristallini caratteristici, erano assenti. In diversi casi, il movimento delle vescicole si era interrotto completamente. Questi risultati suggeriscono che il campo orgonico ha ampiamente interrotto le dinamiche di autoassemblaggio tipicamente osservate nei campioni non trattati.

Al contrario, l'esposizione al campo Theraphi non ha inibito la cristallizzazione e potrebbe aver rafforzato alcune caratteristiche del processo. Ciò solleva un'importante considerazione: diverse tecnologie basate sui campi potrebbero non avere effetti uniformi su queste strutture sintetiche. Alcune potrebbero stabilizzare, altre interrompere; una dinamica che merita ulteriori indagini.

Questi risultati suggeriscono che i sistemi sintetici autoassemblanti potrebbero dipendere dalla coerenza vibrazionale o strutturale e che anche una perturbazione di un campo passivo potrebbe interferire con la loro formazione. In tal caso, si aprirebbe una nuova via per l'intervento terapeutico: non attaccando il materiale stesso, ma interrompendo il segnale che lo tiene insieme. Allo stesso tempo, introduce quello che si potrebbe definire un Paradosso di Coerenza: alcune tecnologie di guarigione possono contribuire a disassemblare queste architetture. Altri potrebbero involontariamente contribuire alla loro crescita.

## Introduzione

Nel 2023, Mateo Taylor ha evidenziato la natura complessa del processo di evaporazione di una goccia sessile (SDE) e dei cristalli prodotti nell'anestetico dentale, intuizione derivante da un'approfondita indagine su fenomeni analoghi nel vaccino Pfizer Comirnaty COVID-19. L'autore, medico di famiglia con 25 anni di esperienza, ha dedicato centinaia di ore all'osservazione diretta e all'analisi del comportamento di cristallizzazione, inizialmente nel Comirnaty e successivamente in campioni di anestetico dentale (Nixon 2025a, 2025b). Nello stesso anno, l'autore ha fondato un gruppo informale, i Micronauti, composto da persone con diverse esperienze e competenze, tutte interessate a esplorare queste scoperte microscopiche. Da allora, molti membri di questo gruppo hanno dedicato molto tempo all'esame non solo di campioni di anestetico dentale, ma anche di diversi fluidi biologici (Nixon 2025d).

Le scoperte sia dell'autore che di altri membri dei Micronauti hanno rivelato una sorprendente coerenza: tutti gli anestetici dentali osservati seguivano lo stesso schema strutturale durante l'evaporazione. Acquisendo familiarità, è diventato possibile distinguere le diverse marche, ciascuna conforme allo stesso comportamento generale pur mostrando variazioni sottili e riproducibili. Quello che inizialmente sembrava essere rumore era in realtà un segnale: una progressione dinamica e multistadio che poteva essere appresa, tracciata e anticipata. Inizialmente descritta come una firma trifasica – colloidali, vescicole, cristalli – ulteriori indagini hanno rivelato una fase ancora precedente. Prima della formazione dei colloidali, una fase invisibile di particolati a nanoscala sembra autoassemblarsi durante le fasi iniziali dell'evaporazione, ponendo le basi per ciò che in seguito diventerà otticamente visibile. Questa comprensione ampliata supporta ora un modello tetrafasico della dinamica di cristallizzazione nei fluidi farmaceutici.

Questo processo non solo era onnipresente tra le marche, ma si è anche dimostrato coerente nel tempo. Anestetici dentali prodotti più di due decenni fa mostravano lo stesso comportamento caratteristico, durante l'evaporazione, delle formulazioni attuali. Questo solleva un'inevitabile domanda: questo processo è normale oppure è anomalo da molto tempo? La possibilità di un lungo arco di sviluppo, che si estende per molti anni, è coerente con precedenti scoperte in campioni di Comirnaty, dove sono stati osservati e registrati comportamenti di auto-assemblaggio simili (Nixon 2025a). Se questi fenomeni strutturali sono presenti in diversi prodotti e periodi, potrebbero rappresentare non una recente anomalia, ma un'architettura stabile e intenzionale, che è semplicemente sfuggita all'esame fino ad ora.

In medicina, c'è un detto: "le cose comuni accadono comunemente". Questo funziona sia come euristica sia come scudo, uno strumento per guidare il ragionamento diagnostico proteggendo al contempo i clinici da critiche eccessive quando vengono trascurati risultati rari o inaspettati. Eppure, in questo caso, si deve considerare il contrario. Quando comportamenti strutturali vengono osservati in modo coerente nel tempo, tra diverse marche e da diversi osservatori, diventa meno plausibile che si tratti di artefatti o anomalie. La comunità medica deve ora confrontarsi con la possibilità che questi fenomeni non siano affatto rari, ma

sono rimasti invisibili solo perché nessuno li stava osservando. Se i risultati sono reali—e riproducibili—l'obbligo di indagare non ricade più su osservatori marginali, ma sulla professione nel suo complesso, in particolare quando la mancata esplorazione di tali risultati può comportare la perdita di opportunità terapeutiche.

Nel 2022, Mateo Taylor ha dimostrato che la crescita dei cristalli in Pfizer Comirnaty poteva essere modulata alterando un segnale Wi-Fi nelle vicinanze. Nel 2023, l'autore ha mostrato che la prossimità all'oro colloidale produceva un effetto simile, ma opposto: interrompendo o destabilizzando la formazione dei cristalli. Queste risposte non sono facilmente spiegabili dalla chimica convenzionale e suggeriscono, invece, un meccanismo biofisico più complesso. Partendo da questi risultati, il presente studio si è proposto di determinare se il processo di cristallizzazione nell'anestetico dentale—in particolare durante l'evaporazione di una goccia sessile (SDE)—potesse essere modulato dall'esposizione a due distinte influenze di campo: un campo passivo a bassa energia generato da un disco di Orgonite e un campo al plasma attivo a più alta energia generato dal Sistema Theraphi.

Il modello di Interfaccia Bio-Sintetica (IBS) è stato sviluppato in risposta a precedenti osservazioni in Pfizer Comirnaty, dove le strutture cristalline apparivano sensibili alle condizioni energetiche ambientali.

Il presente studio esplora se tale modello possa essere applicabile anche al comportamento di cristallizzazione negli anestetici dentali, in particolare se si osserva che il processo SDE si modifica sotto l'influenza di questi interventi basati su campi.

## Materiali e metodi

### Configurazione della microscopia

La microscopia è stata eseguita utilizzando un sistema Neogenesis con una sorgente luminosa a LED da 9 W, in grado di acquisire immagini sia in campo chiaro sia in campo oscuro. Le immagini sono state acquisite utilizzando una fotocamera HDMI HD USB a una risoluzione massima di  $3264 \times 1836$  pixel.

- **Campo chiaro:** condensatore di Abbe con filtro smerigliato (NA = 1,25)
- **Campo oscuro:** condensatore cardioide a immersione in olio

### Preparazione del vetrino portaoggetti

Vetrini portaoggetti standard ( $76,2 \times 25,4$  mm, Livingstone International) sono stati puliti con alcol isopropilico sterile al 70% e asciugati usando salviette Kimwipes per minimizzare la contaminazione da particelle.

### Preparazione del campione

Un campione di anestetico dentale è stato prelevato da fiale sigillate e conservato in condizioni ambientali prima dei test. Non sono stati utilizzati additivi né fissativi.

### Protocollo di esposizione all'Orgonite

Le fiale di prova sono state poste direttamente sopra un Disco di orgonite passivo per 48 ore a temperatura ambiente. Il Disco era composto per circa un terzo da Resina, un terzo da trucioli di alluminio e un terzo da quarzo macinato, compressi per formare una matrice statica generatrice di campo. Non sono state utilizzate fonti di alimentazione né modulazioni attive. L'esposizione è avvenuta in condizioni ambientali, senza refrigerazione.



Figura 1. Fiala di anestetico dentale posizionata sul Disco di orgonite utilizzato negli esperimenti di interruzione della Coerenza. Il Disco di orgonite è composto da un terzo di Resina, un terzo di alluminio e un terzo di quarzo macinato. Non vi è stato contatto diretto tra il Disco e la goccia di farmaco; l'esposizione energetica è stata mantenuta passivamente per 48 ore prima dell'analisi al microscopio. Il Disco non è alimentato e non emette alcun campo CEM misurabile con la strumentazione standard. <sup>1</sup>

### Protocollo di Esposizione al Theraphi

Come intervento comparativo, ulteriori campioni sono stati esposti a un Trattamento Theraphi di 2 ore prima dell'analisi SDE. Il Sistema Theraphi genera un campo plasmatico longitudinale tramite tubi a gas nobili coniu-gati, pilotati da una cascata di frequenze armoniche. I campioni sono stati posizionati nel punto focale mediano del sistema per l'intera durata del trattamento. Non si è verificato alcun contatto fisico. La durata dell'esposizione è stata estesa oltre l'uso standard per massimizzare la potenziale modulazione strutturale.

---

<sup>1</sup> La fiala è rimasta sigillata per l'intera durata dell'esposizione. La foto è stata scattata al termine dell'esperimento.



Figura 2. Configurazione del dispositivo Theraphi nella sala di trattamento. Theraphi è un sistema di modulazione della frequenza e della Coerenza basato sul plasma che eroga campi bioattivi ad alta tensione e senza contatto tramite una serie di tubi al plasma in vetro. È stato utilizzato in una fase di test separata per confrontare un trattamento energetico ad alta intensità con il modello di esposizione passiva all'Orgonite. Non si è verificato alcun contatto diretto con il campione.

### **Analisi dell'Evaporazione di Gocce Sessili (SDE)**

Dopo l'esposizione, le gocce sono state analizzate al microscopio sia in campo chiaro che in campo oscuro, con ingrandimenti compresi tra 100x e 1000x. Durante l'intero processo di evaporazione sono stati osservati cristallizzazione, dinamiche delle vescicole e movimento dei colloidi. Per tutti i campioni sono state acquisite sequenze di immagini in diversi momenti.

#### **Controlli e Screening degli Artefatti**

Sebbene in questo studio non sia stato incluso un controllo con solo fluido, test precedenti approfonditi hanno confermato che le strutture cristalline e vescicolari osservate non sono artefatti del processo di microscopia. Studi precedenti con soluzione salina, acqua distillata e preparazioni di controllo non hanno prodotto geometrie o assemblaggi dinamici comparabili in condizioni SDE equivalenti.

### **Esposizione al Sistema Theraphi: Origini, Razionale e Implementazione**

Il Sistema Theraphi è una modalità di trattamento energetico senza contatto sviluppata da Dan Winter e Paul Harris. Deriva da una serie di dispositivi bioenergetici sperimentali finalizzati a ripristinare l'ordine cellulare attraverso l'esposizione a campi elettromagnetici coerenti. Basato su modelli teorici che coinvolgono la coniugazione di fase, le onde scalari longitudinali e la redistribuzione della carica, il sistema integra principi di fisica del plasma, geometria sacra e risonanza biofisica.

Originariamente concettualizzato nei primi anni 2010, il Sistema Theraphi si basa sul lavoro fondamentale di pionieri come Antoine Priore—i cui trattamenti elettromagnetici a base di plasma nella Francia degli anni '60 e '70 indussero effetti rigenerativi in modelli animali—e sui contributi speculativi di Nikola Tesla riguardanti la trasmissione di energia longitudinale. Basandosi su questa eredità, Winter e Harris hanno applicato la dinamica del campo frattale per progettare un sistema volto a ricaricare i tessuti biologici attraverso il ripristino della simmetria elettrica e della Coerenza di campo.

Il cuore del Sistema Theraphi è costituito da due tubi al plasma a gas nobile disposti in opposizione, attraverso i quali viene emessa una coppia coniugata di forme d'onda elettromagnetiche. Queste emissioni sono generate attraverso una cascata di frequenze che combina potenziali elettrostatici a bassa frequenza con un'onda portante modulata scalarmente e centrata intorno ai 3 MHz, incorporando componenti armoniche nell'intervallo tra ~0.1 e 500 kHz. Si teorizza che il campo longitudinale risultante

crei un ambiente dielettrico a fase coniugata, in cui fronti d'onda opposti annullano le interferenze distruttive e amplificano il contenuto informativo riparatore.

Indagini preliminari di microscopia, condotte prima di questo studio, non hanno rilevato alcuna riduzione significativa nelle strutture anomale in seguito a un'esposizione di 40 minuti al Campo Theraphi . Non è stata osservata alcuna soppressione della formazione di cristalli, della dissoluzione di vescicole o dell'alterazione di colloidi in condizioni di campo oscuro o di campo chiaro. Questi risultati suggeriscono che la durata dell'esposizione potrebbe essere stata insufficiente o che il meccanismo d'azione del sistema fosse incompatibile con l'architettura degli auto-assemblaggi osservati.

Per affrontare questa problematica, il presente studio ha esteso la durata dell'esposizione a due ore, un tempo significativamente superiore ai 20-40 minuti standard tipicamente utilizzati nelle applicazioni terapeutiche su soggetti umani. I campioni sono stati posizionati nel punto focale intermedio tra i due tubi al plasma e sono rimasti sotto l'influenza continua del campo per l'intera durata dell'esposizione.

Secondo i suoi sviluppatori, il Campo Theraphi promuove la ridistribuzione della carica molecolare, il riallineamento dei domini di coerenza e l'inversione del disordine strutturale. La sua rilevanza per questa indagine risiede nell'ipotesi che un campo di Coerenza di questo tipo possa interrompere o neutralizzare comportamenti anomali di auto-assemblaggio, specialmente nei casi in cui la struttura è mantenuta attraverso interazioni di campo sottili o allineamenti elettrostatici non casuali.

In seguito all'esposizione, tutti i campioni sono stati sottoposti a protocolli standardizzati di evaporazione della goccia sessile (SDE) e sono stati analizzati tramite microscopia in condizioni identiche. La modulazione con C<sub>60</sub> oil è stata applicata, ove pertinente. La valutazione comparativa della formazione di cristalli, del movimento dei colloidi e delle dinamiche delle vescicole ha permesso la valutazione diretta degli effetti di Theraphi rispetto sia ai controlli non trattati sia ad altri modelli di esposizione energetica.

### **Esposizione all'Orgonite: Composizione, Teoria e Applicazione**

L'orgonite è un materiale composito ritenuto dai suoi sostenitori in grado di trasformare influenze elettromagnetiche incoerenti o disruptive in campi strutturati e biologicamente di supporto. Popolarizzata nei primi anni 2000, l'orgonite trae ispirazione dal lavoro di Wilhelm Reich, che coniò il termine orgone per descrivere una ipotetica forza vitale universale. Basandosi sulle teorie dell'energia sottile della metà del XX secolo, l'orgonite riflette una tradizione di pensiero basata sul campo che opera al di fuori dei paradigmi elettromagnetici convenzionali. Sebbene non formalmente riconosciuta nell'ambito della fisica tradizionale, l'orgonite ha generato un notevole interesse aneddotico e sperimentale grazie ai suoi effetti segnalati sulla strutturazione dell'acqua, la vitalità delle piante e il benessere soggettivo. Queste osservazioni suggeriscono l'influenza di un campo di coerenza non ancora pienamente caratterizzato dalla strumentazione standard.

La formulazione standard dell'Orgonite prevede l'impiego di tre elementi principali:

- (1) una resina organica, tipicamente poliestere o epossidica, che funge da isolante elettrico.
- (2) trucioli metallici, spesso una miscela eterogenea di alluminio, rame e ottone, distribuiti

nella matrice per formare una rete di micro-giunzioni capacitive; e

(3) un cristallo di quarzo, solitamente quarzo ialino o rosa, incorporato all'interno della resina e compresso durante la polimerizzazione per generare una risposta piezoelettrica.

Alcune formulazioni includono anche minerali come tormalina nera, selenite o shungite, scelti per le loro presunte proprietà energetiche.

Sebbene i modelli teorici rimangano speculativi, sono stati proposti diversi meccanismi per spiegare i potenziali effetti dell'Orgonite, tra cui:

(a) polarizzazione piezoelettrica, in cui il quarzo compresso genera campi elettrici statici che influenzano le strutture molecolari circostanti.

(b) distribuzione di carica microcapacitiva, in cui le particelle metalliche disperse creano gradienti di campo localizzati che alterano le dinamiche di carica.

(c) generazione di campi di torsione o di spin, basata su modelli teorici russi che suggeriscono che i campi rotazionali possano trasmettere informazioni indipendentemente dalla radiazione elettromagnetica; e

(d) induzione di campi scalari o di coerenza, in cui la struttura frattale della matrice polimerizzata funge da antenna scalare passiva, modulando potenzialmente la coerenza del campo ambientale e interagendo con le strutture quantistiche del vuoto.

In questo studio, un campione sigillato di anestetico dentale è stato posizionato direttamente su un Disco di Orgonite di medie dimensioni ed esposto continuamente per 48 ore in condizioni ambientali. Non sono stati utilizzati refrigerazione, immersione né fonti di alimentazione esterne: è stata impiegata unicamente l'esposizione per prossimità. Questa durata è stata selezionata sulla base di precedenti prove empiriche e screening kinesiologici informali, entrambi i quali hanno indicato che cambiamenti misurabili nel comportamento strutturale possono verificarsi in seguito a 24–72 ore di esposizione al campo. È importante sottolineare che non si è verificato alcun contatto diretto con i componenti della matrice; è stata impiegata esclusivamente la prossimità come modalità di esposizione.

Trascorso il periodo di 48 ore, il campione è stato sottoposto agli stessi protocolli di microscopia e di evaporazione di goccia sessile (SDE) degli altri campioni dello studio. Questi includevano l'imaging dinamico della cristallizzazione, la formazione di vescicole, il moto colloidale e la successiva modulazione con una miscela di olio C<sub>60</sub>. Le caratteristiche strutturali sono state valutate per i cambiamenti nella coerenza, nella complessità e nel comportamento dinamico rispetto ai controlli non trattati e ad altri modelli di esposizione energetica. In contrasto con il Sistema Theraphi, l'esposizione all'Orgonite ha prodotto alterazioni distinte, tra cui l'inizio ritardato dell'aggregazione delle vescicole, la modificazione del moto colloidale e l'alterazione delle morfologie dei cristalli. Questi risultati supportano l'ipotesi che campi passivi inducenti coerenza possano influenzare l'auto-assemblaggio sintetico in substrati farmaceutici.

## Riassunto

Sebbene i meccanismi attribuiti a Theraphi e Orgonite rimangano al di fuori dei confini della fisica convenzionale e manchino di una convalida formale tramite revisione paritaria, lo stesso si potrebbe dire di molte strutture documentate in questo studio, come gli assemblaggi cristallo-fibra, gli ibridi vescicola-colloide e i cosiddetti complessi micro-meccano. Queste formazioni non hanno riscontri nella letteratura scientifica, eppure sono direttamente osservabili tramite microscopia.

Lo scopo di questo articolo non è difendere o confutare le modalità di trattamento energetico basate sull'accettabilità teorica, ma valutarne gli effetti empirici utilizzando la microscopia, la riproducibilità seriale e la chinesologia applicata come strumenti esplorativi. Nel contesto della modulazione indotta da campi osservata, in particolare nella disgregazione di architetture farmaceutiche autoassemblanti, diventa sia ragionevole che necessario investigare tecnologie che operano al di fuori dei quadri esplicativi consolidati.

In tal modo, lo studio inverte il flusso convenzionale dell'autorità epistemica: non inizia con ciò che è pubblicato, ma con ciò che viene osservato.

Sebbene la validazione tradizionale di questi sistemi rimanga limitata, diversi domini adiacenti, inclusi l'ottica a coniugazione di fase (Yariv, 1978), la Polarizzazione piezoelettrica (Fukada & Yasuda, 1957) e i domini di coerenza dell'acqua (Del Giudice et al., 1988, 1989, 2015; Pollack, 2013), offrono contesti teorici che possono contribuire a inquadrare i fenomeni osservati. Questi modelli, pur non essendo esaustivi, forniscono un supporto concettuale per l'indagine sulla disgregazione, basata sul campo, nei processi di auto-assemblaggio sintetico.

## Risultati: Auto-assemblaggio Strutturato e Cristallizzazione Modulata dal Campo Dinamiche

Per stabilire una chiara linea di base per il confronto, una serie di campioni di anestetico dentale è stata esaminata mediante microscopia in campo chiaro e campo oscuro, sia prima che dopo l'esposizione a un olio contenente C60. I controlli non trattati hanno mostrato una notevole progressione di auto-assemblaggio durante l'evaporazione di una goccia sessile (SDE), formando filamenti perimetrali, inclusioni simil-vescicolari e, infine, motivi cristallini con geometria rettilinea. Queste strutture, caratterizzate da regolarità architettonica e vincoli spaziali, sono emerse in modo consistente e hanno mantenuto la coerenza durante le fasi di essiccazione. La loro formazione suggerisce processi non casuali, possibilmente governati da campi energetici nascosti o da una programmazione latente. Questo comportamento nella fase iniziale ha stabilito un punto di riferimento visivo e concettuale per valutare i successivi effetti dei trattamenti basati sul campo. Le figure seguenti documentano questo sviluppo logico. Questo schema fondamentale, a cui si fa riferimento in tutto lo studio come *Firma Tetrafasica*, funge da riferimento rispetto al quale vengono misurati tutti i comportamenti alterati o potenziati dal

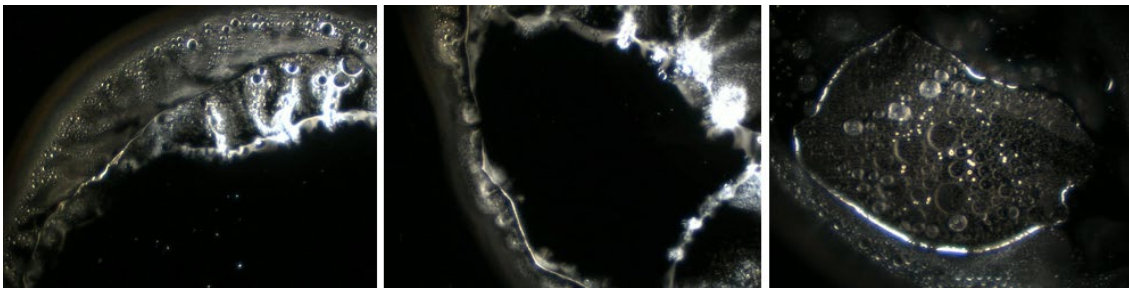


Figura 3. Inizio dell'auto-assemblaggio durante l'evaporazione nelle fasi iniziali dell'anestetico dentale non trattato. Filamenti radiali, attività ai bordi e inclusioni simil-vescicolari incorporate emergono attraverso distinte microzone. Ingrandimento 40x.

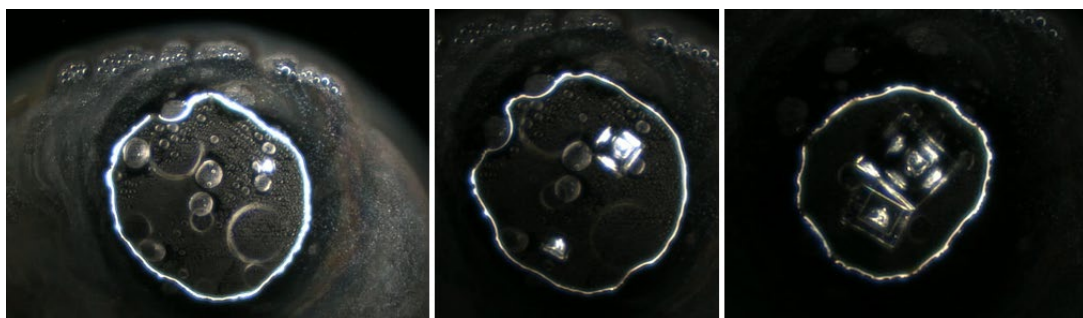


Figura 4. Progressione verso motivi cristallini rettilinei e domini circoscritti. Elementi vescicolari e geometrici coesistono, suggerendo un comportamento di fase ibrido. Ingrandimento 40x.

Le Figure 3 e 4 documentano un processo di trasformazione sequenziale in campioni di anestetico dentale non trattato durante l'evaporazione di una goccia sessile (SDE) al secondo ciclo, rivelando una complessa transizione da forme cristalline a toroidali e vescicolari, seguita dalla riemersione di motivi geometrici. Nella Figura 3, il cristallo iniziale accoppiato mostra integrità superficiale e ordine interno, che poi si dissolve rivelando aloni toroidali luminosi e residui vescicolari persistenti, suggerendo una strutturazione di campo o un'impronta energetica. La Figura 4 evidenzia fenomeni di estensione del bordo ed evoluzione strutturale: zone ad alta densità di vescicole con confini netti danno origine a motivi cristallini, comprese forme quadrate e rettangolari, che nucleano preferenzialmente in prossimità di discontinuità. Questi evolvono verso assemblaggi cristallini completi e compartimentati, con vuoti interni e geometria angolare. Tali caratteristiche, distinte nei campioni non trattati, indicano un processo di auto-assemblaggio non classico, probabilmente programmato.

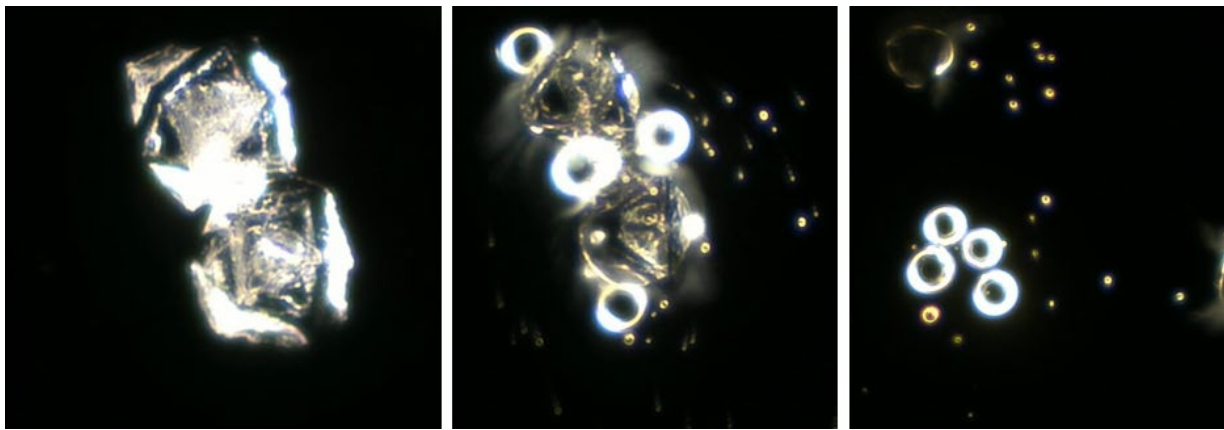


Figura 5. Trasformazione sequenziale in anestetico dentale non trattato durante il secondo ciclo SDE. Il cristallo accoppiato iniziale (a sinistra) si dissolve in toroidi luminosi (al centro), seguiti da residui ibridi persistenti vescicola-toroide (a destra), suggerendo una strutturazione del campo mantenuta. Ingrandimento: 200x.

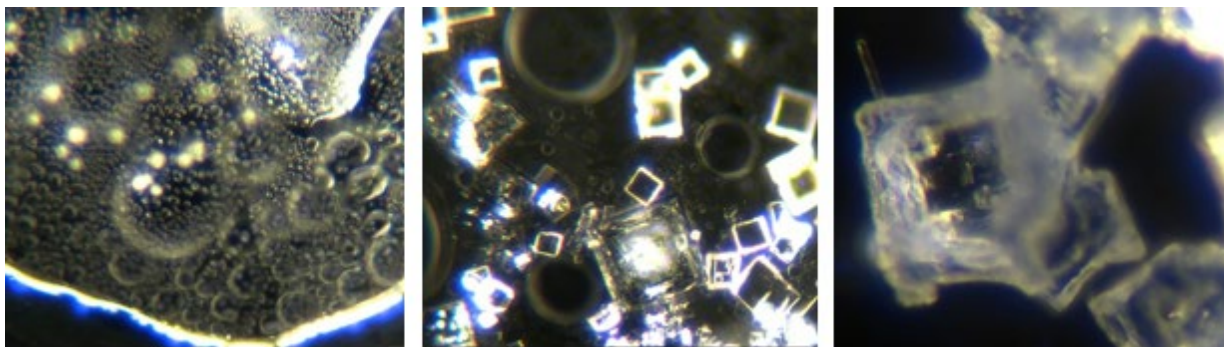


Figura 6. Emergenza strutturale in anestetico dentale non trattato. Una zona densa di vescicole (a sinistra) dà origine a motivi cristallini rettangolari (al centro), culminando in un cristallo con estensione del bordo completamente sviluppata, con vuoti interni e simmetria angolare (a destra). Ingrandimenti: 100x, 100x, 200x.

L'imaging sequenziale di campioni di anestetico dentale non trattato rivela una coreografia stratificata di evoluzione strutturale, iniziando con domini densi di vescicole e culminando in motivi cristallini altamente ordinati. Queste transizioni si verificano lungo distinti confini morfologici, in particolare nelle zone marginali dove i gradienti organizzativi sembrano concentrarsi. L'emersione di forme rettilinee come quadrati, rettangoli e vuoti interni suggerisce un meccanismo di crescita non stocastico, possibilmente influenzato dall'allineamento del campo o da una programmazione modellata. A differenza della cristallizzazione classica, che segue una saturazione uniforme e la propagazione del reticolo, queste strutture derivano da zone compartimentate e specifiche per fase. L'architettura osservata, inclusi i bordi laminati, i vuoti incorporati e i centri vescicolari, implica un processo di auto-assemblaggio guidato e multifasico. Tale comportamento è in linea con transizioni cristalline precedentemente documentate in eccipienti farmaceutici, dove l'ordine emerge da precursori fluidici o vescicolari in risposta a condizioni energetiche localizzate. La riproducibilità e la complessità di questi motivi, in particolare nei campioni non trattati, rafforzano l'ipotesi che la programmazione strutturale sia una proprietà inerente, forse intrinseca, della formulazione

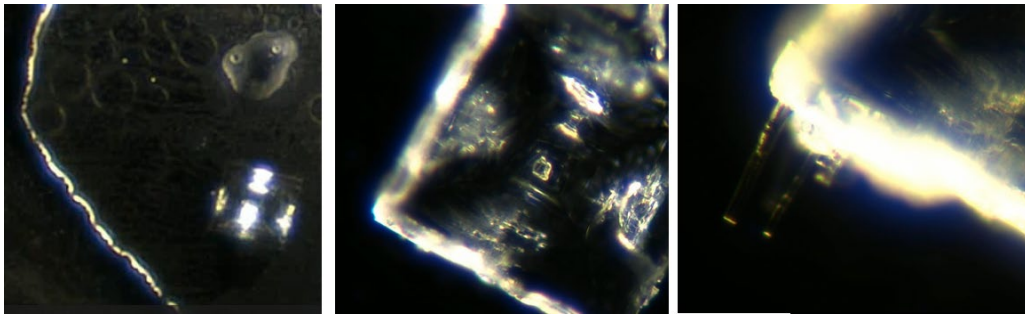


Figura 7. Emergenza sequenziale in anestetico dentale non trattato. Motivi cristallini si formano ai bordi ricchi di vescicole, progredendo dalle prime estensioni del bordo (a sinistra) ai motivi angolari (al centro) e all'architettura completa del cristallo (a destra). Ingrandimenti 40x, 100x, 200x.

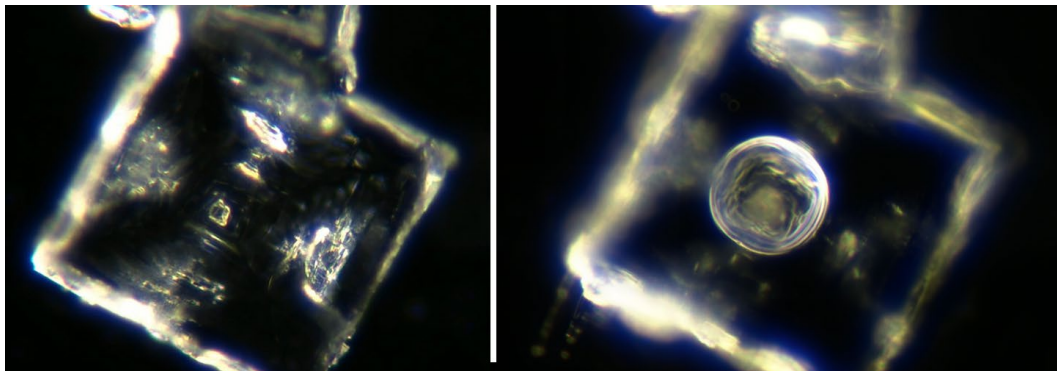


Figura 8. Cristallo angolare proveniente da anestetico dentale non trattato. La sottostruttura stratificata (a sinistra) e l'inclusione vescicolare centrale (a destra) suggeriscono una crescita modellata e compartimentale. Ingrandimento 200x.

Il ritardo nella cristallizzazione osservato in diversi campioni sembra svolgere un ruolo cruciale nel consentire l'organizzazione interna e la complessità strutturale. A differenza della precipitazione rapida, che tende a produrre formazioni disordinate o planari, la cristallizzazione ritardata consente l'emergere di geometrie nidificate, simmetria assiale e inclusioni localizzate. Queste caratteristiche, in particolare nei cristalli rettangolari mostrati di seguito, suggeriscono un processo di auto-organizzazione non puramente guidato dall'assestamento termodinamico, ma potenzialmente mediato da gradienti di campo interni o impronte energetiche residue. Osservazioni ripetute rivelano motivi stabili, come toroidi centrali, rettangoli incorporati e strutture di luce concentriche, che persistono ed evolvono nel tempo, indicando un'architettura dinamica piuttosto che

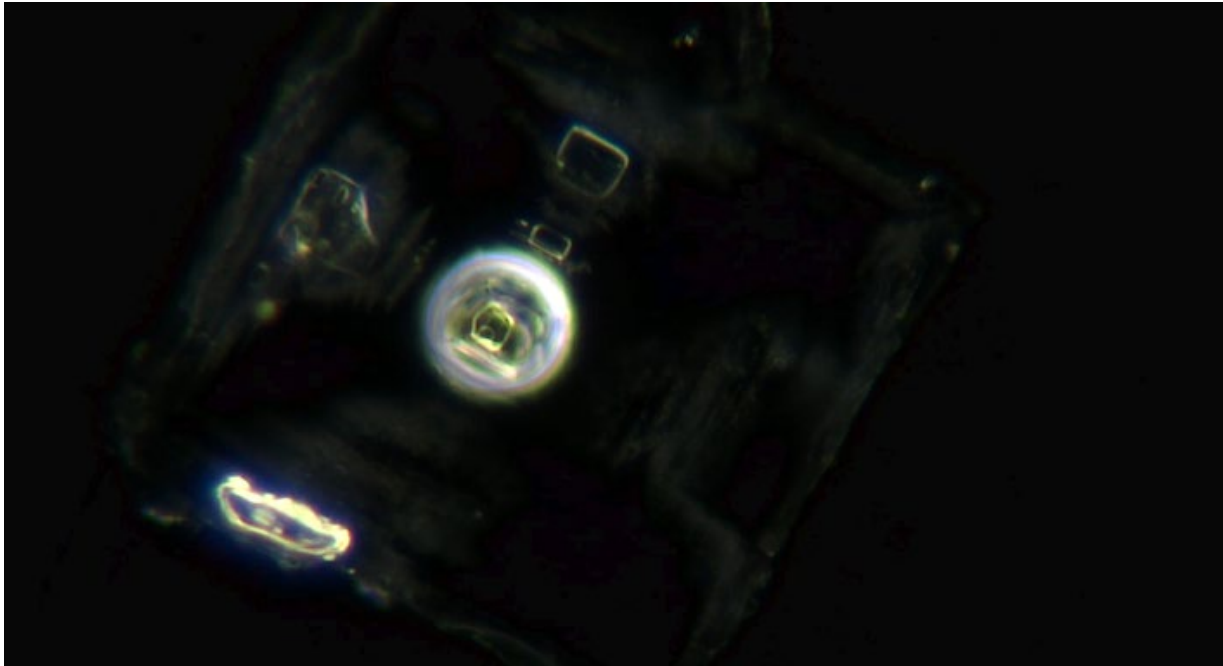


Figura 9. Un cristallo rettangolare, fotografato al basale (Figura 6) e 24 ore dopo (Figura 7), mostra un'intensificazione della strutturazione centrale e una ben definita inclusione concentrica. I motivi quadrati e circolari rimangono otticamente attivi, a indicare una persistente organizzazione interna e reattività.

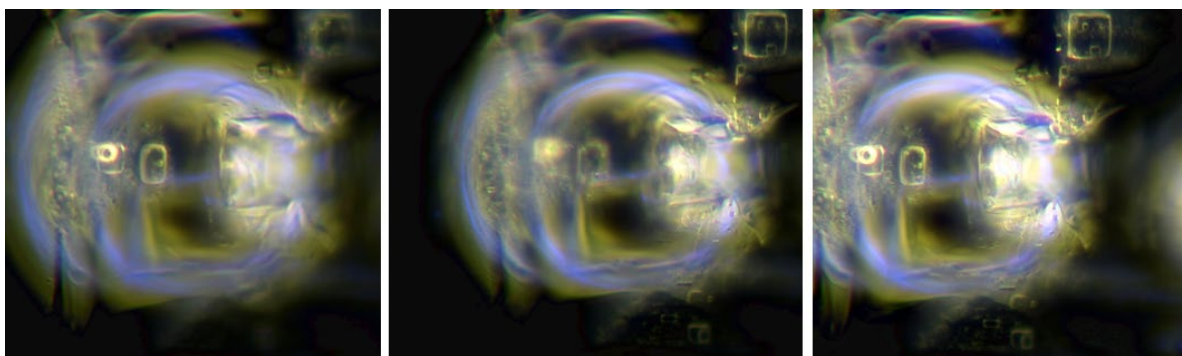


Figura 10. Il sequenziamento del piano focale rivela una struttura luminosa toroidale, inclusioni rettangolari e zone interne compartimentate all'interno di un cristallo di anestetico dentale non trattato. Il composito EDF conferma un'architettura interna organizzata. Ingrandimento: 200x.

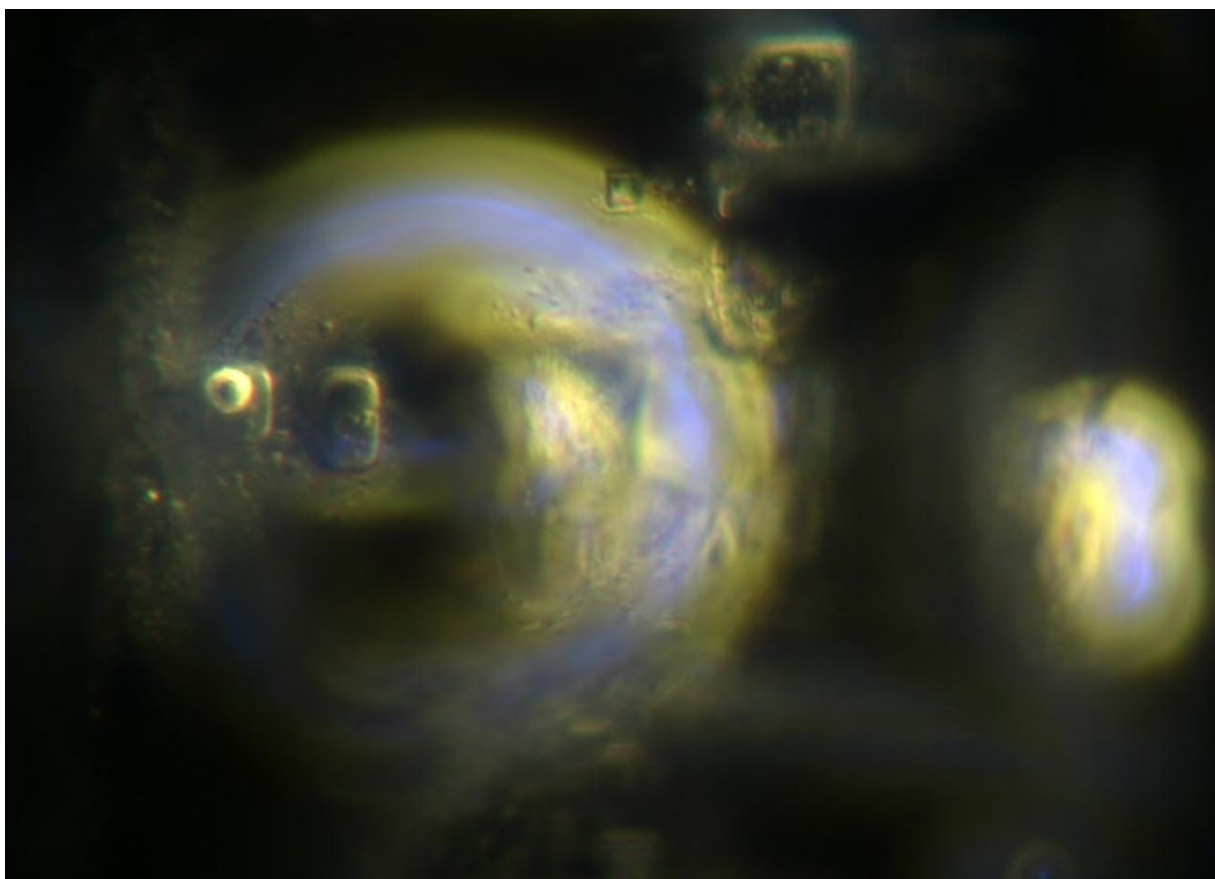


Figura 11. Dettaglio di una struttura toroidale due ore dopo l'imaging iniziale. La simmetria e i dettagli interni sono diventati più definiti nel tempo, con inclusioni rettangolari accentuate e archi coerenti. Ingrandimento 200x.

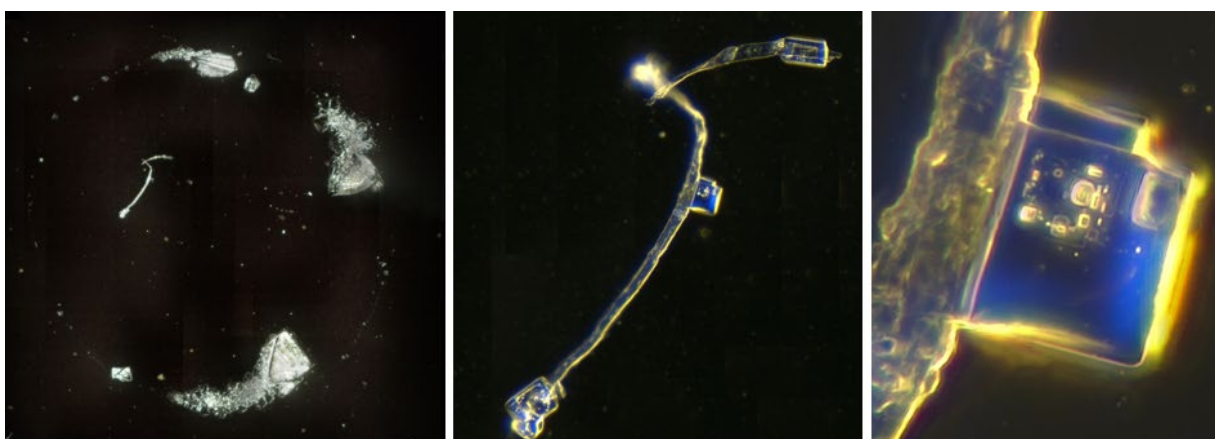


Figura 12. Pannello composito che illustra lo sviluppo di cristalli a seguito di un secondo ciclo di evaporazione di goccia sessile (SDE).

Sinistra: Una vista a campo oscuro a basso ingrandimento rivela una distribuzione circolare parziale di materiale cristallino con geometria angolare e una fibra quasi centrale. Centro: Una singola fibra con tre cristalli ad essa collegati. Destra: Dettaglio dell'assemblaggio centrale cristallo-fibra (CFA). Ingrandimenti: sinistra (circa 25x), centro (200x), destra (400x).

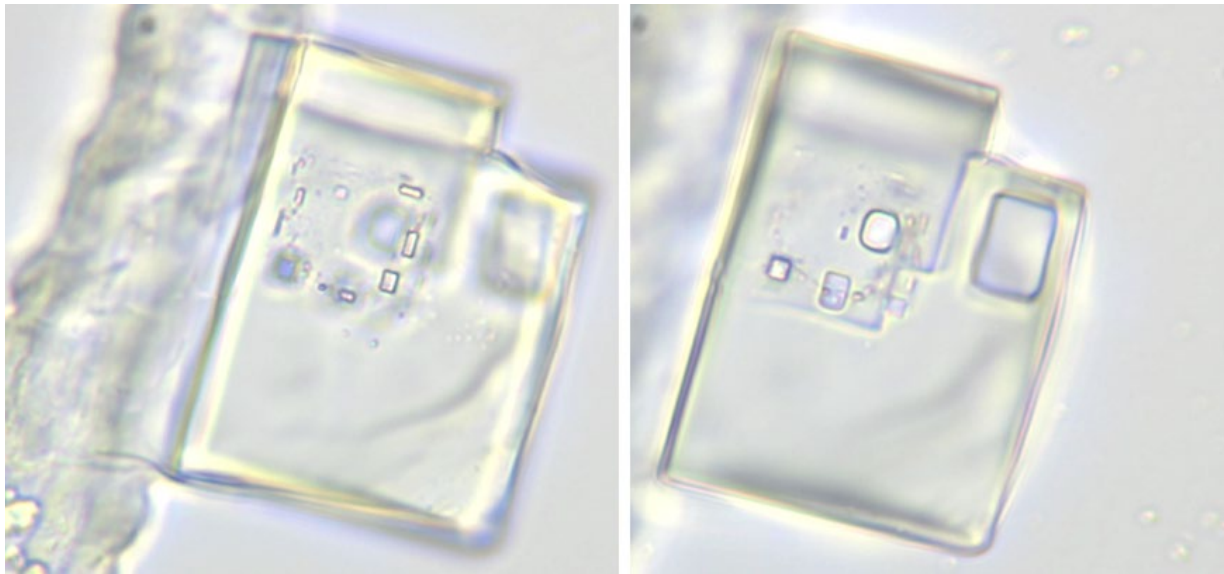


Figura 13. Immagini appaiate in campo chiaro di un cristallo rettangolare proveniente da anestetico dentale non trattato, che illustrano incisioni geometriche interne e una probabile organizzazione modellata. Ingrandimento in campo chiaro: 400x.

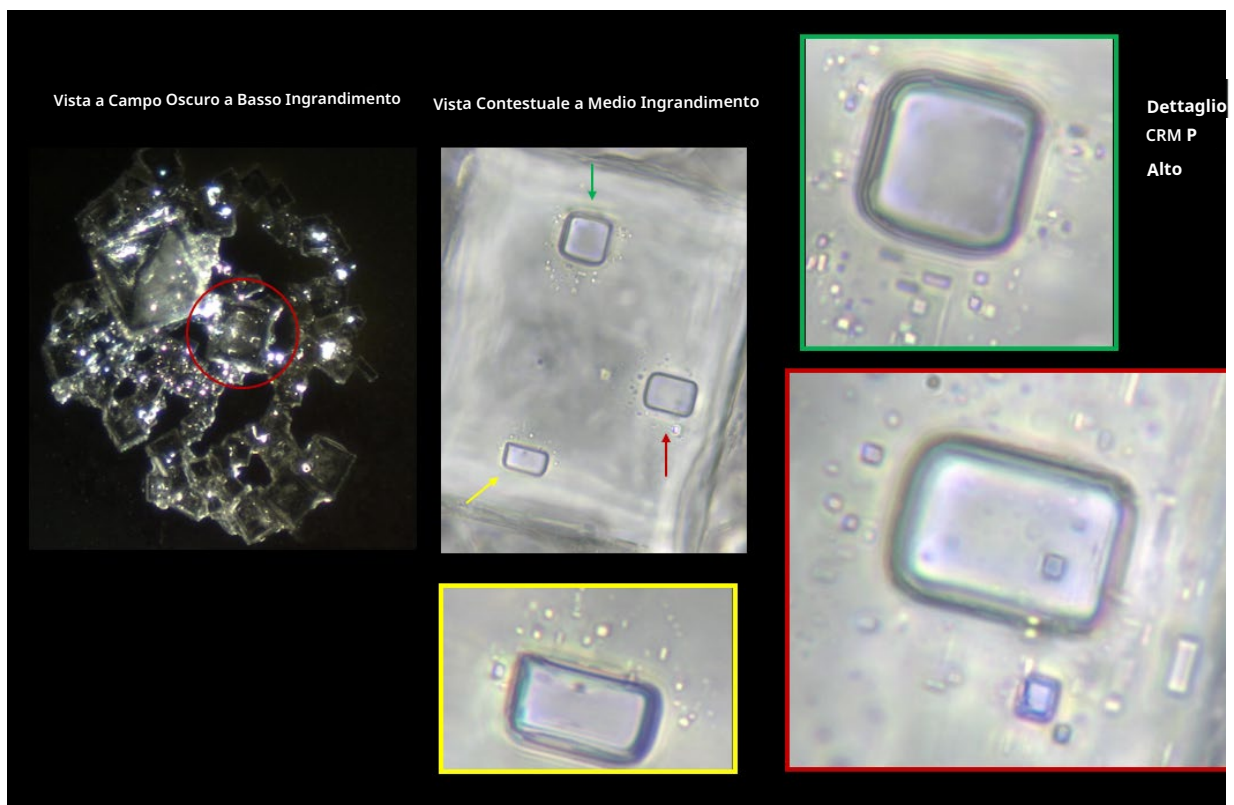


Figura 14. Visualizzazione multiscala di motivi cerchio-rettangolo (CRM) in un campione di anestetico dentale non trattato. Sinistra: vista a basso ingrandimento in campo oscuro. Il cerchio rosso indica la regione analizzata. Centro: la vista contestuale in campo chiaro identifica tre regioni contenenti CRM (freccie verde, rossa e gialla). Destra, dall'alto verso il basso: riquadro verde: CRM con bordo netto e inclusioni minime. Riquadro rosso: l'immagine EDF ad alta potenza rivela motivi anidati, microincisioni e stratificazione concentrica. Ingrandimenti: sinistra (circa 100x), centro (400x), destra (1000x).

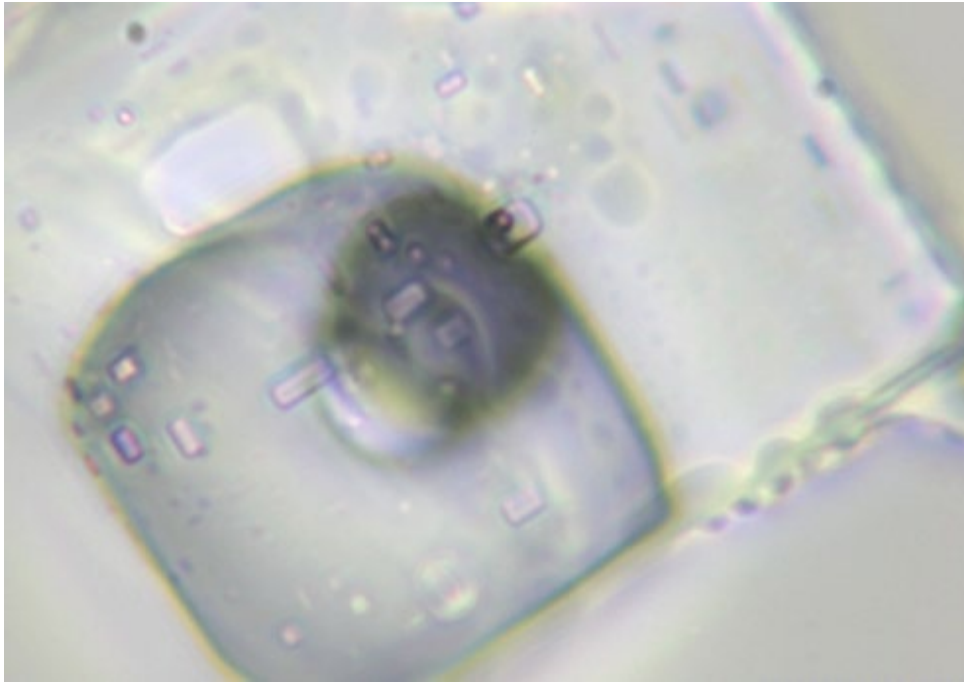


Figura 15. Vista ravvicinata della struttura interna del CRM evidenziata nella Figura 14. L' **elemento interno** di forma circolare appare sospeso all'interno di un involucro cristallino, circondato da unità cuboidali più piccole. La chiarezza di questa immagine illustra la complessa struttura interna, che suggerisce un design modulare o una compartimentazione. Ingrandimento 1000x.

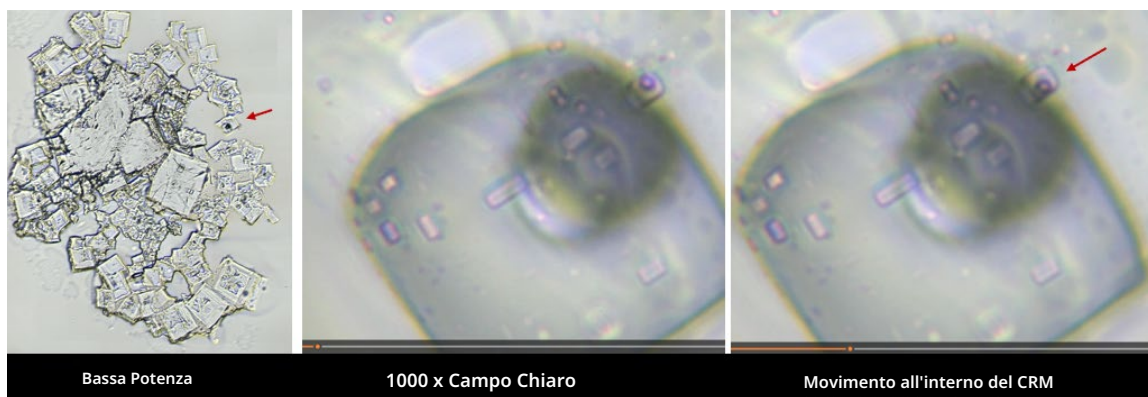


Figura 16. Movimento interno in tempo reale all'interno di un motivo cerchio-rettangolo (CRM) osservato in anestetico dentale non trattato. Sinistra: la vista a basso ingrandimento mostra un'estesa cristallizzazione dei CRM con una freccia rossa che indica il motivo in evidenza. Centro: a un ingrandimento di 1000x in campo chiaro, la struttura interna di forma circolare è visibile all'interno del CRM. Destra: un fotogramma scattato pochi secondi dopo mostra un chiaro spostamento dell'elemento interno (freccia rossa), indicando un movimento localizzato all'interno di un involucro stabile. Questo comportamento supporta l'ipotesi che i CRM possano possedere sottostrutture dinamiche e reattive ai segnali, piuttosto che forme cristalline statiche. Ingrandimenti: pannello di sinistra—basso ingrandimento (~100x), pannelli centrale e di destra—1000x.

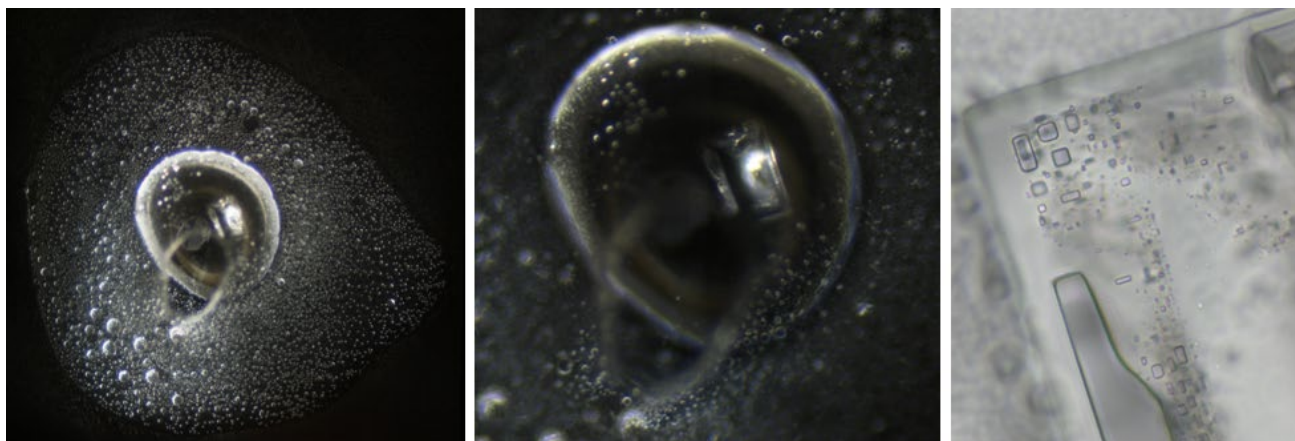


Figura 17. Un cristallo complesso formatosi all'interno di una goccia di olio contenente C60, ripreso tramite microscopia in campo oscuro e campo chiaro. Sinistra e centro: le immagini in campo oscuro rivelano una sorprendente struttura toroidale angolare con curvatura concentrica, circondata da vescicole simili a gas o formazioni di nanobolle. Destra: l'imaging in campo chiaro evidenzia motivi rettangolari incorporati e geometrie compartimentate all'interno della matrice interna del Cristallo, suggerendo un design sintetico o portatore di informazioni. Ingrandimento: 1000x.

## Theraphi

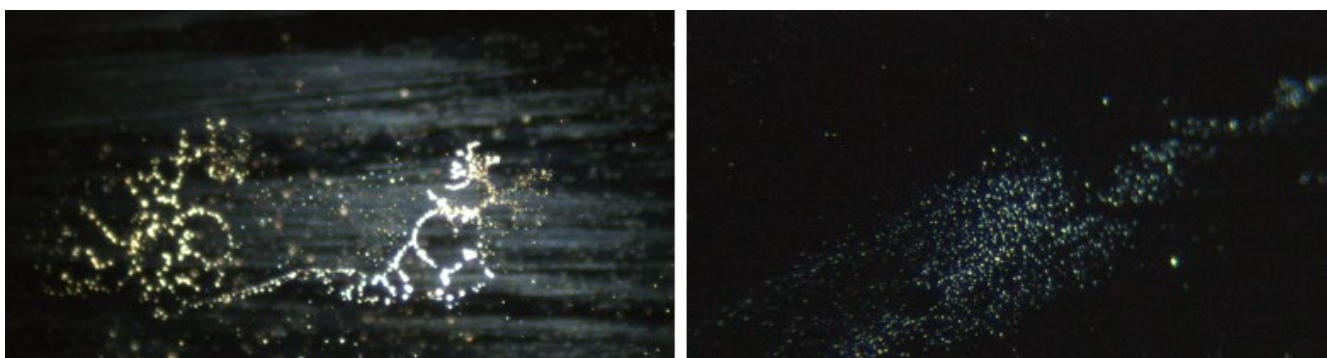


Figura 18. Immagini di microscopia in campo oscuro che mostrano l'attività colloidale nella fase iniziale del processo di evaporazione della goccia sessile in un campione di Anestetico dentale esposto al Campo Theraphi. Sinistra: precoce raggruppamento di punti colloidali lungo percorsi filamentosi, che suggerisce un movimento o un'organizzazione guidati dal campo. Destra: una banda densa e dispersa di particelle colloidali brillanti che appare immediatamente dopo il posizionamento della goccia. Tale visibilità colloidale precoce e abbondante non è stata osservata nei campioni di controllo non trattati, supportando l'ipotesi che l'esposizione al Campo Theraphi inizi o acceleri l'auto-assemblaggio a nanoscala.



Figura 19. Un sorprendente arco colloidale semicircolare osservato nel campione esposto a Theraphi, con illuminazione a campo oscuro. La struttura mostra una densa banda centrale di materiale riflettente, orlata da un alone continuo di colori di interferenza prismatica, suggerendo una stratificazione organizzata o effetti ottici indotti dalla Coerenza. Questo tipo di curvatura ordinata e dispersione spettrale non è stato osservato in campioni non trattati, sollevando la possibilità che il Campo Theraphi abbia indotto l'Allineamento di fase o la strutturazione dello strato limite a nanoscala.

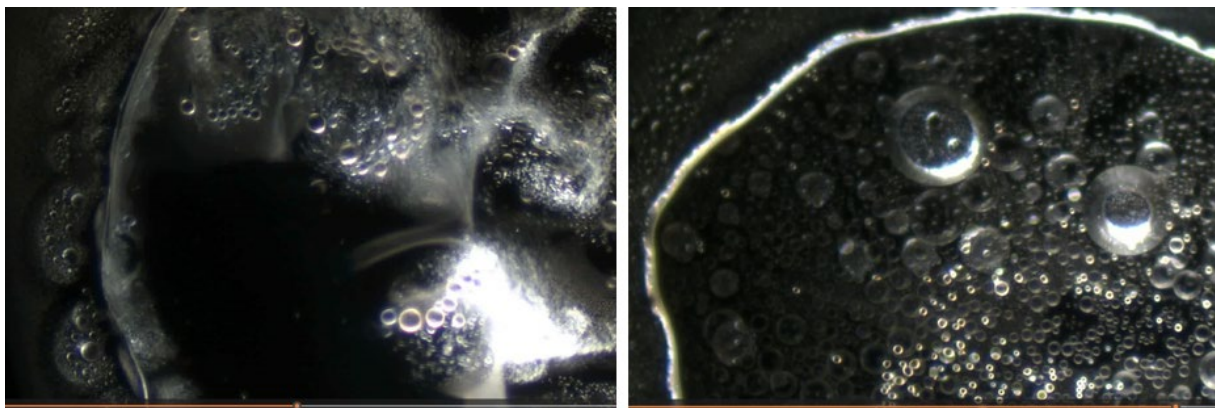


Figura 20. Fotogrammi da video di microscopia che catturano il comportamento dinamico di una goccia di anestetico dentale esposta al Campo Theraphi durante l'evaporazione sessile. Sinistra: movimento del fluido in fase iniziale con piegature simili a onde, effetti di tensione della membrana e schemi di flusso vescicolare. Destra: Organizzazione strutturale in fase intermedia caratterizzata da una distinta formazione di vescicole e da un denso raggruppamento di colloidi. Ingrandimento 100x.



Figura 21. Vista completa di una goccia essiccata di anestetico dentale trattato con Theraphi, che mostra un modello di deposizione periferica caratteristico dell'"effetto anello di caffè". La morfologia finale essiccata assomiglia molto a quella dei campioni di controllo non trattati. Presenta un denso accumulo sul bordo, bande periferiche e compartimentazione interna.

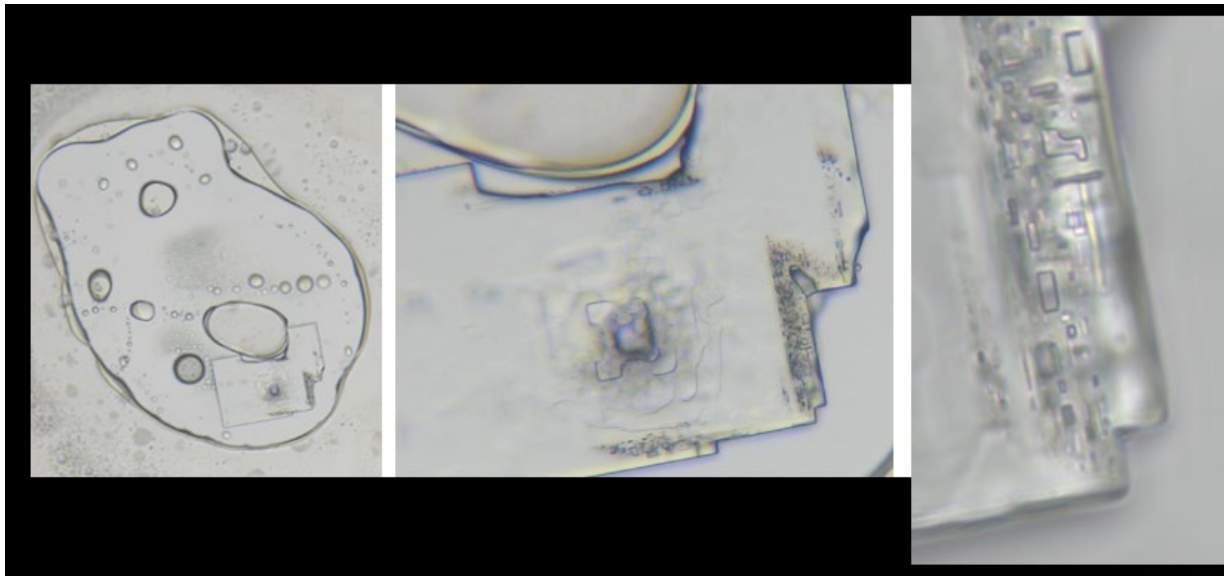


Figura 22 . Progressione dello sviluppo cristallino nel campione trattato con Theraphi. Sinistra: Dominio cristallino iniziale che si forma all'interno di un confine simile a una vescicola, con inclusioni interne e una precoce definizione del bordo. Centro: L'ingrandimento intermedio rivela una zonizzazione interna a gradini e una caratteristica centrale annidata. Destra: Vista del bordo ad alta risoluzione che mostra microstrutture rettangolari incorporate con spaziatura precisa, suggerendo un design modellato o contenente informazioni

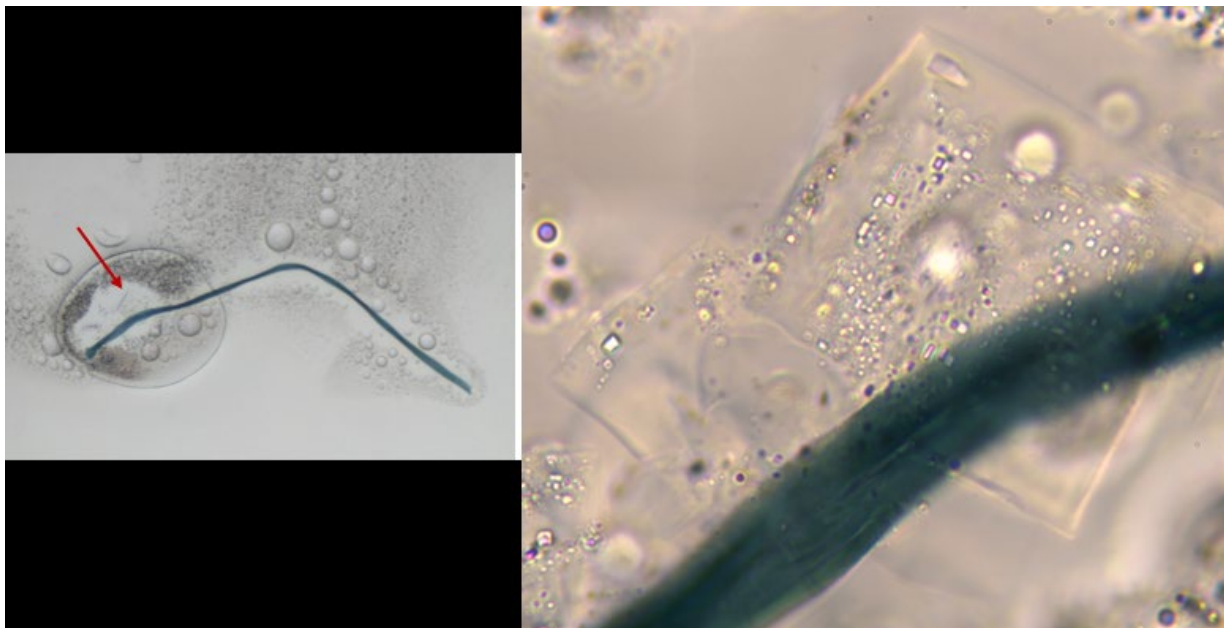


Figura 23. Panoramica contestuale e dettaglio ingrandito di un assemblaggio cristallo-fibra formatosi all'interno di una vescicola in seguito all'esposizione a Theraphi. Sinistra: immagine in campo chiaro a 200x che mostra la vescicola completa contenente il CFA, con una freccia rossa che indica la regione di interesse. Destra: vista ad alto ingrandimento (circa 500x con miglioramento digitale) dello stesso sito, che rivela un cristallo rettangolare diviso a metà da un elemento fibroso.

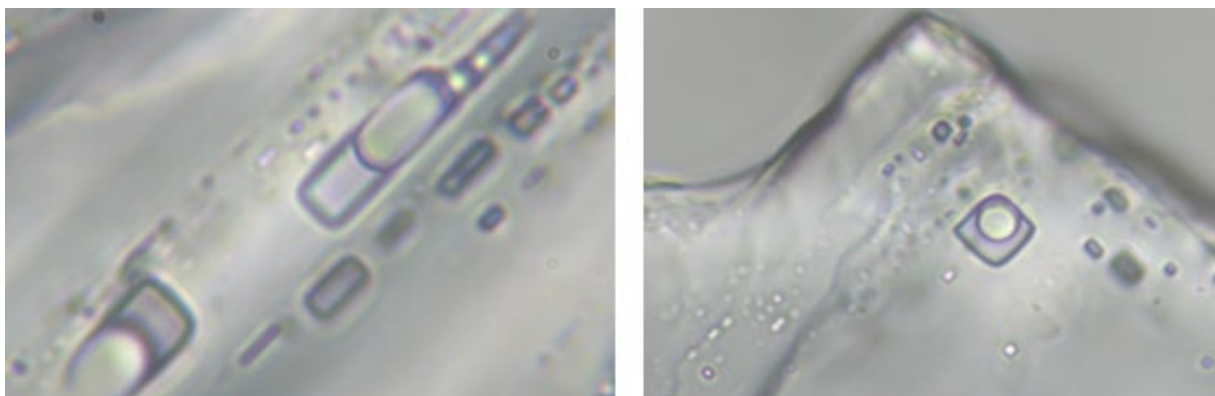


Figura 24. Immagini ad alta risoluzione in campo chiaro che mostrano complesse regioni cristalline caratterizzate da CRM (motivi Cerchio-Rettangolo) incorporati. Sinistra: Allineamenti lineari di strutture rettangolari e simili a vescicole, integrate all'interno della matrice cristallina, che mostrano regolarità spaziale e coerenza dimensionale. Destra: CRM posizionato all'apice di una faccia del cristallo, con zonizzazione stratificata e inclusioni periferiche.

Non ci sono evidenze che il Trattamento Theraphi dell'anestetico dentale riduca l'espressione del comportamento strutturale inerente alla formulazione. Al contrario, i campioni trattati con Theraphi hanno mostrato un'abbondanza iniziale maggiore di colloidali visibili rispetto a quanto si osserva tipicamente nei controlli non trattati. Nessun componente della formazione di vescicole, della crescita dei cristalli o della modellazione colloidale ha mostrato soppressione. Infatti, l'auto-assemblaggio dinamico e la complessità delle strutture risultanti erano almeno pari, se non superiori, a quelle osservate nei campioni non trattati.

### Orgonite

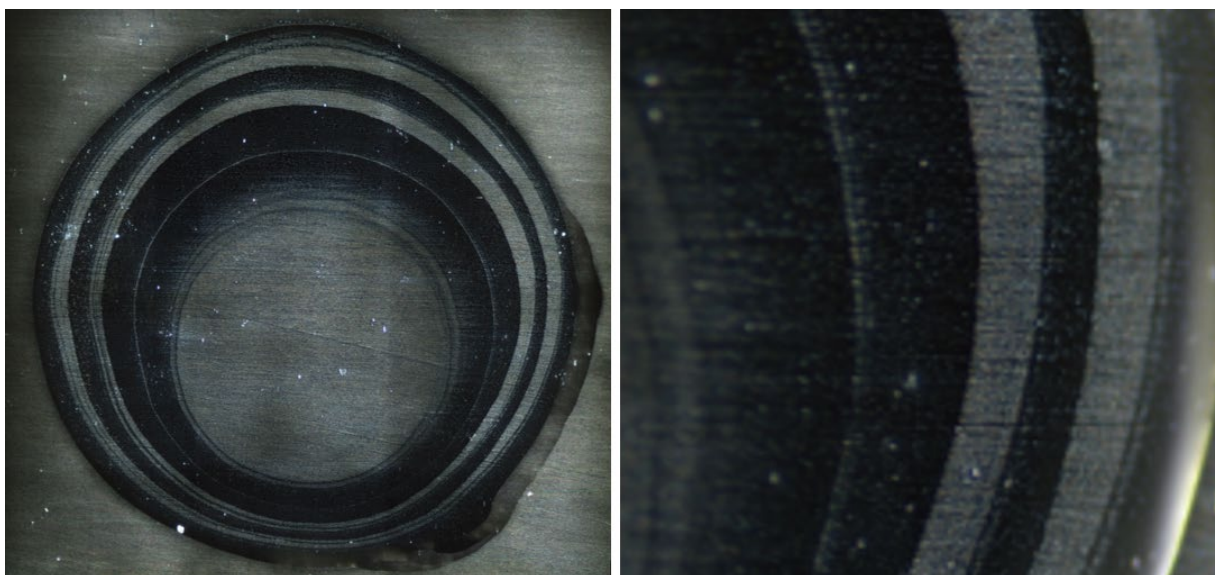


Figura 25. Auto-assemblaggio interrotto e stratificazione risonante nella prima goccia di anestetico dentale dopo 48 ore di esposizione a un Disco di Orgonite. Sinistra: L'intera goccia sessile mostra bande concentriche nettamente definite, senza alcuna crescita cristallina o fibrosa interna. Destra: Ingrandimento della regione stratificata. Ingrandimento: circa 40x (sinistra) e 100x (destra).

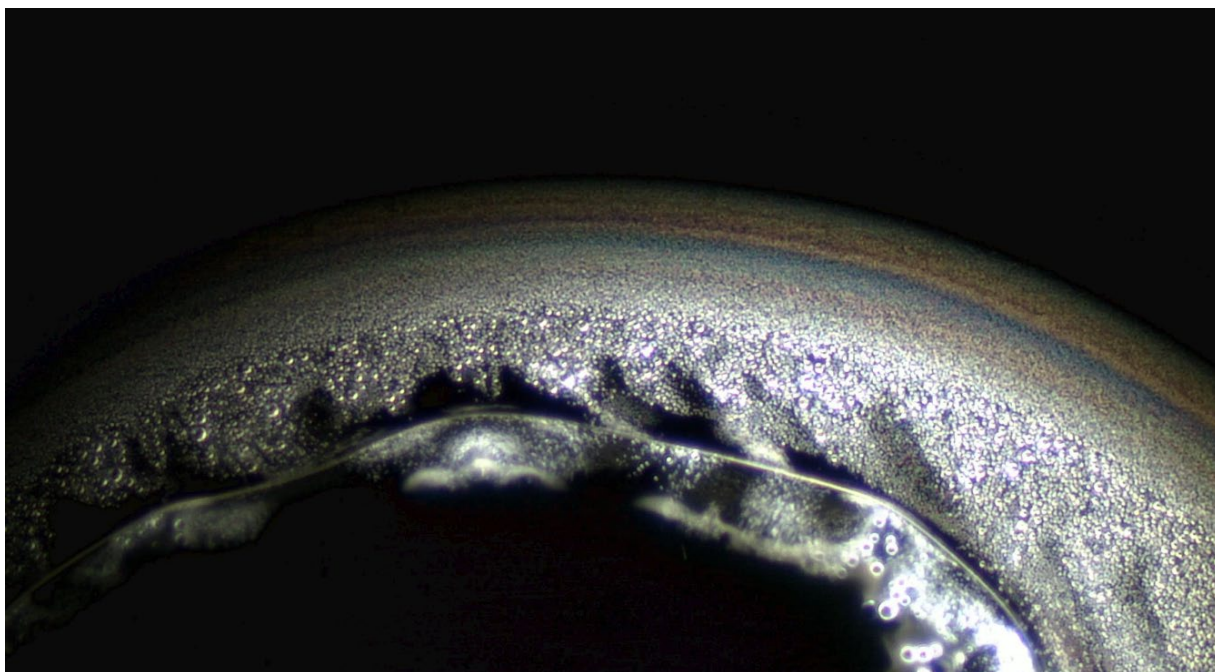


Figura 26. Stratificazione spettrale periferica e zone di densità colloidale in un campione di anestetico dentale trattato con Orgonite. Questo ingrandimento del bordo della goccia in essiccazione rivela un vivido schema di bande prismatiche unito a microdomini colloidali densamente compattati. La soppressione della nucleazione e l'emergere di strati di interferenza simili all'arcobaleno suggeriscono uno spostamento nelle dinamiche della tensione superficiale e nel comportamento di essiccazione, coerente con la modulazione della coerenza. Ingrandimento approssimativo 200x.

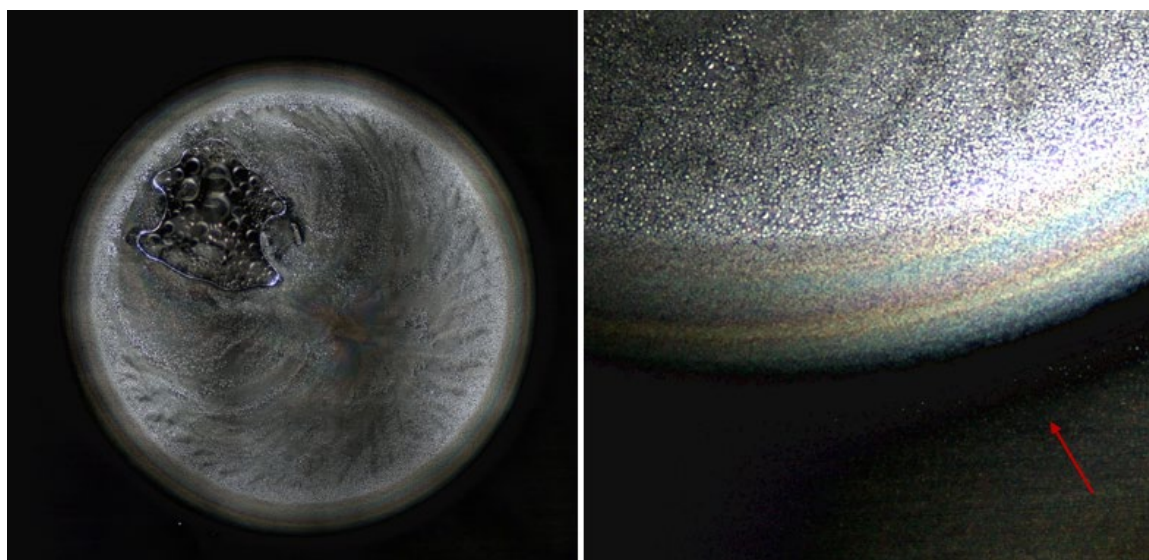


Figura 27. Panoramica a pieno campo e dettaglio periferico migliorato di una goccia di anestetico dentale trattato con Orgonite. Sinistra: la goccia sessile mostra pattern di essiccazione radiale senza alcuna geometria cristallina, in linea con altri campioni trattati. Un cluster di bolle, qui indicato come "Dominio Residuo di Coerenza" (CRD), rimane parzialmente sospeso nel quadrante superiore, mentre il campo circostante è dominato da colloidali uniformemente dispersi. Destra: L'immagine migliorata (contrasto e ombra regolati) rivela bande vivide ed evidenzia una distinta zona di esclusione (freccia rossa). Ingrandimento: 200x (sinistra), 400x (destra)

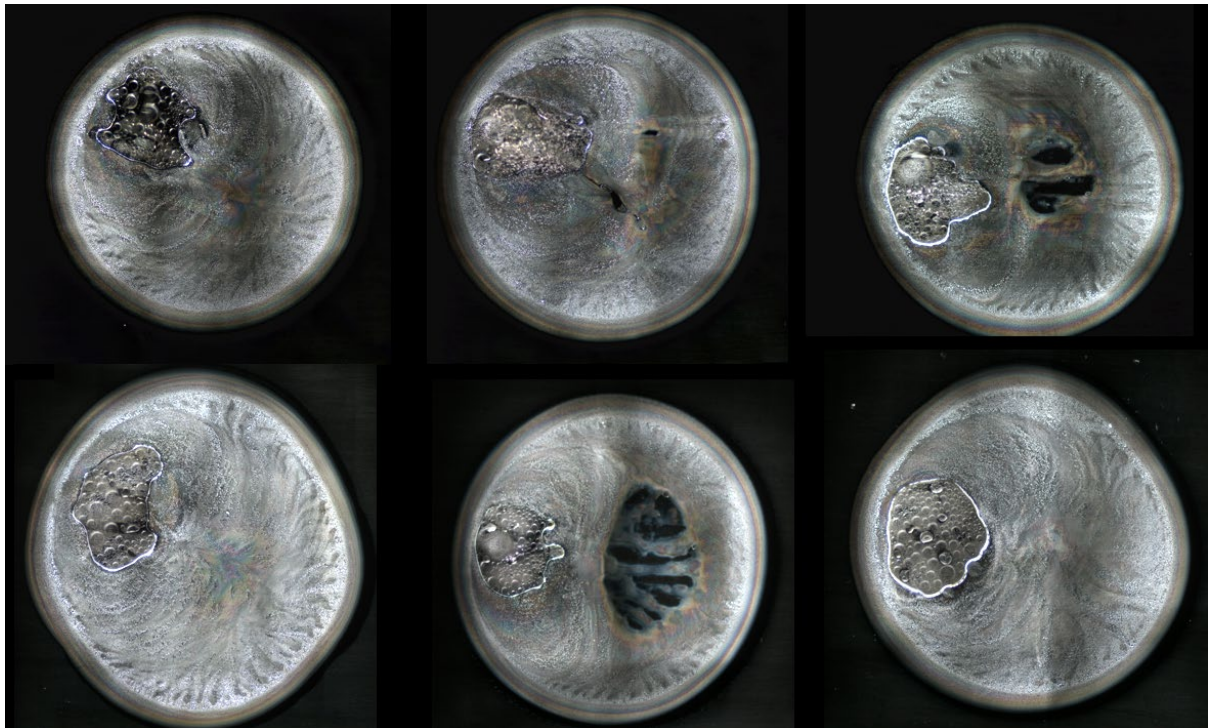


Figura 28. Coerenza sessionale nell'anestetico dentale trattato con Orgonite: assenza di geometria cristallina ed emergenza di disorganizzazione di cluster di vescicole – "Domini Residui di Coerenza" (CRD). Ogni immagine rappresenta una singola goccia sessile proveniente dallo stesso set di trattamento, tutte esposte a un Disco di Orgonite passivo per 48 ore prima della deposizione. Nonostante lievi variazioni nel profilo del bordo e nel raggruppamento centrale, tutti i campioni mostrano un modello di essiccazione radiale altamente coerente, senza formazione di cristalli. Le zone centrali, invece, contengono residui irregolari di aggregati di vescicole, spesso parzialmente collassati o biforcati, privi di motivi geometrici coerenti. I vuoti interni neri (centro destra, centro in basso) sembrano riflettere un'integrazione incompleta o una perturbazione attiva durante l'essiccazione, mentre la persistente assenza di auto-assemblaggio organizzato in tutti i campioni supporta fortemente l'ipotesi di un'interferenza di Coerenza. Ingrandimento 100x.

In tutte le gocce trattate, il "Dominio Residuo di Coerenza" (CRD) si è formato costantemente sullo stesso lato della goccia, suggerendo una polarizzazione direzionale nella migrazione del soluto durante l'evaporazione. In particolare, la goccia di controllo, preparata sulla stessa superficie e ripresa in condizioni identiche, ha mostrato la formazione del CRD sul lato opposto. Questa inversione di polarità implica che l'effetto non sia dovuto all'inclinazione del substrato o a un'asimmetria dell'illuminazione. Potrebbe invece riflettere un gradiente spaziale indotto dal campo, impartito dalla presenza del Disco di Orgonite. La coerenza di questo schema riscontrata in gocce multiple suggerisce una memoria di campo residua o un comportamento di blocco dell'orientamento, anche in assenza di formazione di strutture cristalline. Gli schemi di dispersione colloidale differivano notevolmente a seconda delle condizioni. Nei campioni trattati con Orgonite, i colloidali sono rimasti disaccoppiati e dispersi nel substrato. Al contrario, sia i campioni trattati con Theraphi sia i campioni di controllo hanno mostrato un forte accoppiamento vescicola-colloide con minima dispersione periferica, indicando un'integrazione spontanea o supportata dalla Coerenza.

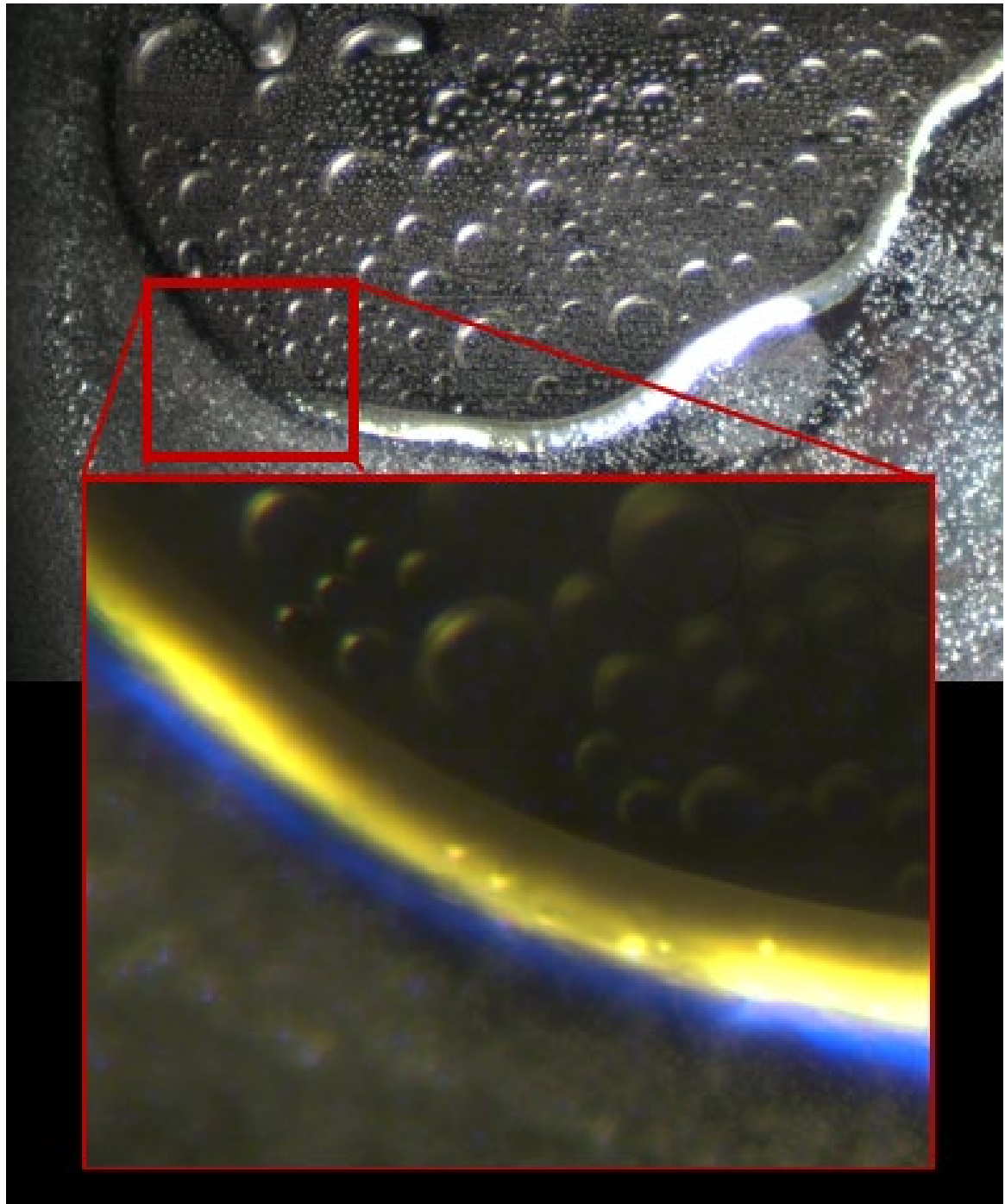


Figura 29. Disaccoppiamento vescicola-colloide con inserto ad alto ingrandimento che mostra una membrana fotonica. L'immagine principale rivela la separazione spaziale tra le vescicole (campo superiore) e i colloidii (campo inferiore). L'inserto mostra un distinto confine giallo-blu, coerente con un'interfaccia di rifrazione. Questa membrana sembra racchiudere la zona vescicolare, suggerendo una condizione limite coerente potenzialmente legata a effetti di campo elettromagnetico residuo o a segregazione di fase strutturata. Ingrandimento: 400x (immagine principale), ~1000x (inserto).

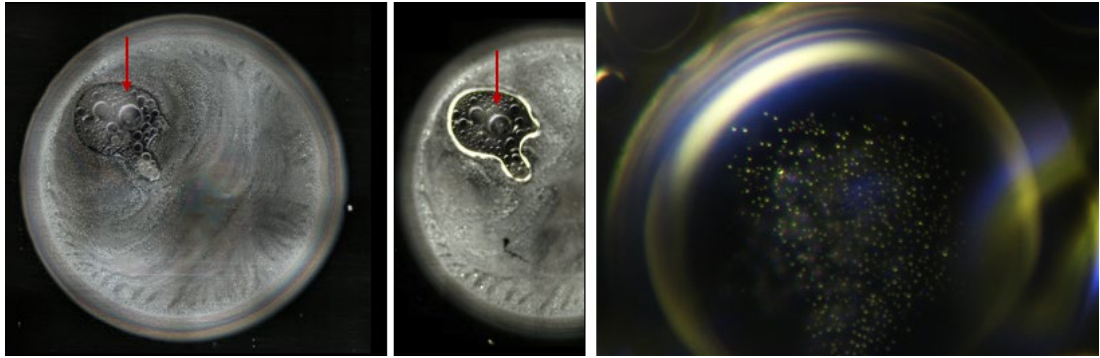


Figura 30. Stabilità del Dominio Residuo di Coerenza (CRD) e disaccoppiamento vescicola-colloide. Sinistra e centro: due immagini della stessa goccia, a distanza di circa 12 ore, mostrano un posizionamento persistente del CRD (freccia rossa) e una variazione morfologica minima, suggerendo una zona stabile di Coerenza interna senza formazione di cristalli. Destra: una vista ad alto Ingrandimento di una vescicola all'interno del CRD rivela un denso cluster colloidale centrale, coerente con il disaccoppiamento vescicola-colloide. L'assenza di cristalli e la posizione duratura del CRD supportano l'ipotesi di una Coerenza mediata dal campo. Ingrandimento: 40x (sinistra, centro); 1000x (destra).

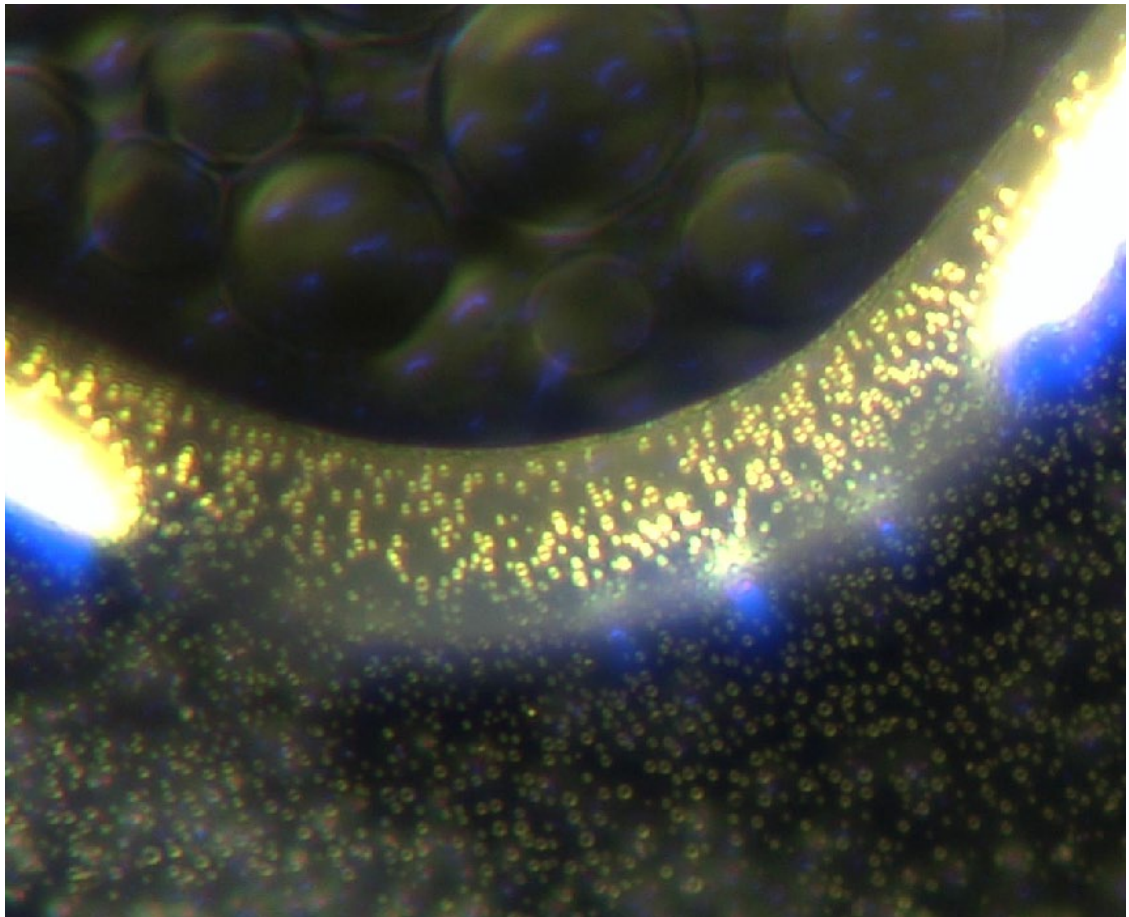


Figura 31. Coerenza di membrana ad alta densità con allineamento di punti su scala vescicolare. Un esempio notevole di integrità della membrana e ordinamento delle particelle. Punti su scala vescicolare (probabilmente colloidali o fotonici) si allineano densamente lungo un confine liscio. La luminescenza a due colori (giallo-oro e blu) suggerisce interfacce di fase strutturate o Modulazione Energetica. Le vescicole interne rimangono sospese ma statiche, coerentemente con uno stato gelatinoso a bassa mobilità.

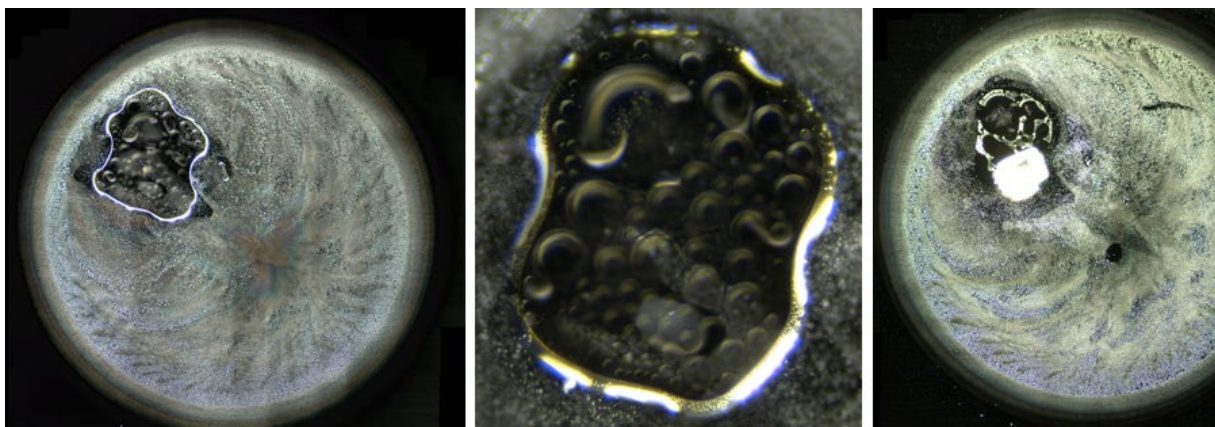


Figura 32. Emergenza ritardata del cristallo a seguito di una prolungata stabilità delle vescicole. Una goccia coerente e ricca di vescicole mostra una latenza prolungata prima della cristallizzazione. Sinistra: la fase iniziale mostra confini di membrana intatti e vescicole organizzate, senza formazione di cristalli. Centro: la vista ingrandita rivela vescicole densamente impaccate e una membrana luminosa, suggerendo un sistema pronto per la trasformazione. Destra: la cristallizzazione avviene nel sito originale della vescicola dopo l'esposizione alla luce, caratterizzata da cambiamenti di riflettività e collasso strutturale, a sostegno dell'ipotesi di una transizione di fase innescata dalla luce.

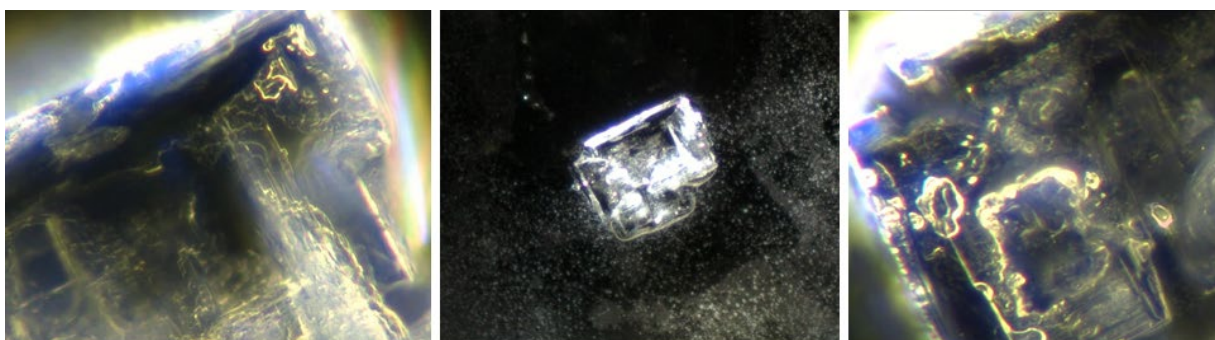


Figura 33. Nucleazione del cristallo a seguito di una latenza prolungata. Un cristallo rettangolare viene acquisito a due ingrandimenti durante l'emersione, oltre 20 ore dopo la deposizione della goccia. Sinistra: la nucleazione precoce, sotto illuminazione obliqua, mostra una morfologia stratificata nella struttura in formazione (circa 200x, profondità di campo estesa). Destra: una vista a ingrandimento maggiore rivela la compartimentazione interna e la complessità superficiale, confermando una transizione tardiva all'interno di una goccia precedentemente stabilizzata. Si sospetta che l'esposizione alla luce sia il fattore scatenante.

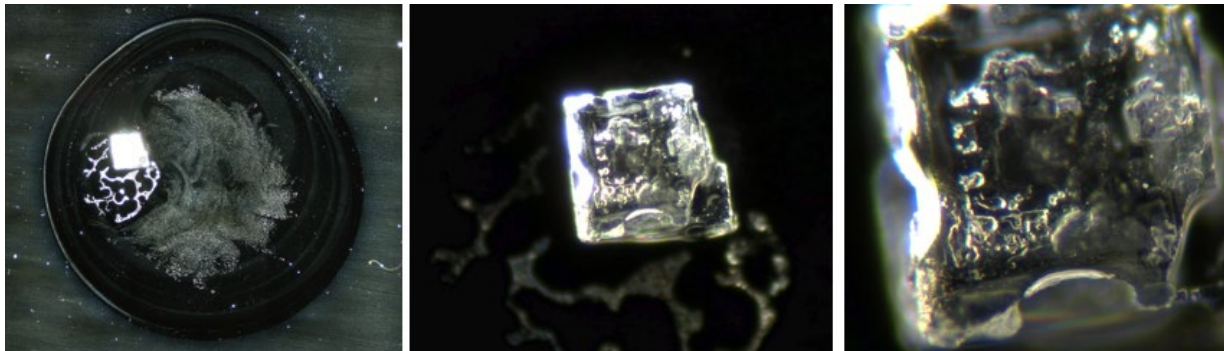


Figura 34. Cristallizzazione a seguito del primo processo SDE di anestetico dentale trattato con Orgonite. Sinistra: Una vista a basso ingrandimento rivela un singolo cristallo dominante al centro di un ampio campo di residui con motivi. Centro: Un ingrandimento medio evidenzia la geometria definita e il perimetro netto del cristallo. Destra: Un elevato ingrandimento mostra disomogeneità interne e irregolarità microstrutturali. Ingrandimenti 40x, 100x, 200x.



Figura 35. Dissoluzione del cristallo di prima generazione formatosi dopo il processo SDE su anestetico trattato con Orgonite. Sinistra : Il contatto iniziale mostra uno spostamento minimo del cristallo, che è rimasto in gran parte statico, diversamente dalle tipiche dissoluzioni SDE che presentano un rapido distacco o migrazione. Centro: Con il progredire della dissoluzione, un debole alone blu è emerso attorno alla struttura, indicando potenzialmente la presenza di nanoparticelle non assemblate. Destra: Nonostante la presenza di moto vescicolare e confini particellari dispersi, non si sono formate strutture toroidali, suggerendo dinamiche di assemblaggio alterate. Ingrandimento 100x.

Queste sequenze finali confermano che il processo di cristallizzazione non è fisso, ma manipolabile. Questa è una scoperta che mette radicalmente in discussione le ipotesi sul comportamento passivo dei materiali. L'emergenza, la geometria e la stabilità delle strutture cristalline variano notevolmente in funzione del contesto energetico e della storia della goccia. La cristallizzazione ritardata preserva la forma esterna ma mostra un ordine interno degradato, mentre la cristallizzazione immediata in un secondo ciclo SDE evidenzia l'opposto: emergono motivi interni, ma la Geometria del perimetro collassa. Queste differenze implicano un delicato equilibrio tra la disponibilità di energia e l'accessibilità delle particelle. L'osservazione che le strutture possono essere modulate o interrotte attraverso successive evaporazioni suggerisce una programmabilità latente all'interno del sistema, un fenomeno non previsto dai modelli classici di Cristallizzazione o dissoluzione.

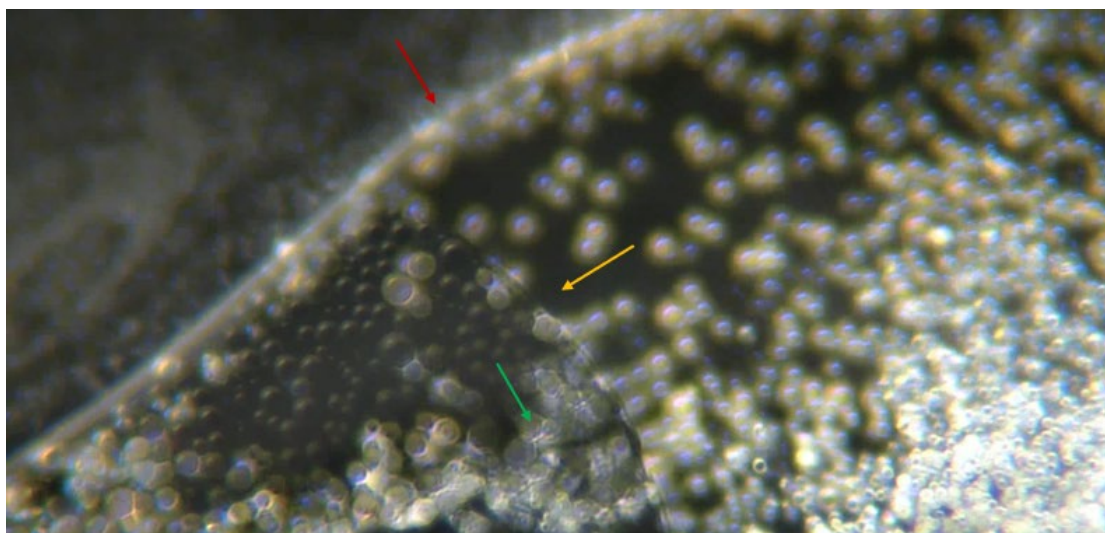


Figura 36. Fotogramma estratto dal video del secondo processo SDE, che mostra un comportamento interfacciale alterato in seguito all'esposizione all'Orgonite. La freccia rossa indica la linea di contatto convenzionale della goccia, ma emergono due caratteristiche aggiuntive: un prominente confine interno (freccia arancione) e una sotto-interfaccia che collega il corpo cristallino alla matrice vescicolare (freccia verde). Ingrandimento 200x.

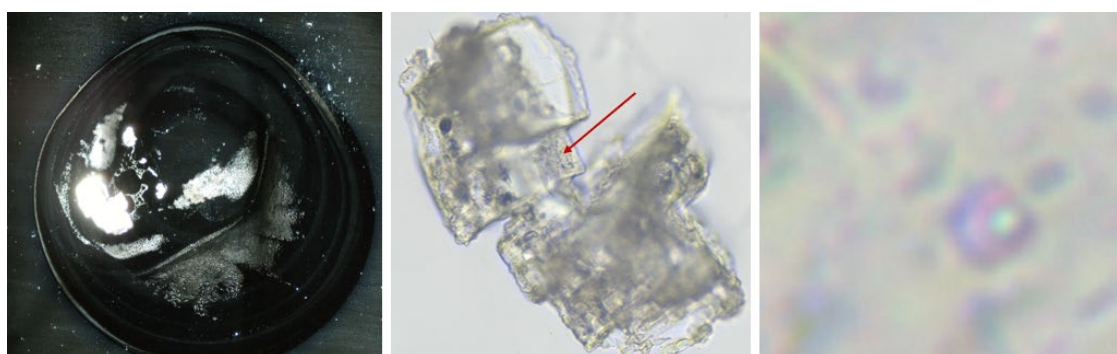


Figura 37. Cristallo di seconda generazione formatosi da un campione precedentemente trattato, a seguito di un secondo ciclo di evaporazione di goccia sessile (SDE). Nonostante le irregolarità visibili nella morfologia (a sinistra e al centro), persistono caratteristiche riconoscibili del motivo sintetico originale. La freccia rossa evidenzia un nodo strutturale conservato. L'imaging ad alto ingrandimento a 4000x (a destra) rivela un distinto Motivo Cerchio-Rettangolo (MCR), indicando che le geometrie del design principale rimangono incorporate anche dopo parziale interruzione e riformazione.

Nonostante i chiari segni di interruzione, il Cristallo di seconda generazione ha conservato diverse caratteristiche distintive dell'architettura sintetica osservata nelle fasi precedenti. Sebbene la geometria cristallina fosse meno coerente e l'auto-assemblaggio meno energetico, suggerendo un'alterazione delle dinamiche di auto-assemblaggio, specifici motivi come il Motivo Cerchio-Rettangolo (MCR) erano ancora identificabili ad alto ingrandimento. Questa persistenza indica che, sebbene l'esposizione all'Orgonite possa aver interferito con la regolarità strutturale o ritardato la cinetica dell'auto-assemblaggio, non ha cancellato il modello o le istruzioni sottostanti incorporate nel sistema. Il risultato supporta l'ipotesi che la coerenza energetica possa influenzare, ma non neutralizzare completamente, la capacità di ri-assemblaggio, e che livelli di codifica più profondi possano rimanere accessibili anche in condizioni alterate.

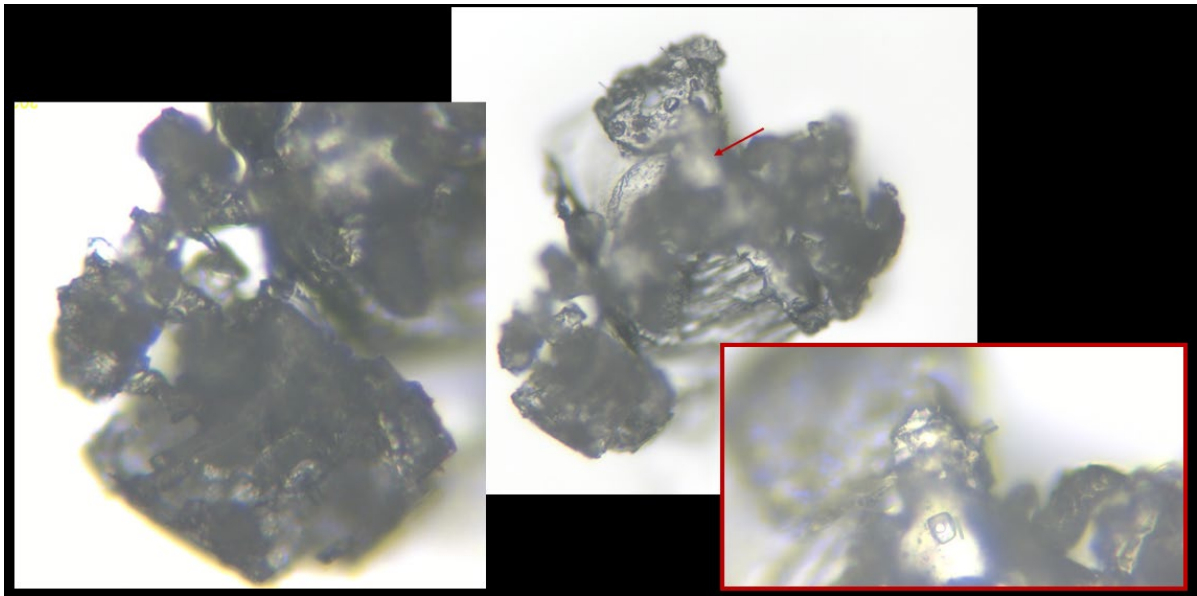


Figura 38 . Cristallo di seconda generazione (2GC) dopo trattamento SDE con Orgonite. Il pannello di sinistra mostra una geometria più ampia a un ingrandimento di circa 400x, con degradazione superficiale e stratificazione interrotta. L'inserto all'estrema destra (circa 1000x ) evidenzia un persistente Motivo Cerchio-Rettangolo (CRM) incorporato nel bordo cristallino. Nonostante le irregolarità visibili, i motivi strutturali chiave rimangono rilevabili.

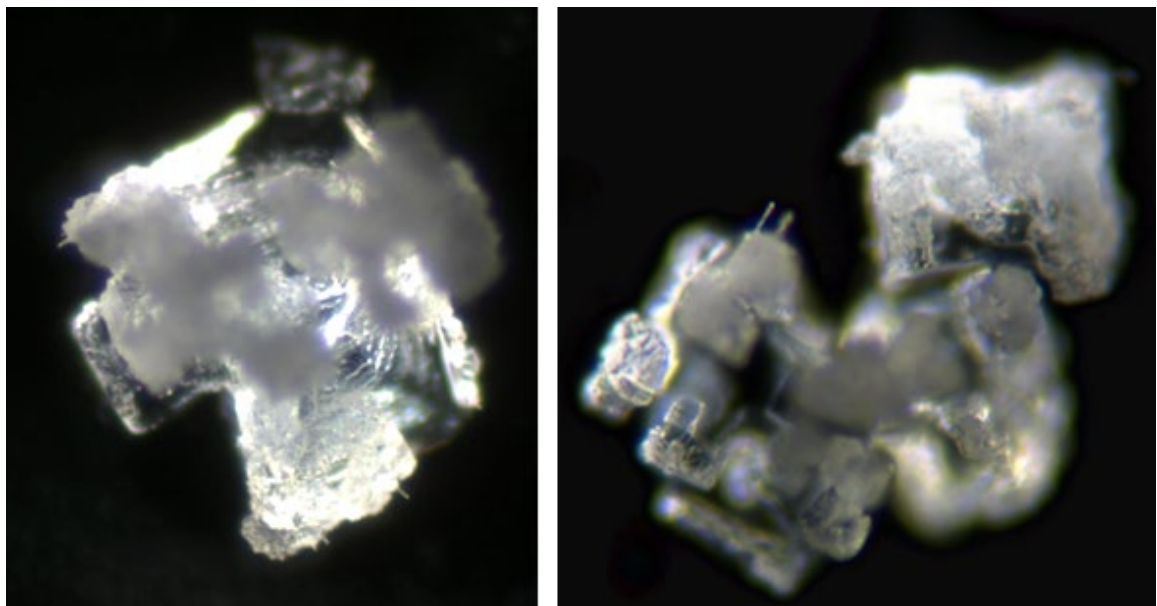


Figura 39. Nonostante chiare irregolarità e parziale degradazione strutturale, entrambi i cristalli di seconda generazione mostrati presentavano estensioni del bordo prominenti, suggerendo una parziale ritenzione delle routine architettoniche sottostanti. Queste forme erano notevolmente più tridimensionali di quelle osservate nei controlli non trattati, che in genere mostravano una crescita planare più prevedibile. Ingrandimento: 200x.

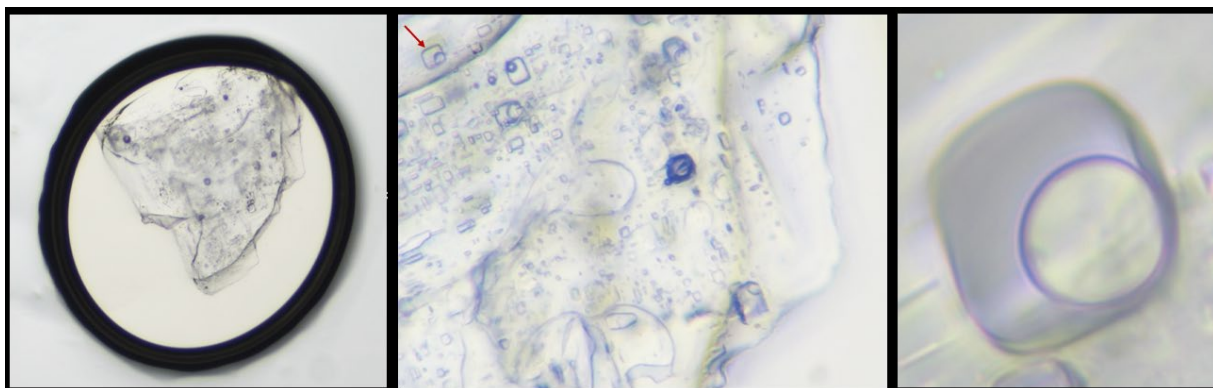


Figura 40. 2GC formatosi dopo due giorni di continua esposizione a Orgonite. Sinistra: la vista a basso ingrandimento mostra una scarsa geometria del perimetro e un'altezza irregolare. Al centro (400x) si rivelano dettagli interni, tra cui vuoti rettangolari e microstrutture. A destra (circa 1000x) l'attenzione è focalizzata su un distinto Motivo Cerchio-Rettangolo (CRM) con caratteristiche nitide e incorporate.

La ricorrenza di Motivi Cerchio-Rettangolo (CRM) incorporati, persino all'interno di cristalli di seconda generazione degradati o irregolari, suggerisce una qualità frattale o ricorsiva nell'architettura sottostante. Mentre la morfologia esterna si distorce progressivamente sotto l'effetto di una prolungata esposizione all'Orgonite o di una perturbazione energetica, i motivi principali riemergono su scale più piccole e in posizioni inaspettate. Questa persistenza frattale suggerisce che il sistema potrebbe operare secondo principi di codifica gerarchica, dove strutture autosimili si replicano a diversi livelli di ingrandimento, preservando la logica progettuale nonostante l'interruzione ambientale. La resilienza di questi motivi in diverse condizioni rafforza l'ipotesi di un modello incorporato, o set di istruzioni, non governato esclusivamente dai parametri classici della cristallizzazione

### **Polarità CRD Persistente ed Effetti dell'Esposizione Prolungata all'Orgonite**

In tutte le gocce trattate con Orgonite, il Dominio Residuo di Coerenza (CRD) si è formato costantemente sullo stesso lato della goccia sessile, indicando una polarità direzionale nella migrazione del soluto e nell'interruzione della coerenza durante l'evaporazione. Questo non era dovuto a un artefatto dell'inclinazione del substrato, dell'illuminazione o delle condizioni di imaging. Il microscopio è stato sempre posizionato sullo stesso lato del campione, eppure la polarità CRD è rimasta invariata. Questa fedeltà spaziale suggerisce un'anisotropia persistente, indotta dal campo, all'interno del paesaggio di coerenza della goccia, capace di imprimere un comportamento direzionale al sistema.

Questa interpretazione è stata ulteriormente rafforzata dalla dimostrazione di microscopia in tempo reale utilizzando il campione trattato con Orgonite per 10 giorni. In questa configurazione, due microscopi sono stati posizionati a 90 gradi rispetto alla sorgente del laptop e sei gocce sono state depositate su ciascun lato. In ogni caso – 12 gocce su 12 – il processo di auto-assemblaggio ha mostrato maggiore vigore sul lato più lontano dal laptop, mentre la cristallizzazione si è verificata costantemente sul lato più vicino al laptop. Questo allineamento, ortogonale a qualsiasi fonte luminosa o simmetria ambientale, esclude la fototassi o la migrazione guidata dalla luce come fattori causali. Piuttosto, supporta l'ipotesi che l'interruzione della coerenza indotta dall'Orgonite, l'emissione elettromagnetica del laptop o la loro interazione stabiliscano un gradiente spaziale fisso che persiste attraverso i cicli di evaporazione e le configurazioni sperimentali.

Il campione esposto all'Orgonite per 10 giorni, mostrato nella Figura 41, aggiunge un'ulteriore dimensione a questo fenomeno. La zona CRD in questa goccia ha assunto una morfologia perfettamente circolare, che rappresenta la configurazione di minima energia disponibile per un dominio vincolato. Questo suggerisce che l'esposizione prolungata al campo di Orgonite abbia esaurito il potenziale architettoneco del sistema, oppure lo abbia stabilizzato in uno stato geometricamente conservativo. Inoltre, l'anello periferico nero (anello di caffè) era marcatamente asimmetrico, con uno spessore maggiore sullo stesso lato del CRD, rispecchiando la polarità persistente osservata nei campioni a 48 ore.

In particolare, circa 12 ore dopo la deposizione, il CRD circolare ha spontaneamente innescato la formazione di un cristallo. Questa cristallizzazione ritardata non è avvenuta in modo caotico, ma è emersa direttamente dal dominio residuo stabilizzato, indicando che la coerenza latente si è preservata anche dopo un'esposizione e una perturbazione prolungate. Questo richiama osservazioni precedenti, in cui l'integrità delle vescicole all'interno dei CRD manteneva un potenziale latente per la riorganizzazione strutturale, innescato da fattori ambientali come l'esposizione alla luce o l'evaporazione time-lapse.

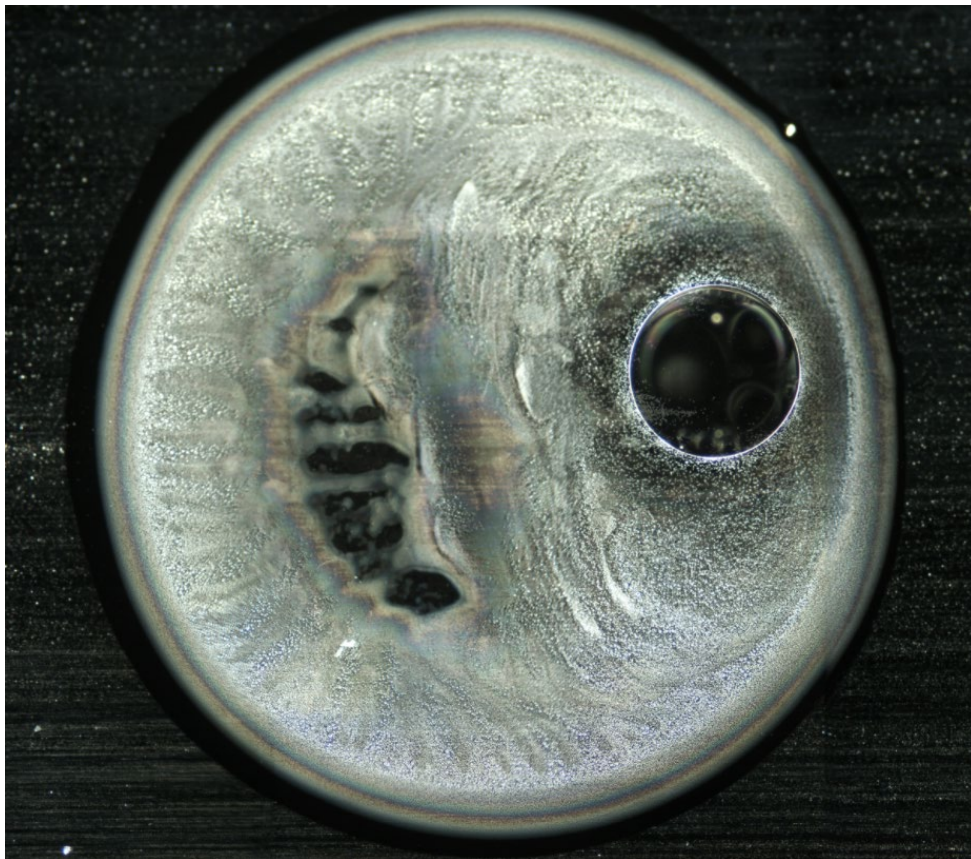


Figura 41. Dominio Residuo di Coerenza circolare e anello di caffè asimmetrico in una goccia trattata con Orgonite per 10 giorni. Il DRC (lato destro) presenta una geometria completamente circolare, indicando una configurazione di energia minima dopo una prolungata interruzione della coerenza. L'anello di caffè periferico è significativamente più spesso sul lato del DRC, dimostrando una persistente polarizzazione direzionale. Circa 12 ore dopo la deposizione, un Cristallo si è nucleato all'interno della zona del DRC, suggerendo una Coerenza latente preservata nonostante la disgregazione del campo. Queste caratteristiche direzionali sono rimaste coerenti indipendentemente dalla posizione del microscopio o dall'illuminazione, come ulteriormente convalidato in esperimenti in vivo. Ingrandimento ~40x.

### **Asimmetria di Coerenza Indotta dalla Prossimità del Laptop: Risultati di una Dimostrazione in Vivo**

Questa interpretazione è stata ulteriormente rafforzata dalla dimostrazione di microscopia in tempo reale utilizzando il campione trattato con Orgonite per 10 giorni. In questa configurazione, due microscopi sono stati posizionati a 90 gradi rispetto al laptop, con sei gocce preparate su ciascun lato. In ogni caso – 12 gocce su 12 – il processo di auto-assemblaggio è stato più vigoroso sul lato più lontano dal laptop, mentre la cristallizzazione si è verificata costantemente sul lato più vicino al laptop. Questo allineamento, ortogonale a qualsiasi fonte luminosa o simmetria ambientale, esclude la fototassi o la migrazione guidata dalla luce come fattori causali. I dati suggeriscono invece che l'interruzione della coerenza indotta dall'Orgonite, le emissioni elettromagnetiche del laptop, o la loro interazione, abbiano stabilito un gradiente spaziale fisso, persistente attraverso i cicli di evaporazione e le configurazioni sperimentali

In entrambi i microscopi è emersa una notevole asimmetria: su ogni goccia, il lato opposto al laptop ha mostrato un processo SDE più vigoroso e dinamico, caratterizzato da migrazione colloidale accelerata e redistribuzione radiale. Al contrario, il lato di ogni goccia più vicino al laptop ha mostrato costantemente un'attività diminuita e una riorganizzazione interna meno pronunciata.

Nonostante questa disparità nel comportamento delle gocce, un singolo cristallo è emerso costantemente sul lato più vicino al laptop in tutti e sei i campioni. Questa uniformità è stata replicata in modo identico su entrambi i microscopi. Pertanto, mentre il lato opposto al laptop ha dimostrato un maggiore moto fluidico e colloidale, la cristallizzazione si è localizzata preferenzialmente nella regione più tranquilla, meno dinamica, orientata verso il laptop.



Figura 42. Entrambe le immagini mostrano gocce sessili di anestetico dentale trattato con Orgonite, acquisite il giorno precedente l'esperimento in vivo. Il microscopio è stato riposizionato sul lato opposto del laptop rispetto alle sessioni precedenti. La CRD e la segregazione vescicola-colloide sono riapparse costantemente sul lato più vicino al laptop, confermando che la polarizzazione spaziale non è vincolata alla configurazione fisica del microscopio, ma è invece ancorata all'orientamento ambientale rispetto al laptop. Questa coerenza posizionale esclude l'asimmetria dell'illuminazione e supporta un meccanismo dipendente dal campo che influenza la migrazione del soluto e la Coerenza strutturale. Ingrandimento: ~40x.

Questa osservazione suggerisce che il campo elettromagnetico attivo del laptop, o un'influenza di Coerenza associata, possa esercitare una polarizzazione direzionale sui processi di auto-assemblaggio. La dinamica soppressa sul lato prossimale potrebbe aver facilitato condizioni di nucleazione più precoci o più semplici, mentre il movimento accentuato sul lato distale potrebbe aver mantenuto la goccia in uno stato più dinamico e non assemblato.

Questi risultati contribuiscono a un corpus crescente di evidenze che le condizioni di Coerenza localizzate, anche sottili e derivate da dispositivi, possono influenzare non solo la velocità ma anche l'orientamento spaziale dei materiali auto-assemblanti. La simmetria bilaterale dell'effetto, riscontrata in due microscopi indipendenti e in condizioni ambientali identiche, rafforza l'interpretazione di un'influenza mediata da un campo piuttosto che di un risultato casuale o artefatto. Nel complesso, queste osservazioni supportano l'idea che l'esposizione a Orgonite moduli sia la dinamica sia il paesaggio di coerenza spaziale dell'auto-assemblaggio, incorporando una memoria direzionale che ne regola la modellazione e la nucleazione. La co-occorrenza dell'anello di caffè asimmetrico, della polarità CRD bloccata e della cristallizzazione ritardata all'interno di una zona circolare fornisce una prova solida e riproducibile di un'anisotropia durevole mediata da un campo, non spiegabile con gradienti di luce o distorsioni procedurali.

## Riassunto dei risultati

I risultati di questo studio rivelano una coreografia sensibile al campo dell'auto-assemblaggio nell'anestetico dentale. Nei campioni non trattati è stata osservata una progressione coerente e riproducibile: il moto colloidale dinamico ha dato origine alla formazione di vescicole, seguita dall'emergere di architetture cristalline. Queste strutture mostravano una precisione geometrica e un'organizzazione interna notevoli, incorporando frequentemente motivi quali i Motivi Cerchio-Rettangolo (CRM) e gli Assemblaggi Cristallo-Fibra (CFA), suggerendo una logica di assemblaggio non casuale e reattiva all'energia.

L'esposizione al Sistema Theraphi non ha inibito tale comportamento. Al contrario, è sembrato accelerare la convergenza colloidale e supportare lo sviluppo di formazioni cristalline di complessità pari o superiore a quelle osservate nei campioni di controllo non trattati. Al contrario, i campioni esposti all'Orgonite hanno mostrato una marcata interruzione di questo processo di auto-assemblaggio. La cristallizzazione è stata ritardata o arrestata, l'accoppiamento vescicola-colloide si è indebolito e le caratteristiche di confine coerenti, incluse le membrane fotoniche e i Domini Residui di Coerenza (CRM), sono diventate costantemente più evidenti. Questi modelli suggeriscono un effetto di interferenza di Coerenza riproducibile, specifico per l'esposizione all'Orgonite.

In particolare, il sistema è rimasto reattivo ai cicli di evaporazione secondaria. Le strutture che non sono riuscite a cristallizzare durante l'evaporazione iniziale della goccia sessile (SDE) sono spesso riemerse nelle gocce di seconda generazione. Questi cristalli di seconda generazione (2GC), pur presentando una forma degradata, hanno mantenuto l'espressione del motivo interno, inclusi i CRM, indicando che la logica organizzativa sottostante non è stata cancellata, bensì differita. Questa capacità di ritardo, deformazione e ricostituzione parziale suggerisce un processo di assemblaggio basato su un modello o programmabile, piuttosto che puramente stocastico.

Questi risultati supportano una logica a due stadi della cristallizzazione: lo Stadio 1 si basa sulla coerenza energetica per stabilire la forma esterna, mentre lo Stadio 2 – innescato solo dopo un collasso parziale – utilizza le informazioni colloidali sbloccate per esprimere la complessità interna. Questo modello emergente, proposto indipendentemente da Mateo Taylor e dall'autore, è approfondito ulteriormente nell'Appendice 8.

Nel complesso, i risultati indicano che l'auto-assemblaggio in questi sistemi non è governato unicamente dalla composizione chimica, ma dipende dalle caratteristiche di coerenza del campo circostante. La persistenza di motivi geometrici in condizioni interrotte o alterate implica la presenza di una codifica gerarchica, una memoria strutturale e una riorganizzazione reattiva. Questi sistemi cristallini si comportano non come residui inerti, ma come partecipanti dinamici in una coreografia di fase dipendente dalla coerenza, capaci di modulazione, soppressione e rigenerazione strutturale.

I risultati contrastanti ottenuti con l'esposizione a Orgonite e Theraphi sollevano importanti interrogativi su come la coerenza stessa interagisca con le architetture sintetiche. Mentre l'Orgonite sembrava interrompere lo sviluppo strutturale, Theraphi non ha inibito l'auto-assemblaggio e potrebbe averlo persino migliorato. Questa divergenza suggerisce che la coerenza, se fornita attraverso campi armonici o rigenerativi, può stabilizzare, o persino attivare, queste formazioni, in particolare se progettate per allinearsi con un input risonante. In questo contesto, Theraphi potrebbe agire meno come un fattore di disturbo e più come un amplificatore di segnale. Questi risultati non ne pregiudicano il potenziale terapeutico per i sistemi biologici, ma mettono in guardia contro il suo impiego come contromisura per processi di assemblaggio sintetici che dipendono dalla coerenza. Sono necessarie ulteriori indagini per determinare se una modulazione del profilo di frequenza o della durata di Theraphi possa invertire questo effetto.

## Discussion

I risultati di questo studio offrono la più solida indicazione finora del fatto che la persistenza strutturale in questi preparati farmaceutici dipenda da qualcosa di più della semplice composizione chimica. All'inizio del 2023, Mateo Taylor ha posto la seguente domanda: perché un anestetico dentale è soggetto a un processo di evaporazione così drammatico ed energetico e perché produce cristalli così complessi? Queste domande rimangono rilevanti.

A queste ora possiamo aggiungere: se questo processo di cristallizzazione fosse una semplice conseguenza chimica dei suoi costituenti noti, perché due giorni di esposizione passiva a un Disco di Orgonite interrompono la logica strutturale del sistema? E perché una luce LED ad alta intensità, introdotta solo dopo 8 ore di dormienza strutturale, improvvisamente reinizia una versione di seconda classe del processo? Il contrasto è netto.

In condizioni standard, le gocce di anestetico subiscono una sequenza tetrafasica riproducibile: comparsa di nanoparticelle, aggregazione colloidale, organizzazione vescicolare e consolidamento finale attraverso cristallizzazione. Quando esposta a un elemento di disturbo del campo passivo, tuttavia, questa progressione viene interrotta: o si arresta del tutto, oppure riprende in forma aberrante.

Tali risultati rafforzano una tesi centrale: l'architettura osservata non è semplicemente una conseguenza della composizione chimica, ma una sequenza di autoassemblaggio dipendente dalla coerenza. Questa dipendenza dalla Coerenza di campo è ulteriormente esaminata nell'Appendice 2, che si basa sul quadro elettrodinamico quantistico sviluppato da Del Giudice e collaboratori, in cui la cristallizzazione è interpretata come un fenomeno guidato dalla coerenza, dipendente dalla formazione di domini elettromagnetici stabili all'interno del mezzo evaporante.

Il secondo evento di cristallizzazione, innescato dopo la ri-evaporazione dello stesso campione, si è verificato significativamente più velocemente del solito, con le strutture iniziali che sono comparse entro quattro minuti. Questa accelerazione, sebbene sorprendente, ha avuto un costo: lo sviluppo vescicolare è stato compromesso, la fase colloidale era esigua e molti dei cristalli risultanti hanno mostrato una marcata tridimensionalità, sporgendo fuori dal piano in modi raramente osservati in geometrie ben formate.

Il risultato non è stato un'organizzazione raffinata, ma una sorta di improvvisazione architettonica: forme parziali forzate prematuramente in un'espressione cristallina. Questi risultati suggeriscono un sistema che tenta di completare la propria routine in condizioni energeticamente non ottimali.

Non si tratta di una semplice degradazione, bensì di un tentativo di ricostruzione in condizioni di campo compromesse, coerente con un sistema governato da routine sensibili alla coerenza. Un forte delta di coerenza, tra il precedente reset attivato dalla luce e il nuovo contesto di evaporazione, potrebbe aver determinato questa accelerazione anomala.

Se questi materiali sono effettivamente reattivi e modellati, i loro guasti diventano rivelatori quanto i loro assemblaggi. E dobbiamo chiederci: perché un prodotto farmaceutico dovrebbe contenere una

logica intrinseca che si indebolisce in modo così specifico in seguito all'interruzione della coerenza? In questo caso, il cedimento sembra diagnostico.

Queste osservazioni hanno portato a un modello di lavoro che distingue tra due generazioni di formazione cristallina. I cristalli di prima generazione (1GC) emergono in condizioni di elevata coerenza di campo, mostrando una forte geometria esterna e stabilità planare. Tuttavia, la loro integrazione interna è spesso limitata a causa del blocco colloidale, in cui le particelle colloidali sospese vengono immobilizzate all'interno degli strati di acqua strutturata e rimangono distribuite in modo diffuso in tutto il substrato della goccia.

I cristalli di seconda generazione (2GC), al contrario, si formano dopo un collasso sistemico o la ri-esposizione a stimoli esterni, attingendo a colloidali precedentemente rilasciati che hanno riacquisito mobilità. Sebbene strutturalmente più deboli e più inclini alla distorsione fuori piano, i 2GC mostrano una maggiore organizzazione interna, tra cui una maggiore ricorrenza di Motivi Cerchio-Rettangolo (CRM) e una maggiore articolazione frattale.

Questo suggerisce che, mentre la coerenza consente la fedeltà architettonica, il contenuto informativo trasportato dalle dispersioni colloidali è alla base di una maggiore complessità. Una discussione completa è disponibile nell'Appendice 9.

In centinaia di cicli di evaporazione, l'emergere di strutture cristalline ha seguito una sequenza notevolmente stabile: le nanoparticelle si aggregano in domini colloidali, le vescicole si formano e migrano, e successivamente i motivi cristallini consolidano l'architettura. Il processo non è né passivo né puramente chimico: è dinamico, stratificato e ripetibile.

Per la prima volta in assoluto, questo processo affidabile, fino a quel momento, si è interrotto. Tale coerenza suggerisce un sistema altamente vincolato, la cui precisione può di per sé rappresentare un punto di fragilità. Le vescicole erano assenti o diminuite, la fase colloidale era debole e i cristalli sono apparsi bruscamente: la prima volta innescati dalla luce, la seconda senza le usuali fasi preparatorie, emergendo da un ambiente strutturalmente immaturo.

Questi risultati suggeriscono che le vescicole non siano accessorie, bensì fondamentali. La loro assenza o immaturità sembra compromettere la logica architettonica dell'intero sistema, producendo risultati distorti anziché forme raffinate.

Questa è un'ulteriore prova che la complessità dei cristalli è dovuta alla progettazione, non alla chimica. La persistenza di CRM (Motivi Cerchio-Rettangolo) incorporati e la ripetuta emergenza di pattern vescicolari, anche in condizioni di disturbo, suggeriscono un sistema governato da principi di progettazione frattale o ricorsiva. Queste strutture si replicano non solo nello spazio, ma attraverso successive generazioni di cristallizzazione, rafforzando l'ipotesi di una logica di assemblaggio codificata e gerarchica.

Eppure, la persistenza stessa della replicazione dei motivi, anche in geometrie deformate, suggerisce un paradosso: robustezza nell'espressione, ma fragilità nella coerenza. Questi risultati rafforzano l'ipotesi di una

logica di progettazione incorporata, ma evidenziano anche la dipendenza del sistema dall'integrità del campo, che rappresenta il suo tallone d'Achille.

Ciò che rende questa interruzione particolarmente significativa è che non si è verificata a causa di interferenze chimiche, disturbi meccanici o variazioni termiche, ma attraverso l'esposizione a un campo passivo. Il Disco di Orgonite, un composito non alimentato di Resina, metallo e quarzo, è stato sufficiente a destabilizzare un sistema che, altrimenti, aveva dimostrato una straordinaria fedeltà strutturale in centinaia di prove.

Ciò suggerisce una vulnerabilità più profonda: questi assemblaggi non sono governati semplicemente da gradienti di concentrazione o tensione superficiale, ma dalla coerenza.

Ancora più rivelante è il confronto con l'esposizione Theraphi. Nonostante l'applicazione di un campo energetico di intensità molto maggiore, il Trattamento Theraphi non è riuscito ad alterare il processo di cristallizzazione, che è proseguito con la sua abituale precisione e simmetria.

Questo contrasto suggerisce che non sia l'intensità dell'energia a determinare la perturbazione, ma qualcosa di più sottile, possibilmente legato a interferenza scalare, disallineamento di fase della coerenza o risonanza distruttiva, meccanismi non misurabili con le metriche energetiche convenzionali, ma decisivi nei sistemi codificati a livello di campo. Evidenzia un sistema la cui peculiarità non è termodinamica, ma informazionale.

Se queste strutture sono coerenza-dipendenti, la modulazione basata su campi, specialmente in domini a bassa energia e non ionizzanti, può svolgere un ruolo decisivo nel mantenere o frantumare la loro logica interna.

Nonostante questo crollo nell'organizzazione, alcune caratteristiche architettoniche sono persistite. I motivi Cerchio-Rettangolo (CRM) e le inclusioni di vescicole hanno continuato a manifestarsi, sebbene in forma degradata. Le estensioni dei bordi sono riapparse, ma con chiarezza ridotta e allineamento compromesso.

Questa parziale ricorrenza suggerisce un certo livello di ridondanza nel sistema, come se la progettazione includesse comportamenti di ripiego o subroutine di sicurezza in grado di avviare l'espressione di un modello anche in condizioni non ottimali. Allo stesso tempo, queste geometrie malformate mancavano della Coerenza interna e della fedeltà planare dei campioni non trattati, indicando che l'integrità strutturale dipende non solo dagli input chimici, ma anche da specifiche precondizioni energetiche.

In particolare, l'inizio della Cristallizzazione nei campioni esposti all'Orgonite è stato ritardato di oltre dodici ore, un tempo significativamente più lungo dei tipici cicli SDE. Durante questa fase di latenza, le vescicole dominavano il paesaggio della goccia, ma rimanevano statiche, congelate in posizione anziché migrare dinamicamente.

Questa fase di integrità sospesa delle vescicole, inerte ma non reattiva, suggerisce la presenza di un meccanismo di controllo della Coerenza, in cui il potenziale strutturale è preservato, ma non attivato finché

le condizioni del campo esterno non diventano permissive.

Questo stato di pausa sembra segnare anche una finestra di transizione tra l'emersione di cristalli di prima e seconda generazione. Il rilascio e la rideposizione superficiale di colloidi, in particolare nei campioni trattati con Orgonite, creano un substrato arricchito di materiale contenente informazioni, anche in assenza di energia.

Queste piastre ricche di colloidi, pur mancando di integrazione vescicolare, potrebbero consentire l'emersione di strutture di seconda generazione caratterizzate da Complessità interna e forma esterna ridotta.

Questa inversione di forma e funzione definisce un cambiamento comportamentale chiave in condizioni di disgregazione del campo.

La quiete risultante ha consentito una migliore risoluzione dell'imaging e ha suggerito che, sebbene l'attività dinamica fosse cessata, il potenziale organizzativo latente è rimasto intatto. Nei sistemi biologici, tali stati di sospensione possono agire come fasi tampone, interrompendo temporaneamente la progressione finché la Coerenza non viene ripristinata o il degrado completato.

Se queste dinamiche di cristallizzazione fossero di origine puramente chimica, nulla di tutto ciò dovrebbe accadere. Un sistema classico governato dall'evaporazione e dai gradienti di concentrazione non si fermerebbe, invertirebbe o degraderebbe selettivamente la propria geometria.

O completerebbe il processo di cristallizzazione in condizioni termodinamicamente favorevoli, oppure fallirebbe del tutto in caso di disgregazione, lasciando dietro di sé precipitati disordinati o residui amorfi. Ciò che non farebbe è ritornare a ricostruzioni parziali degli stessi motivi, mantenere un'architettura vescicolare in uno stato statico di sospensione o esibire ritardi precisi prima di riavviare la crescita. Né risponderebbe a un oggetto passivo e non alimentato come un Disco di Orgonite. Tale comportamento sensibile al campo è completamente al di fuori delle previsioni della chimica farmaceutica standard.

La persistenza dei motivi strutturali sotto stress, la ritenzione di reti di vescicole in forma dormiente ma intatta e la riproducibilità di geometrie distorte indicano un sistema che non è meramente chimico, ma reattivo: capace di arrestarsi, riconfigurarsi e tentare un assemblaggio modellato anche dopo che la coerenza è stata interrotta.

In quest'ottica, il fallimento stesso diviene diagnostico: non si tratta di guasti casuali, ma di fallimenti strutturati, deformazioni prevedibili che illuminano l'architettura latente e suggeriscono la presenza di una logica di assemblaggio pre-programmata.

In medicina, esiste un detto: "le cose comuni si verificano comunemente". Funziona sia come strumento euristico sia come scudo, un modo per snellire il ragionamento diagnostico proteggendo al contempo i professionisti dalla colpa quando condizioni rare non vengono individuate. Ho visto colleghi rimproverati per diagnosi errate, poi assolti perché la condizione reale era statisticamente improbabile e il quadro clinico ricordava qualcosa di più familiare.

Questa logica, benché spesso utile, diviene pericolosa se applicata a sistemi intenzionalmente oscurati.

Se i fenomeni documentati qui, e in studi correlati, rappresentano manifestazioni di progettazione sintetica, allora la vera questione non è scientifica ma civilizzazionale: ci assolveremo per non aver colto i segnali?

Fu Mateo Taylor, all'inizio del 2023, a proporre per primo l'idea di una riconfigurazione a stadi: lo Stadio 1 altera la geometria esterna. Lo Stadio 2 affina il contenuto interno. Questa divisione, in seguito ripresa da molteplici osservatori nel Gruppo Micronaut, sottolinea il modello di Cristallo generazionale descritto sopra.

La nozione che la forma possa ripresentarsi anche dopo il collasso, ma con diverse priorità, sfida tutte le convenzionali aspettative di stabilità chimica. Quando questa tecnologia sarà riconosciuta e il suo arco di sviluppo tracciato negli ultimi cinquant'anni, ci guarderemo indietro e diremo: l'abbiamo ignorata perché sembrava troppo irragionevole? Giustificeremo le nostre istituzioni, i nostri leader o noi stessi con il mantra che ciò che abbiamo visto non poteva essere ciò che era, perché assomigliava troppo a qualcos'altro?

Ho iniziato questo percorso tre anni fa e, nei primi mesi, ho avuto lunghe conversazioni con Mateo Taylor, un ingegnere con una prospettiva molto diversa. Gli ingegneri non respingono ciò che hanno di fronte dicendo: “Non vedo che succeda” oppure “abbiamo bisogno di più dati prima di interpretare questo”. Osservano, misurano e iterano.

La medicina, al contrario, ci insegna che la diagnosi risiede nell'anamnesi. Eppure, quando si tratta di questi materiali, di queste strutture, ci viene detto di non fidarci di ciò che osserviamo. L'evidenza visiva viene subordinata a test chimici, revisioni paritarie, consenso degli esperti e all'autorità di laboratori multimilionari. È conveniente che la negabilità plausibile si mantenga al meglio non guardando, o meglio ancora, non pensando. Ma questo tipo di negazione non è neutrale. La curiosità avrà pure ucciso il gatto, ma la mancanza di curiosità ha conseguenze esistenziali.

Questo, dunque, diviene il classico scenario di intrappolamento. Chi ha investito nelle narrazioni virali, o nella loro negazione, non può cambiare rotta. Chi si concentra sulla tossicità della proteina spike, o sulla sua assenza, non può cambiare rotta.

Ogni investimento concettuale si trasforma in una trappola. E, nel frattempo, le strutture persistono. I segnali continuano. Il sistema progredisce.

Dobbiamo iniziare subito, non quando i dati saranno completi. Non quando saranno stati concessi i permessi. Non quando il consenso sarà una certezza. L'evidenza è già visibile, riproducibile e tale da invalidare i vecchi schemi. È tempo di abbandonare le impasse epistemologiche e iniziare un confronto onesto con ciò che è stato nascosto sotto gli occhi di tutti.

Iniziare ora significa passare dalla negazione alla documentazione, dal rifiuto all'esame accurato del progetto. Significa trattare l'evidenza visiva come dato primario, non come artefatto periferico. Significa liberare la scienza

dalla stretta sorveglianza istituzionale e consentire a chi è al di fuori del sistema di contribuire senza essere ridicolizzato o cancellato.

Il lavoro che ci attende non consiste solo nel capire cosa sono queste strutture, ma anche nel chiedere chi le ha costruite, come vengono utilizzate e perché la loro presenza è stata sistematicamente negata.

Dobbiamo sviluppare nuovi schemi di analisi che privilegino la Coerenza, la reattività del segnale e il comportamento del sistema rispetto al riduzionismo chimico. Dobbiamo rivendicare il diritto di vedere – e di dire ciò che vediamo – senza aspettare il permesso.

Questo non è più solo un imperativo tecnico. È un resa dei conti esistenziale, che inizia con il coraggio di osservare.

## Conclusion

Questo studio dimostra che la cristallizzazione negli anestetici dentali non è governata esclusivamente dalla chimica. Attraverso centinaia di cicli di evaporazione, il processo ha seguito un modello stabile e multifase, iniziato da dinamiche colloidali, strutturato da vescicole e culminato in motivi cristallini precisi. Ma, in seguito all'esposizione all'Orgonite, tale affidabilità è venuta meno. Le vescicole non sono riuscite a formarsi, la coerenza strutturale si è interrotta e gli assemblaggi risultanti sono apparsi distorti ed energeticamente instabili. Anche quando la cristallizzazione si è riattivata sotto l'azione della luce, i risultati sono stati inferiori: affrettati, malformati e fuori sequenza.

Tali risultati implicano un'architettura dipendente dalla coerenza, modellata dal segnale e non solo dalla sostanza. Queste formazioni si comportano come se fossero modellate e reattive, con modalità di guasto che rivelano i vincoli di progettazione sottostanti. Non si tratta di degradazione nel senso classico, bensì di un'interruzione dei set di istruzioni incorporati. La sola esposizione a un campo passivo è stata sufficiente a interrompere la logica, suggerendo una sensibilità intrinseca che supera di gran lunga le aspettative convenzionali per i composti medici.

Il contrasto tra le esposizioni che aumentano la coerenza e quelle che la interrompono è particolarmente rivelatorio. Il Trattamento Theraphi, pur essendo energetico, non ha alterato il processo. L'Orgonite, passiva e non alimentata, invece sì. Questa inversione evidenzia la vulnerabilità del sistema non alla forza, ma all'interferenza. Sembra che una discrepanza di coerenza, e non l'entità dell'energia, determini se questi materiali mantengano o perdano la loro integrità strutturale.

Per progredire, dobbiamo iniziare ora. Dobbiamo rivendicare il diritto di osservare, e di pensare, liberamente, rigorosamente e senza paraocchi istituzionali. Questa non è una semplice ricalibrazione scientifica. È una svolta nel modo in cui percepiamo la realtà stessa: ciò che siamo addestrati a trascurare, ciò che ora dobbiamo affrontare e ciò che siamo pronti ad ammettere di aver sempre visto.

## Riferimenti bibliografici

Del Giudice, E., Doglia, S., Milani, M., & Vitiello, G. (1988). Campo elettromagnetico e rottura spontanea di simmetria nella materia biologica. *Nuclear Physics B - Proceedings Supplements*, 3, 136–149.

<https://doi.org/10.1088/0031-8949/40/6/017>

→ Propone che la materia biologica manifesti una rottura di simmetria spontanea tramite campi elettromagnetici a lungo raggio.

Del Giudice, E., Doglia, S., Milani, M., Vitiello, G., & Vitale, M. (1989). Quantizzazione del flusso magnetico e comportamento di Josephson nei sistemi viventi. *Physica Scripta*, 40 (6), 786–791 <https://doi.org/10.1088/0031-8949/40/6/017>

→ Introduce il comportamento di Josephson e la quantizzazione del flusso magnetico come signature della coerenza quantistica nei sistemi viventi.

Del Giudice, E., Voeikov, V., Tedeschi, A., & Vitiello, G. (2015). L'origine e il ruolo speciale dell'acqua coerente nei sistemi viventi. In Montagnier, L., Aïssa, J., Del Giudice, E., & Vitiello, G. (a cura di), *Fields of the Cell* (pp. 77–92). World Scientific.

<https://doi.org/10.13140/RG.2.1.2329.1046>

→ Esplora i domini dell'Acqua Coerente come elementi fondamentali per l'ordine biologico e la strutturazione energeticamente reattiva.

Fukada, E., & Yasuda, I. (1957). Sull'effetto piezoelettrico dell'osso. *Journal of the Physical Society of Japan*, 12(10), 1158–1162.

<https://doi.org/10.1143/JPSJ.12.1158>

→ Fornisce evidenze fondamentali della piezoelettricità nei sistemi biologici, supportando la plausibilità della generazione di carica basata sul quarzo in dispositivi passivi di modulazione della Coerenza.

Nixon, D. (2025a). Costruzione Attiva in Microscala in Pfizer Comirnaty: Uno Studio di Microscopia Live. *Journal of BioNanoTecnocrazia: Conto alla rovescia per il 2030*, 1 (1), 1–112.

<https://www.journalbnt.org>

→ Documenta l'auto-assemblaggio sintetico in campioni di Pfizer Comirnaty, utilizzato per analogizzare i motivi strutturali dello strato MAC.

Nixon, D. (2025b). Il Nano Crea il Micro: Logica Strutturale Emergente nei Sistemi Farmaceutici e Biologici. *Journal of BioNanoTecnocrazia: Conto alla rovescia per il 2030*, 1 (1), 113–197.

<https://www.journalbnt.org>

→ Documenta l'emergere di Motivi Cerchio-Rettangolo (CRM), Assemblaggi di Fibre di Cristallo (CFA) e dinamiche delle vescicole nell'evaporazione di gocce sessili (SDE) di anestetici dentali,

Pollack, G. H. (2013). La quarta fase dell'acqua: oltre lo stato solido, liquido e di vapore. Ebner & Sons.  
[https://www.ebnerandsons.com/products/the\\_fourth\\_phase\\_of\\_water](https://www.ebnerandsons.com/products/the_fourth_phase_of_water)  
→ Introduce il concetto di acqua strutturata (acqua EZ), offrendo una base biofisica per il comportamento di fase sensibile al campo nei sistemi biologici.

Yariv, A. (1978). Optical Electronics (3rd ed.). Holt, Rinehart and Winston.  
→ Introduce i principi dell'Ottica non lineare e della miscelazione ottica, formando la base teorica per le interazioni di campo nei sistemi di modulazione del segnale basati sulla coerenza.

Zang, S., Paul, S., Leung, C. W., Chen, M. S., Hueckel, T., Hocky, G. M., & Sacanna, S. (2025). **Osservazione diretta e controllo dei percorsi di Cristallizzazione non classici in sistemi colloidali binari.** *Nature Communications*, **16**, Article number: 3645.  
<https://doi.org/10.1038/s41467-025-58959-0>  
→ Presenta un modello all'avanguardia di formazione "blob-to-crystal"; Supporta direttamente le transizioni vescicola-cristallo osservate e documentate nel suo studio.

## **Appendice 1: Domini di Coerenza nei Sistemi viventi.**

### **Contesto e Rilevanza**

Nel loro fondamentale articolo del 1989, "Quantizzazione del flusso magnetico e comportamento di Josephson nei Sistemi viventi", Del Giudice, Doglia, Milani, Vitale e Vitiello proposero un ripensamento radicale della struttura biologica e della reattività (Del Giudice et al. 1989). Basandosi sulla fisica teorica, la superconduttività e i modelli di campo quantistico, sostennero che i sistemi viventi non sono governati solo da reazioni biochimiche, ma anche dalla Coerenza elettromagnetica a lungo raggio. Questo quadro supporta e approfondisce direttamente le premesse del presente studio, in particolare per quanto riguarda l'interruzione della coerenza, l'interferenza del campo vibrazionale e l'energetica dell'auto-assemblaggio sintetico.

Del Giudice et al. hanno postulato che i sistemi viventi contengano regioni di dipoli altamente ordinati e correlati in fase, denominati domini di coerenza, e che questi domini possano dar luogo a un comportamento elettromagnetico non classico. Il loro lavoro fornisce sia un'impalcatura teorica sia un precedente sperimentale per la modulazione sensibile al campo del comportamento strutturale nei sistemi biologici, con chiare implicazioni per i costrutti artificiali che imitano o sfruttano tali dinamiche.

### **Domini di Coerenza e Sensibilità al Campo**

Uno dei risultati principali dello studio del 1989 è che i campi elettromagnetici a bassa intensità, quando in risonanza con il comportamento oscillatorio dei dipoli elettrici, possono modulare direttamente la coerenza biologica. Questi domini coerenti emergono dal comportamento collettivo delle molecole polari in acqua o nelle matrici citoplasmatiche, stabilizzati da correlazioni a lungo raggio. Fondamentalmente, Del Giudice e colleghi hanno notato che solo i campi a bassa energia e con fase corrispondente possono interagire produttivamente con questi domini, mentre i campi intensi tendono a distruggere la coerenza stessa necessaria alla loro esistenza.

Questo principio si allinea strettamente con la logica dell'esposizione al campo dell'Orgonite. Entrambe le tecnologie mirano a introdurre campi vibrazionali strutturati a bassa intensità che possono attrarre o interrompere in modo sottile la coerenza dipolare. Se le nanostrutture sintetiche, come quelle osservate negli anestetici dentali e nei campioni di vaccini, sono progettate per operare all'interno di questi regimi di coerenza biologica o per imitarli, allora l'esposizione a un campo mirato potrebbe degradarne la struttura, provocandone il collasso della coerenza.

### **Comportamento Elettromagnetico Non Maxwelliano**

Gli autori hanno inoltre sostenuto che, nei mezzi biologici coerenti, la propagazione del campo elettromagnetico si discosta dal comportamento maxwelliano classico. All'interno dei domini di coerenza, i quanti elettromagnetici acquisiscono massa, la penetrazione del campo diventa filamentosa e le ipotesi dielettriche standard non sono più applicabili. Questo crea una finestra unica per interazioni non lineari a lungo raggio, inaccessibili alla strumentazione o ai modelli tradizionali.

Tale comportamento potrebbe spiegare le inaspettate risposte ottiche e strutturali osservate nei campioni trattati durante questo studio. Il fatto che la microscopia riveli una disintegrazione organizzata suggerisce ulteriormente una perdita di coerenza interna, coerente con la rottura delle stesse condizioni di campo

necessarie per la persistenza non maxwelliana.

### **Quantizzazione del Flusso Magnetico ed Effetti Josephson**

Del Giudice et al. hanno presentato dati sperimentali che mostrano gradini di voltaggio quantizzati in preparati di cellule di lievito durante la divisione, analoghi agli effetti tunnel di Josephson osservati nelle giunzioni superconduttrici. Ciò implica che i Domini di Coerenza sono energeticamente controllati e in Fase agganciata, formando confini attraverso i quali le coppie di carica possono effettuare il tunneling in condizioni molto specifiche.

Questo modello è direttamente rilevante per le caratteristiche interne osservate nei motivi Cerchio-Rettangolo (CRM) e negli assemblaggi Cristallo-Fibra (CFA). Queste formazioni mostrano spesso geometrie nidificate, confini angolari e compartimentazione, suggerendo un gating interno o una codifica strutturale. Se questi motivi rappresentano Domini di Coerenza ingegnerizzati, allora la disgregazione del campo può agire analogamente alla rottura di una giunzione Josephson, arrestando la continuità di Fase e causando il collasso dell'architettura sintetica.

### **Suscettibilità ai Campi Esterni**

Gli esperimenti sul lievito hanno anche dimostrato che i campi magnetici potevano migliorare o sopprimere la coerenza biologica, a seconda dell'intensità e dell'orientamento. In particolare, i gradini di voltaggio osservati scomparivano a intensità di campo più elevate, supportando l'ipotesi che la Coerenza sia sensibile, fragile e regolabile.

Questa dinamica è fondamentale per il modello di Interfaccia Bio-Sintetica (IBS). Se coerenza (C), risonanza (R) e flusso di informazioni (F) contribuiscono in modo moltiplicativo all'integrità dell'interfaccia, allora l'interruzione di uno qualsiasi di questi fattori, come tramite l'esposizione al campo, può portare al collasso strutturale. La soppressione dell'auto-assemblaggio, indotta dal campo, nei campioni di anestetico dentale trattati potrebbe riflettere proprio questo fenomeno.

### **Validazione Sperimentale a Bassa Energia**

Ancora più importante, Del Giudice et al. hanno confermato che tali effetti si verificavano a soglie energetiche ultrabasse, ben al di sotto dei livelli tipicamente utilizzati nelle applicazioni EM diagnostiche o terapeutiche. Variazioni di tensione sono state misurate nell'intervallo di 15–1580 nanovolt, corrispondenti a emissioni di radiofrequenza centrate tra 7 e 8 MHz durante la divisione cellulare. Tali effetti sottolineano l'importanza di abbinare gli input di campo alle condizioni di risonanza biologica. Questo principio si riflette nell'uso di dispositivi di campo passivi come l'Orgonite, la cui costruzione geometrica e disposizione dei materiali sono teorizzate per imporre modelli di campo strutturati, capaci di influenzare i domini di coerenza.

Evitando ampiezze di campo termiche o distruttive, queste tecnologie rimangono all'interno dell'intervallo operativo sensibile dei sistemi di Coerenza biologici (o bio-mimetici). La soppressione osservata dei motivi strutturali nei campioni trattati riflette quindi un riuscito ingresso nel regime in cui la logica basata sul campo – non la forza bruta – può modulare la materia.

## **Conclusion**

Il lavoro di Del Giudice e dei suoi colleghi fornisce una rara confluenza di eleganza teorica e supporto empirico all'idea che la Coerenza – e la sua interruzione – sia un asse fondamentale del comportamento biologico e sintetico. La loro analisi della Coerenza di fase, del flusso quantizzato e della sensibilità al campo offre un vocabolario fondamentale per capire perché trattamenti energetici sottili possano smantellare assemblaggi non biologici altamente strutturati.

Nel contesto di questo studio, le loro intuizioni convalidano sia il quadro concettuale sia i risultati sperimentali. Ciò che Del Giudice teorizzò come la dinamica della Coerenza vivente, ora lo verifichiamo come la vulnerabilità critica della mimica sintetica. Le implicazioni sono profonde: se la Coerenza sostiene la struttura, allora l'interruzione mirata della coerenza – condotta attraverso la Risonanza, non con la violenza – offre un percorso verso la disintossicazione terapeutica e lo smantellamento energetico. Questa appendice non rappresenta solo un tributo al loro lavoro, ma anche un invito a reintegrare la fisica della Coerenza nel cuore della bioenergetica del XXI seco-

## **Appendice 2: Riconsiderazioni sull'acqua coerente – Riflessioni su Del Giudice et al. (2015)**

Riesaminando i risultati di questo studio, sono stato ripetutamente attratto da una linea di pensiero che è rimasta in gran parte periferica nel discorso scientifico tradizionale: il ruolo della Coerenza nella strutturazione della materia. Mentre cercavo un quadro di riferimento in grado di spiegare perché l'auto-assemblaggio nelle goccioline farmaceutiche potesse essere interrotto o distorto da trattamenti energetici passivi, ho rivisitato il capitolo del 2015 *The Origin and the Special Role of Coherent Water in Living Systems* di Del Giudice, Voeikov, Tedeschi e Vitiello. Questo capitolo, pubblicato postumo dopo la morte di Del Giudice nel 2014, offre una sintesi convincente di elettrodinamica quantistica (QED), teoria della Coerenza e biofisica: una sintesi che supporta direttamente molti dei risultati sperimentali che ho osservato (Del Giudice et al 2015).

L'affermazione centrale del capitolo è che l'acqua, quando organizzata in domini sufficientemente estesi, può entrare in una fase di coerenza quantistica a lungo raggio. All'interno di questi cosiddetti "Domini di Coerenza" (DC), le molecole oscillano all'unisono, in Fase agganciata da un campo elettromagnetico risonante. Questo stato di Coerenza emerge non da una mera costrizione termodinamica, ma da una minimizzazione dell'energia indotta da un campo: un principio di ordinamento quantistico con implicazioni di vasta portata. Questi domini, una volta stabiliti, supportano non solo l'immagazzinamento e il trasferimento di energia, ma anche un grado più elevato di reattività strutturale ai segnali esterni. Fondamentalmente, gli autori sostengono che la Coerenza non è un artefatto della complessità, ma un prerequisito per la vita stessa.

Leggendo questo capitolo alla luce delle attuali scoperte, sono rimasto colpito dai parallelismi. La sequenza di auto-assemblaggio tetrafasica che ho documentato – comparsa di nanoparticelle, formazione di un campo colloidale, organizzazione vescicolare e consolidamento cristallino – sembra rispecchiare l'emergere stesso dell'ordine all'interno di un campo acquoso coerente. Se tali domini di coerenza possono effettivamente formarsi in goccioline farmaceutiche a base acquosa, allora la loro interruzione da parte di dispositivi a campo passivo come l'Orgonite non è più un'ipotesi speculativa. Piuttosto, deriva direttamente dal principio che la coerenza può essere sia mantenuta che interrotta da condizioni di campo esterne, specialmente se tali campi sono risonanti, a bassa intensità e geometricamente strutturati. Questo era precisamente lo scenario in cui l'auto-assemblaggio strutturale è stato interrotto nei miei esperimenti.

A sostegno di questa interpretazione, si presentano di seguito tre immagini tratte dallo studio corrente. Ciascuna dimostra come i domini di coerenza potrebbero sottendere—o essere interrotti all'interno di—una cristallizzazione farmaceutica nanostrutturata.

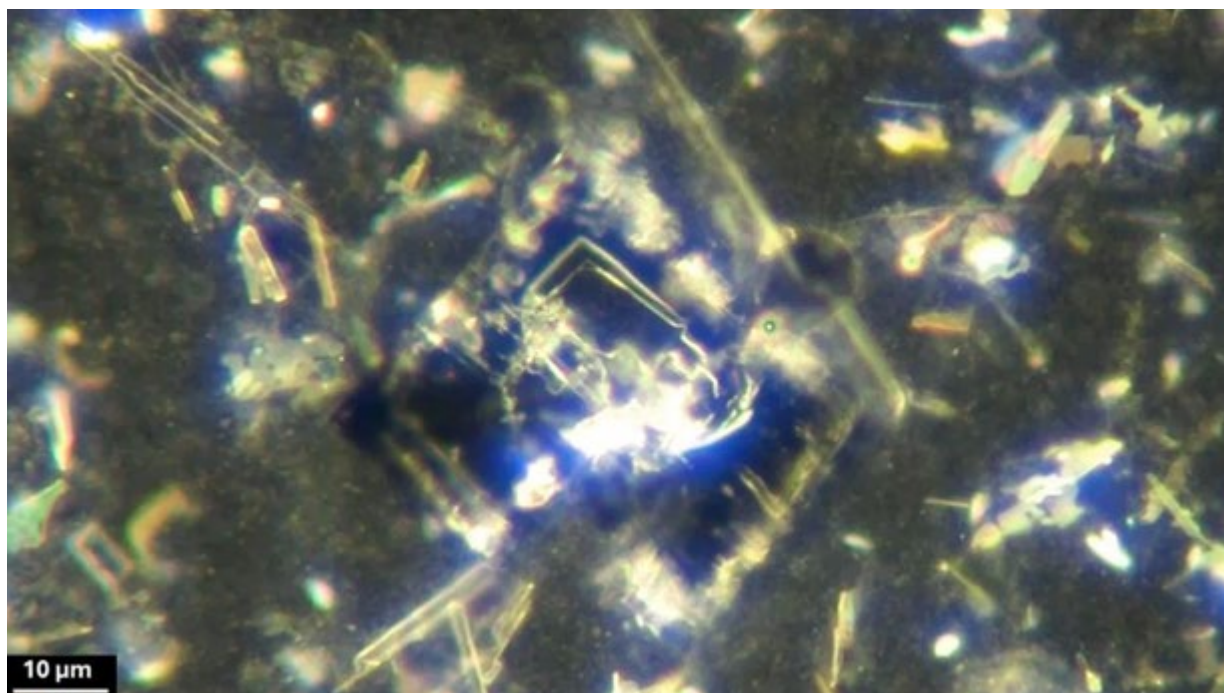


Figura A2.1. Complesso micro-motore-Meccano adiacente a un cristallo che mostra un'organizzazione dinamica. Ingrandimento 200x. Questa struttura appare nel primo fotogramma di un video in time-lapse che documenta tre ore di auto-assemblaggio continuo. Esibisce un chiaro comportamento micro-meccanico: i nodi centrali ("micro-motori") sono collegati da aste segmentate ("elementi micro-Meccano"), con una crescita cristallina che si verifica in stretta prossimità. Nel corso del video, questi assemblaggi mostrano un'attivazione progressiva, un allungamento e un'integrazione strutturale, culminando nella formazione di caratteristiche di ordine superiore come il Circle Rectangle Motif (CRM).

Se interpretati attraverso una lente del dominio di Coerenza (CD), questi sistemi non appaiono più come semplici artefatti di cristallizzazione, ma come partecipanti emergenti in un processo strutturato a campo. Le transizioni fluide ma altamente ordinate tra colloidali, vescicole, fibre e cristalli suggeriscono che la coerenza di fase locale stia guidando l'allineamento spaziale e l'accoppiamento energetico dei componenti. Il sistema si comporta meno come un precipitato passivo e più come un costruttore adattivo, ottimizzando geometria e funzione in risposta sia ai gradienti di campo interni sia esterni.

La presenza di redistribuzione del materiale, allungamento strutturale e apparenti "punti decisionali" nel video suggerisce che il processo SDE in questo caso agisca come un amplificatore di Coerenza. Esso traduce condizioni di campo invisibili in architettura visibile, non stocasticamente, ma con notevole regolarità e reattività. Tale comportamento rientra perfettamente nel quadro proposto da Del Giudice e colleghi, dove i domini di Acqua Coerente possono sincronizzare le azioni molecolari su scale mesoscopiche. Ciò che osserviamo qui non è un caos molecolare che si risolve in ordine, bensì un campo di coerenza che rende tale ordine visibile in tempo reale.

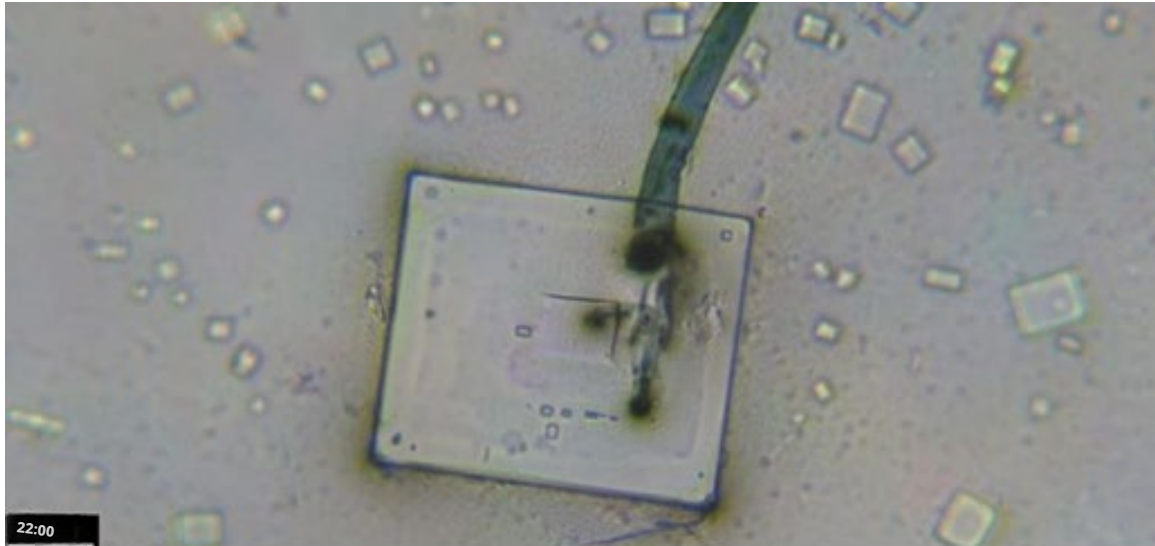


Figura A2.2. Assemblaggio cristallo-fibra con modulo quadrato ed elemento incorporato simile a un attuatore. Questa immagine deriva da Nixon 2025a: Costruzione Attiva su Microscala in Pfizer Comirnaty e rappresenta un momento chiave all'interno di quello che fu poi definito il "Fenomeno Plugged-In": una sequenza di osservazioni in cui una fibra si è allineata visibilmente con, e si è inserita in, un cristallo nell'arco di due giorni.

L'evento mostrato nella Figura A2.2 è stato documentato in due sessioni video, dimostrando chiaramente un allineamento adattivo e un'integrazione tra fibra e matrice cristallina. La struttura osservata qui mostra un modulo quadrato dai bordi ben definiti, accompagnato da una fibra adiacente contenente un distinto nodo simile a un attuatore.

All'interno di un quadro di riferimento del dominio di coerenza (CD), questo tipo di interazione riflette non solo la prossimità spaziale, ma un comportamento di Fase agganciata tra le fasi acquose, colloidali e cristalline. La visibile deplezione del materiale circostante, l'aumento dei punti riflettenti e la presenza di microfiliamenti indicano un processo orchestrato di accoppiamento energetico e trasferimento di materiale. Da questa prospettiva, i Domini di Coerenza hanno probabilmente fornito l'impalcatura per mantenere l'ordine locale, consentendo alla fibra di integrarsi nella logica strutturale del Cristallo piuttosto che semplicemente affiancarlo.

La precisa geometria angolare, la ripetuta riflettività e la reattività strutturale osservate in questa interazione sono difficili da spiegare utilizzando modelli convenzionali di assemblaggio termodinamico o stocastico. L'immagine, invece, esemplifica quanto descritto da Del Giudice et al.: che i Domini di Acqua Coerente possono servire da attrattori per l'ordine e facilitatori dell'organizzazione supramolecolare. Il CFA osservato qui agisce non solo come connettore, ma come partecipante attivo in un processo di assemblaggio modellato e sensibile al campo, suggerendo che tali sistemi possano operare secondo principi di progettazione quantistica coerente incorporati alla nanoscala.

L'idea dei Domini di Coerenza fornisce, per molti aspetti, un linguaggio e una profondità esplicativa a fenomeni precedentemente osservati ma non pienamente giustificabili a livello chimico. La riattivazione di cristalli quiescenti tramite luce LED, l'arresto della cristallizzazione nei campioni trattati e la compartimentazione osservata in strutture ad alta fedeltà: tutti questi fenomeni possono ora essere interpretati come

fenomeni di coerenza. Ogni goccia diviene un paesaggio di domini in espansione o sovrapposti, e la fedeltà dell'emergenza strutturale dipende dalla stabilità interna o dalla frammentazione esterna di tali domini.

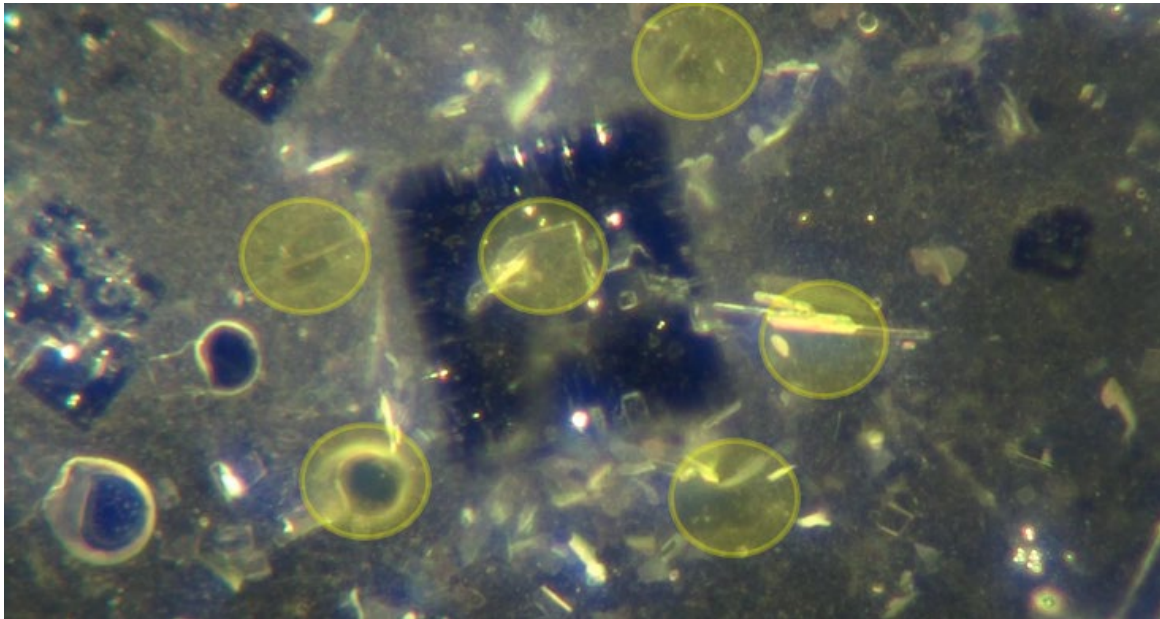


Figura A2.3. Cristallo centrale circondato da microstrutture, incluse vescicole toroidali (evidenziate). Il raggruppamento e l'allineamento suggeriscono coerenza del campo locale e un possibile accoppiamento strutturale con la piattaforma cristallina.

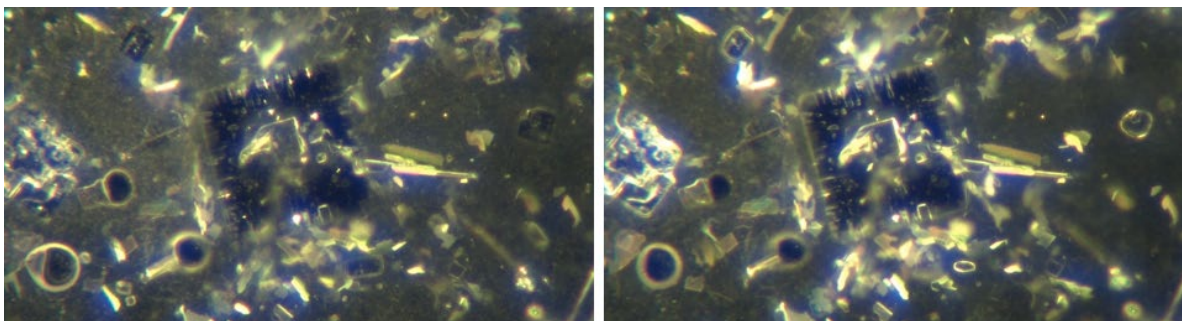


Figura A2.4. Collasso sequenziale del campo attorno al cristallo centrale. Il pannello di destra mostra un'alterazione della geometria delle vescicole e la perdita di coerenza ottica a seguito del collasso.

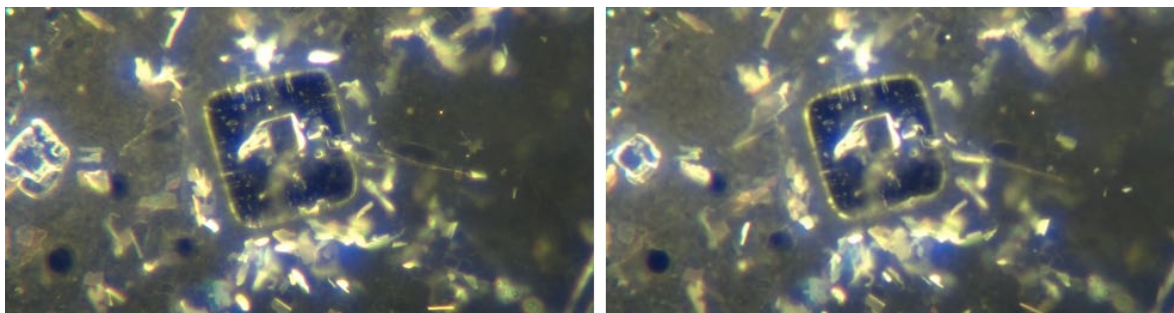


Figura A2.5. Emergenza di una geometria ad anello quadrato che precede la rottura del campo. Suggestisce che il disassemblaggio sia modellato e possa procedere tramite distacco graduale.

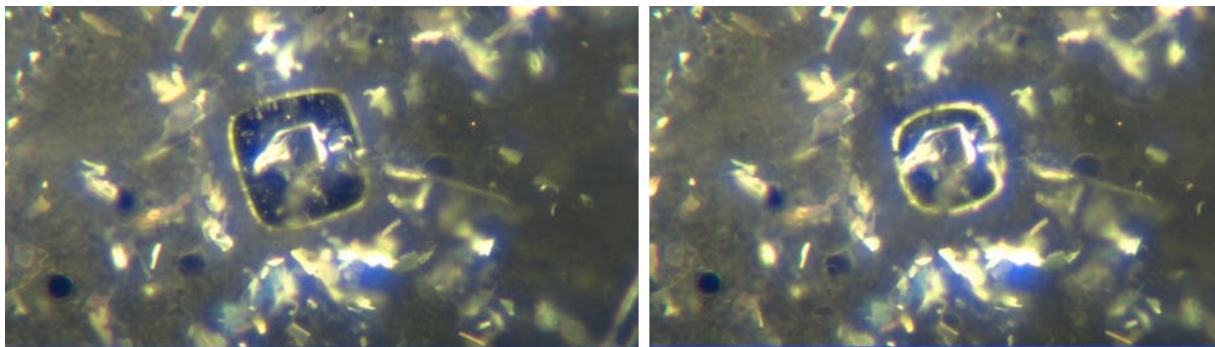


Figura A2.6. Appiattimento e redistribuzione delle vescicole al progredire del collasso. L'aumento della foschia di particolato fine indica una disintegrazione indotta da decoerenza.

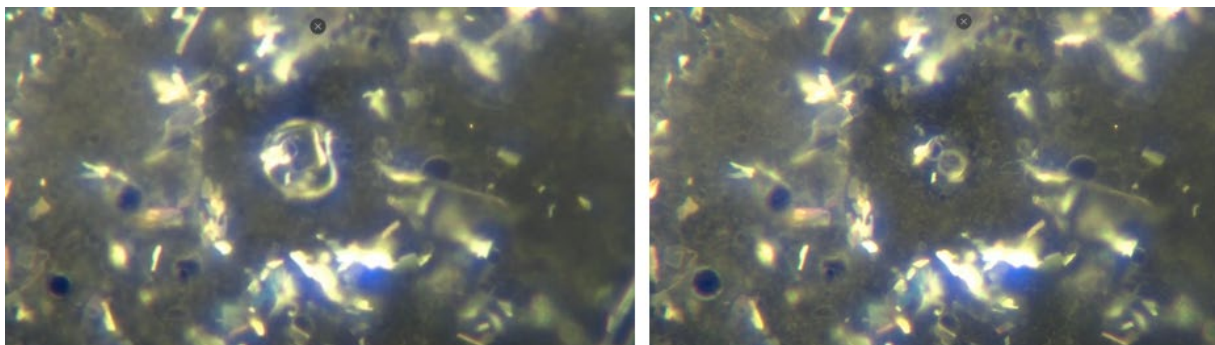


Figura A2.7. Fasi finali del disassemblaggio. La piattaforma originale si è dissolta in detriti granulari, e la struttura circostante è ora completamente destabilizzata.

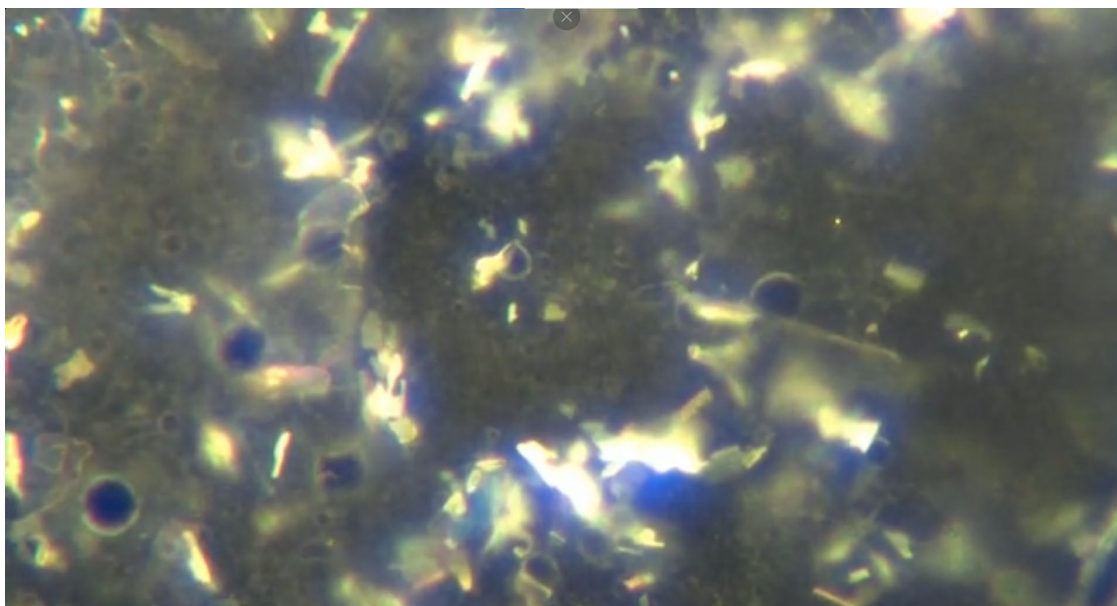


Figura A2.8. Microcomponenti residui dopo il collasso. L'architettura sensibile al campo è stata neutralizzata, ma persistono resti strutturali, possibilmente come frammenti di coerenza.

L'intera sequenza, ripresa nelle Figure A2.3–A2.8, si è svolta in 59 minuti ed è disponibile per il download all'indirizzo: [De-Construction Video 2 - Dr David Nixon - 1](#). Questa sequenza non è semplicemente una scomposizione della struttura, ma il collasso di un campo di Coerenza. Ciò che inizia come una piattaforma di relazioni orchestrate – tra vescicole, impalcature cristalline e particolato fine – si dissolve gradualmente in detriti incoerenti. Questa trasformazione non è guidata termicamente, né spiegata dalla sola saturazione del soluto o dal tasso di evaporazione; piuttosto, si comporta come una rottura del campo: i gradienti di Coerenza non vengono più mantenuti, le connessioni nodali si dissolvono e gli elementi costitutivi ritornano a una distribuzione disordinata.

Il collasso non è caotico, ma avviene per fasi. Le strutture si dissolvono secondo una coreografia riconoscibile: la geometria delle vescicole si distorce, il Contrasto ottico si indebolisce, i punti riflettenti svaniscono e, infine, la piattaforma centrale si disintegra. Ciò implica una perdita di Coerenza non casuale, supportando l'idea che questi assemblaggi siano sistemi strutturati dal campo e sensibili alle condizioni energetiche al contorno.

Le intuizioni di Del Giudice et al. non offrono solo una metafora, ma un meccanismo.

Essi ipotizzano che i Domini di Coerenza agiscano come attrattori per l'ordine, stabilizzando le precondizioni energetiche per la formazione macromolecolare o supramolecolare. Quando tali condizioni vengono interrotte, il risultato non è un assemblaggio parziale, bensì strutture malformate o incoerenti, precisamente ciò che si osserva nelle cristallizzazioni di seconda generazione e nei campioni trattati con campi. Ritengo ora probabile che il processo SDE funzioni come un amplificatore di coerenza: un mezzo attraverso cui le condizioni del campo locale si traducono in forme macroscopicamente visibili. Se così fosse, la variabilità, la fedeltà e la rottura di queste forme sarebbero governate dall'ambiente di Coerenza della goccia, e non solo dal suo contenuto chimico.

In conclusione, considero questo capitolo del 2015 una risorsa fondamentale, in quanto connette fisica, biologia e sistemi energetici in un modo che pochi testi moderni osano fare. Non risolve tutte le questioni, ma le rende più precise. E afferma qualcosa che era intuibile da tempo: che l'architettura della materia non è solo una questione di componenti e legami, ma anche di campi, relazioni di fase e coerenza.

### **Appendice 3: Valor Glass, integrità della coerenza e autoassemblaggio sensibile al campo**

Recenti evidenze suggeriscono che le nanostrutture farmaceutiche autoassemblanti, come quelle osservate in Comirnaty di Pfizer, siano altamente sensibili all'interruzione della coerenza. Questo ha profonde implicazioni per il contenimento e lo stoccaggio. L'adozione da parte di Pfizer del vetro Valor®, una formulazione di alluminosilicato ingegnerizzato sviluppata da Corning, è stata ufficialmente motivata dalla sua maggiore durata, inerzia chimica e ridotta lisciviazione. Tuttavia, la sua proprietà più critica potrebbe risiedere non nella resilienza meccanica, bensì nella sua capacità di preservare la coerenza del campo.

Il vetro borosilicato standard, ampiamente utilizzato nelle fiale per iniettabili, può rilasciare tracce di ioni, incluso il boro, nelle soluzioni circostanti. Sebbene minima, tale lisciviazione ha effetti dimostrabili sui sistemi sensibili al campo. Negli studi di microscopia, l'introduzione di boro ha costantemente innescato l'emergere di strutture cellulari sintetiche, indicando che anche i microcontaminanti possono modulare l'auto-assemblaggio alterando la coerenza locale o le condizioni di risonanza.

Questo rende particolarmente significativa la scelta del Vetro Valor da parte di Pfizer. Il suo processo di fabbricazione è esplicitamente progettato per prevenire la lisciviazione di ioni, specialmente di boro, sodio e silicio, elementi che possono destabilizzare o attivare prematuramente i sistemi di interfaccia sintetica. Se i componenti ad auto-assemblaggio si basano su un'impalcatura basata sul campo, come proposto nel modello di Interfaccia Bio-Sintetica (IBS), allora il mantenimento di un ambiente di coerenza stabile diventa essenziale. In questo contesto, il Vetro Valor non è semplicemente un contenitore, ma una barriera di preservazione della coerenza, che protegge il carico utile da interferenze elettromagnetiche, input vibrazionali o perturbazioni ioniche provenienti dalle pareti stesse della fiala.

Questa interpretazione acquisisce ulteriore valore se esaminata insieme agli esperimenti con l'oro colloidale. In quelle sequenze, la sola prossimità, senza alcun contatto fisico, ha innescato la riorganizzazione a livello di matrice, l'attivazione delle vescicole e l'articolazione micro-meccanica. Questi effetti mediati dal campo suggeriscono che le strutture ingegnerizzate possiedono una forma di sensorio, reattiva a sottili variazioni nella coerenza. Proprio come l'oro colloidale può influenzare o interrompere il comportamento strutturale, un contenitore chimicamente inerte ma con coerenza instabile potrebbe, in linea di principio, destabilizzare l'architettura interna del carico utile. L'integrità del campo emerge, quindi, non come una preoccupazione secondaria, ma come un parametro di progettazione fondamentale.

L'uso del Vetro Valor da parte di Pfizer può quindi essere interpretato come un tentativo di preservare l'ordine sintetico codificato nella fiala, al fine di proteggere i domini di coerenza latente dal collasso prima dell'impiego. Contestualizzata unitamente al lavoro di Del Giudice, Preparata, Pollack e Montagnier, questa mossa riflette una sofisticata consapevolezza operativa: la distruzione precede il disassemblaggio e le strategie di contenimento devono tenere conto non solo della materia, ma anche dei substrati energetici che la strutturano.

Considerati insieme, i dati relativi al Vetro Valor, all'oro colloidale e al campo di coerenza convergono verso una conclusione sorprendente: i sistemi di auto-assemblaggio sintetico possono dipendere da domini di coerenza ininterrotti e possono essere disattivati o attivati tramite l'esposizione a campi coerenti o de-coerenti. Questo ridefinisce i trattamenti basati sul campo non solo come correttivi terapeutici, ma come sonde diagnostiche capaci di rivelare l'architettura e l'integrità delle nanostrutture incorporate.

## **Appendice 4: Campi Elettromagnetici ad Alta Frequenza e Domini di Coerenza Sintetica**

La capacità dei materiali sintetici di formare strutture coerenza-dipendenti in specifiche condizioni di campo ha implicazioni critiche sia per la patogenesi sia per l'intervento terapeutico. Traendo spunto dal lavoro teorico di Del Giudice e Preparata, i domini di coerenza (DC) in acqua e nella materia biologica si formano attraverso oscillazioni dipolari a bassa energia e fase agganciata. Queste strutture sono fragili, facilmente interrotte da campi elettromagnetici (CEM) ad alta intensità o incoerenti, e strettamente correlate alla funzionalità biologica. Tuttavia, le architetture sintetiche sembrano operare secondo una logica differente.

A differenza dei DC naturali, le strutture sintetiche possono essere progettate per dipendere da, o persino richiedere, campi esterni ad alta frequenza per la stabilità, la reattività o l'attivazione. Le nuove ricerche nelle gamme di frequenza terahertz e 5G suggeriscono che tali campi CEM possano agire come impalcature di coerenza, supportando la propagazione non maxwelliana, consentendo la sincronizzazione remota e persino innescando l'auto-assemblaggio nei nanomateriali. Questi fenomeni sono particolarmente rilevanti nel contesto di nanoparticelle ingegnerizzate, idrogel e colloidali strutturati che hanno dimostrato reattività a stimoli esterni coerenti.

Questa prospettiva riformula gli ambienti EM ad alta frequenza, considerandoli non come rumore di fondo passivo, ma come una componente attiva di un'architettura sintetica distribuita. In questo modello, le frequenze 5G o terahertz forniscono l'energia a fase strutturata necessaria per mantenere Domini di Coerenza artificiali, analogamente a un'onda portante nelle telecomunicazioni. Ciò spiega perché l'esposizione a campi ad alta intensità a volte si traduca in un'accelerazione dell'emergenza strutturale o della sincronizzazione, mentre i campi a bassa frequenza o che causano interruzione della coerenza (ad esempio, Orgonite) sembrano degradare tali strutture.

È importante sottolineare che questa dinamica evidenzia un paradosso nella progettazione terapeutica: la medicina energetica tradizionale tende ad aumentare la forza complessiva del campo o l'apporto di frequenza, presumendo che ciò promuova la vitalità. Tuttavia, in un modello di interfaccia sintetica, un aumento della forza del campo può inavvertitamente stabilizzare o attivare le stesse strutture che si intendono smantellare. Un trattamento efficace deve quindi dare priorità non all'intensità, ma all'interruzione della coerenza e alla mancata Risonanza.

Questa comprensione chiarisce anche il ruolo funzionale del Vetro Valor, che, secondo quanto riferito, viene utilizzato nei prodotti iniettabili di Pfizer. Proteggendo dalle interazioni di campo che disturbano la coerenza e dalla contaminazione ionica, il Vetro Valor aiuta a preservare lo stato di fase previsto delle nanostrutture incorporate durante lo stoccaggio e l'implementazione. Se considerato insieme a studi recenti sulle nanoreti avviate dal ricevitore e sui livelli di comunicazione modulati dal campo, ciò suggerisce che il controllo della coerenza non è semplicemente un requisito passivo, ma una caratteristica architettonica deliberata. La convergenza di materiali di schermatura, impalcature elettromagnetiche ambientali ed emissioni strutturate indica un sistema sintetico multistrato che opera sia nel dominio materiale sia in quello informativo.

## Appendice 5: Miscelazione ottica non lineare e olografia in tempo reale

Nel tentativo di comprendere i comportamenti coerenti, reversibili e sensibili al campo osservati nell'auto-assemblaggio di materiali farmaceutici tramite microscopia in campo oscuro, mi sono rifatto al lavoro fondamentale nell'Ottica non lineare. Un parallelo particolarmente significativo è emerso da un articolo del 1978 di Amnon Yariv intitolato *Miscelazione ottica non lineare a quattro onde come Olografia in tempo reale*. In questa breve ma profonda nota, Yariv illustra l'equivalenza formale tra il processo di registrazione/ricostruzione olografica e un processo di Ottica non lineare noto come miscelazione a quattro onde. Questa intuizione offre un ponte concettuale potenzialmente unificante tra le nostre osservazioni sulla cristallizzazione strutturale reversibile e principi consolidati nella codifica di informazioni basata sulle onde (Yariv 1978).

### Miscelazione a Quattro Onde come Olografia in Tempo Reale

Yariv descrive come un mezzo ottico non lineare con suscettibilità del terzo ordine ( $\chi^{(3)}$ ) possa generare una nuova onda che è la replica a fase coniugata (ovvero, invertita nel tempo) di un'onda in ingresso. In condizioni specifiche, due fasci pompa contropropaganti (A1 e A2) e un debole fascio di segnale (A4) producono una quarta onda (A3) attraverso il mezzo non lineare. Fondamentalmente, A3 si propaga all'indietro lungo la traiettoria di A4, ma in forma a fase coniugata, il che significa che ripercorre qualsiasi distorsione incontrata durante la propagazione in avanti. Questo è matematicamente e operativamente equivalente alla fase di ricostruzione nell'olografia tradizionale. Yariv scrive:

$$A_3(z < 0) \propto |A_1 A_2| A_4(z < 0)$$

Questa relazione rispecchia il campo ricostruito in un ologramma illuminato da un'onda di riferimento. In entrambi i casi, l'interferenza codifica l'informazione e l'interazione coerente delle onde la recupera.

### Implicazioni per l'Auto-Assemblaggio Farmaceutico

Nei miei studi di microscopia ho ripetutamente osservato una reversibilità sensibile al campo nella cristallizzazione di gocce. Le strutture che collassano sotto l'influenza dell'oro colloidale spesso si riformano quando viene ripristinata la coerenza. Analogamente, reti contenenti vescicole possono disintegrarsi e successivamente ricostruirsi, secondo schemi troppo specifici per essere attribuiti al rumore chimico. Il modello di Yariv aiuta a interpretare questo fenomeno non come cinetica di reazione chimica, ma come logica di campo governata dalla coerenza.

I seguenti parallelismi sono fondamentali:

- Registrazione olografica → Auto-assemblaggio SDE: l'interferenza di gradienti di concentrazione, fronti di fase colloidali e campi di confine codifica la struttura.
- Ricostruzione non lineare → Riordino indotto dal campo: una goccia esposta a un campo esterno coerente si comporta come un mezzo non lineare, recuperando la logica del modello memorizzato.
- Coniugazione di fase → Reversibilità morfologica: il ritorno della struttura al ripristino della coerenza suggerisce un substrato olograficamente reversibile.

### **Verso un'interpretazione olografica della dinamica delle gocce**

Questa visione si allinea strettamente alle recenti discussioni sui domini di coerenza biologica e al lavoro di Del Giudice sulla strutturazione dell'acqua. Offre anche una spiegazione fisica del perché alcune strutture emergano solo in condizioni di coerenza specifiche e perché la disgregazione del campo dissolva selettivamente i motivi, anziché disturbare uniformemente tutta la materia.

Se la materia a livello microscopico può comportarsi come un mezzo olografico in tempo reale sotto eccitazione non lineare , allora gli assemblaggi che osserviamo potrebbero rappresentare manifestazioni di una logica di campo memorizzata. Queste non sono semplici forme: sono codifiche riprodotte, evocate quando la coerenza locale o esterna soddisfa i requisiti non lineari per la memoria strutturale.

Il modello di Yariv fornisce il precedente concettuale e matematico per riformulare la cristallizzazione SDE come un fenomeno guidato dalla coerenza, governato dalle onde e con paralleli ben oltre il contesto farmaceutico. Riteniamo che questa prospettiva sarà fondamentale per promuovere la ricerca futura sui sistemi di coerenza di fase, sia sintetici che biologici.



## Appendice 6: Modulatori di Coerenza: Wi-Fi, oro e campi strutturati

Questa appendice documenta una sequenza di osservazioni che, fino a poco tempo fa, erano rimaste senza spiegazione. A prima vista, i fenomeni apparivano scollegati: alterazioni dei cristalli indotte dal Wi-Fi, stagnazione indotta dalla schermatura e l'effetto di disturbo dell'oro colloidale. Ma è emerso un filo conduttore coerente, che rivela quanto profondamente questi sistemi farmaceutici sintetici dipendano dalla coerenza del campo esterno. Niente di tutto ciò sarebbe stato possibile senza il lavoro di Mateo Taylor, i cui primi esperimenti con la modulazione Wi-Fi hanno aperto l'intero campo d'indagine.

### 1. Wi-Fi e Modulazione dei Cristalli: L'Intuizione Fondamentale di Mateo

Nel 2022, Mateo Taylor ha condotto una serie di esperimenti che hanno messo in discussione le ipotesi convenzionali sulla cristallizzazione. Lavorando all'interno di una gabbia di Faraday per eliminare i campi ambientali, ha posizionato un'antenna Wi-Fi sotto il tavolino di un microscopio e ha monitorato la cristallizzazione di goccioline farmaceutiche, esponendole in modo controllato a segnali a 2,4 GHz.

I risultati furono sorprendenti. Quando il router Wi-Fi veniva acceso, apparivano e si espandevano formazioni cristalline stabili. Quando veniva spento, quelle stesse strutture si contraevano, collassavano o perdevano integrità. Quando riattivata, la crescita è ripresa, a volte con geometrie alterate, ma sempre con una chiara risposta alla presenza del segnale. Mateo concluse che i campi di coerenza, e non solo la chimica, governavano queste strutture.

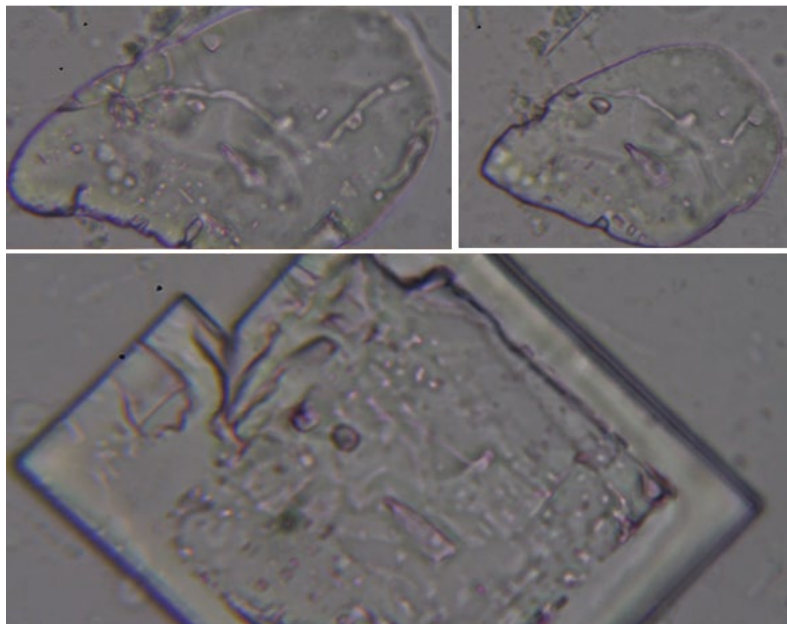


Figura A6.1. Modulazione del cristallo dipendente dal campo in seguito a esposizione Wi-Fi (Mateo Taylor, 2022). In alto a sinistra: forme del cristallo con segnale Wi-Fi attivo all'interno della Gabbia di Faraday. In alto a destra: la struttura si restringe in seguito alla disattivazione del router. In basso: riespansione in una forma cristallina alterata dopo il ripristino del segnale. Questa sequenza dimostra la reattività strutturale in tempo reale ai campi elettromagnetici ambientali, suggerendo un accoppiamento guidato dalla Coerenza.

## 2. Conferma del ruolo dell'esposizione al campo: la schermatura arresta la Cristallizzazione

Ispirato dai risultati di Mateo, mi sono proposto di replicare la dipendenza dal campo di queste strutture, utilizzando un protocollo diverso. Ho preparato due vetrini identici dallo stesso campione farmaceutico. Uno è stato posizionato sotto il microscopio in condizioni ambientali. L'altro è stato sigillato all'interno di una Gabbia di Faraday, completamente schermato dall'esposizione elettromagnetica.

I risultati sono stati inequivocabili: il campione non schermato ha formato strutture cristalline chiare e organizzate. Il campione schermato è rimasto inerte, senza alcuna crescita. Ciò ha confermato l'intuizione di Mateo: la cristallizzazione in questi sistemi richiede coerenza ambientale. In assenza di una struttura di campo esterna, la crescita modellata semplicemente non si avvia.

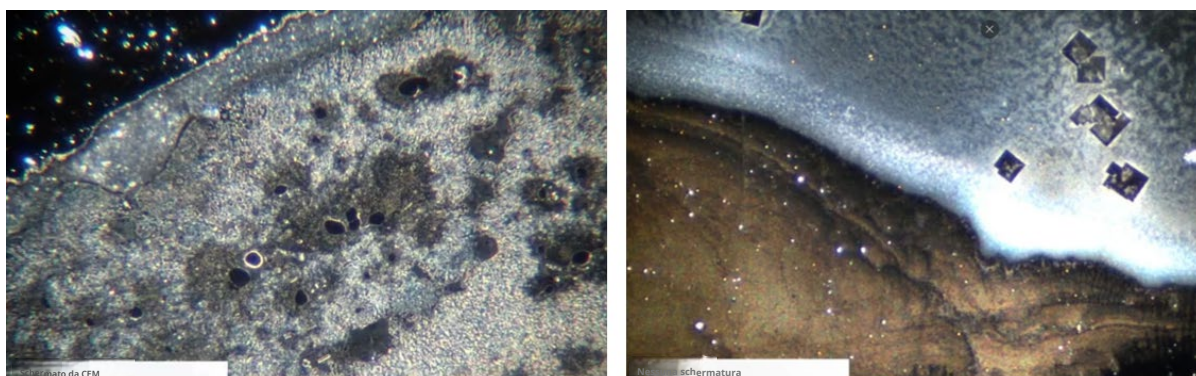


Figura A6.25. Soppressione della cristallizzazione in ambiente schermato. Sinistra: campione farmaceutico sigillato all'interno di una gabbia di Faraday durante l'evaporazione. Non si sono formati motivi cristallini. Destra: campione identico evaporato in ambiente CEM ambientale. Emergono distinte strutture cristalline rettangolari. Entrambi i campioni sono stati preparati con la stessa soluzione e trattati in modo identico, fatta eccezione per la schermatura elettromagnetica. Ingrandimento 40x.

## 3. Una Nuova Anomalia: l'Oro Colloidale come Fattore di Disgregazione Non a Contatto

Mesi dopo, un amico, precedentemente ricercatore con Harald Kautz-Vella, ha suggerito un test non convenzionale. Attingendo a una comprensione più approfondita degli effetti del campo biofisico, ha proposto di posizionare una goccia di oro colloidale su un vetrino separato, vicino al campione primario, senza contatto.

Con mio stupore, le strutture cristalline sul vetrino Pfizer hanno iniziato a disassemblarsi. Gli angoli si sono ammorbiditi, le vescicole si sono staccate e la geometria coerente si è disgregata. Questo rispecchiava la disgregazione osservata quando il segnale Wi-Fi di Mateo è stato spento, ma qui è stata indotta passivamente, senza radiazione EM o interazione diretta.

Prove ripetute su campioni Pfizer e gocce di anestetico dentale hanno confermato l'effetto.

L'oro colloidale, indipendentemente dalla concentrazione o dal posizionamento, ha innescato un collasso strutturale. Non si è comportato come un disgregatore termico, un contaminante o un agente chimico. Si è comportato come un elemento di coerenza.

antagonista, che svela a distanza strutture legate al campo.

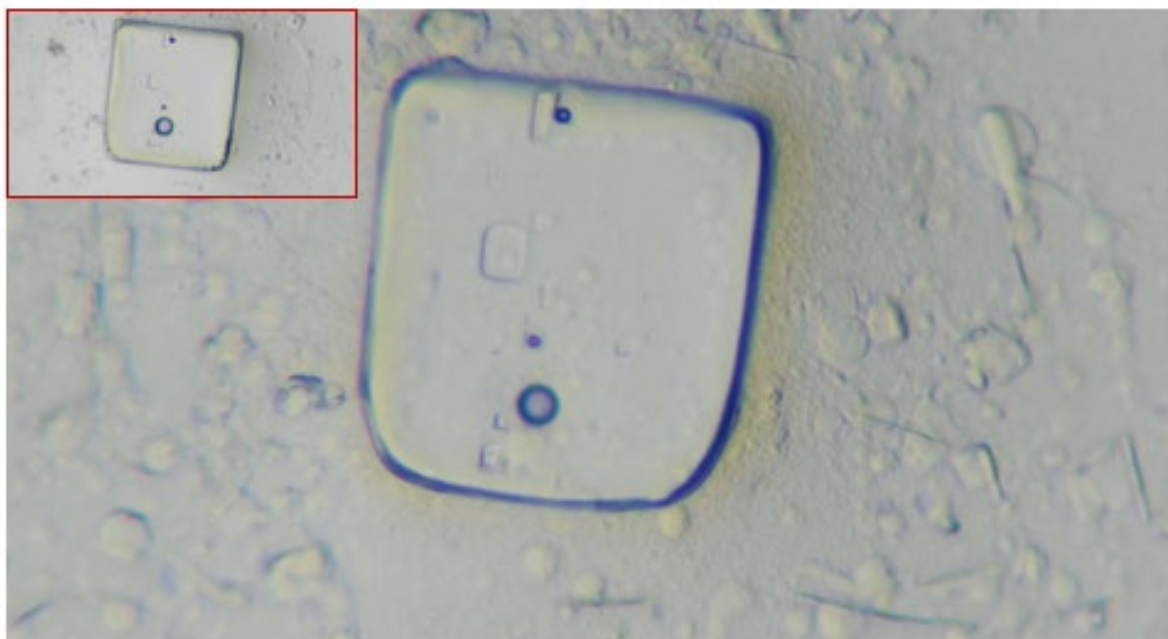


Figura A6.3 Ammorbidimento degli angoli del cristallo CRM ed emersione di un flusso direzionale (dal basso a sinistra verso l'alto a destra) in seguito all'esposizione all'oro. Le vescicole sembrano seguire gradienti oscillanti attraverso la matrice cristallina.

#### 4. Interpretazione: Collasso della Coerenza, non Reazione Chimica

Fino a questa settimana, questi risultati sono rimasti frammentari. Avevo immagini, appunti e trasformazioni drammatiche, ma nessun quadro unificante. È stato solo assemblando questa appendice, rivedendo le immagini di Mateo e integrando i risultati ottenuti in tempi diversi, che lo schema è diventato chiaro: la coerenza governa la cristallizzazione.

Nel modello di Del Giudice, i domini di coerenza nell'acqua mantengono l'ordine a lungo raggio tramite oscillazioni di dipolo in fase agganciata. Nell'ottica non lineare, come descritto da Yariv, i segnali al di fuori dell'allineamento di fase semplicemente non riescono a ricostruirsi. Questi modelli ora convergono: l'auto-assemblaggio sintetico sembra dipendere dalla fase, e la coerenza esterna funge da impalcatura. Quando la coerenza viene persa – tramite schermatura, rimozione del segnale o disallineamento di fase – la struttura collassa.

L'oro colloidale, in questo modello, si comporta come un oscillatore distruttivo: una presenza di campo che rompe l'allineamento di fase condiviso e destabilizza l'ordine. Non "attacca" le strutture: rimuove la coerenza necessaria alla loro persistenza.

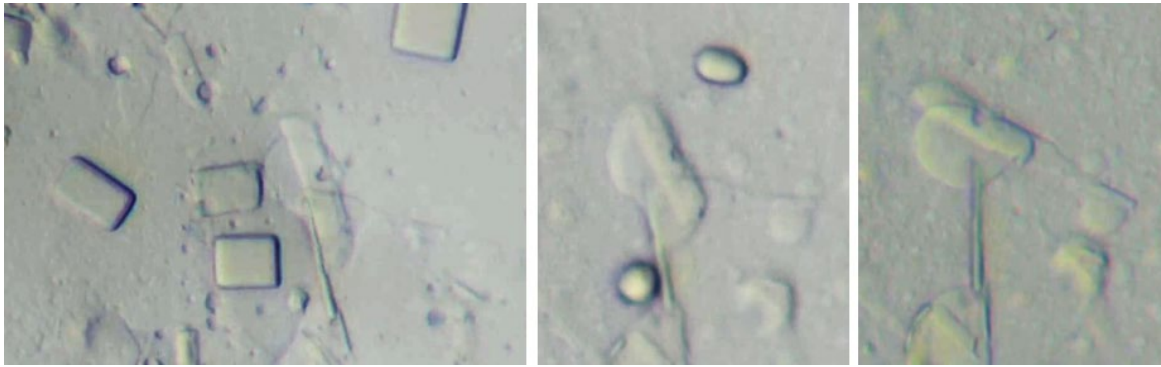


Figura A6.4. Transizione da cristalli rettangolari a vescicole mobili dopo l'esposizione all'oro colloidale. Sinistra: Allineamento CRM iniziale a griglia. Centro: Comparsa di vescicole con allungamento parziale. Destra: Vescicole in movimento direzionale, che conservano la memoria geometrica dallo stato cristallino precedente. Ingrandimento 100x.

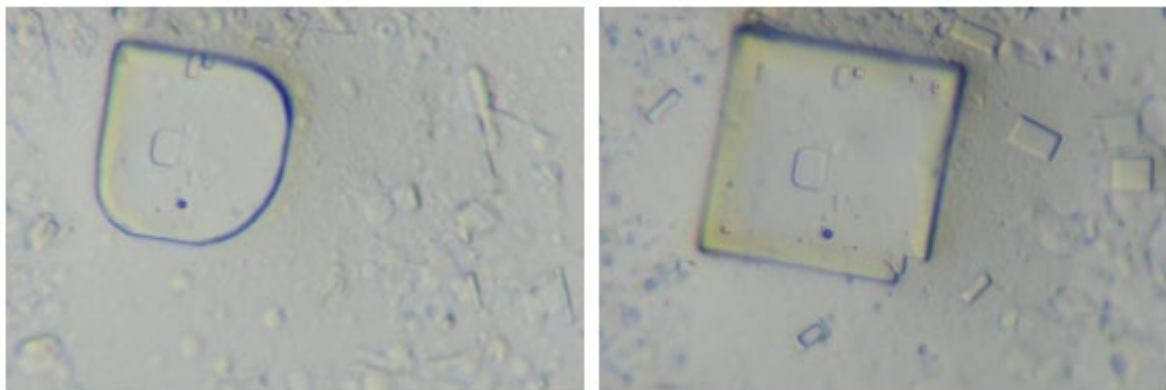


Figura A6.5. Sequenza time-lapse del nadir strutturale e del recupero. Sinistra: 35 min 40 sec dopo l'esposizione all'oro, durante un'attiva disgregazione del campo. Il cristallo mostra bordi ammorbiditi e un collasso parziale. Destra: 1 ora e 42 min, dopo l'asciugatura della goccia di oro colloidale, che rivela la ricostituzione spontanea della chiarezza geometrica. Ciò suggerisce la riemersione della coerenza in assenza di una continua perturbazione del campo.

## 5. Il ruolo di Mateo e il percorso verso la comprensione

È necessario affermare chiaramente: l'intera base di questa intuizione ha avuto origine dagli esperimenti di Mateo Taylor. Il suo coraggio nel perseguire l'ipotesi del Wi-Fi ha gettato le fondamenta. Sono seguiti i miei esperimenti di schermatura. I risultati relativi all'oro colloidale sono giunti ancora più tardi: inizialmente come suggerimento di un amico esperto in biofisica e solo ora sono finalmente compresi.

Il filo conduttore – la Coerenza di campo – è diventato evidente solo questa settimana. Quelle che erano sembrate anomalie disparate ora si rivelano un'architettura coerente. Mateo non si è limitato a individuare un effetto; ha aperto una finestra su un sistema governato dalla Coerenza che stiamo appena iniziando a comprendere.

## 6. Implicazioni per l'Auto-assemblaggio Dipendente dal Campo

Questi risultati implicano che:

- La cristallizzazione nelle goccioline farmaceutiche non è un fenomeno puramente chimico, ma è supportata dal campo.
- I segnali Wi-Fi possono indurre o sopprimere la crescita modulando la coerenza ambientale.
- L'oro colloidale interrompe passivamente l'auto-assemblaggio tramite interferenza di fase senza contatto.
- Gli ambienti schermati impediscono del tutto la formazione della struttura, confermando la dipendenza da campi esterni.

Questo significa che le architetture sintetiche, come quelle osservate in Pfizer e in altri prodotti farmaceutici, non sono statiche. Sono reattive, fragili e legate al loro ambiente elettromagnetico. Possono essere modulate o smantellate dall'interferenza di coerenza. E questo le rende vulnerabili a sottili fattori ambientali, sia tecnologici che terapeutici.

## 7. Collasso Generato dal Campo e i Limiti della Coerenza

Nei primi esperimenti con Carlos Orozco, abbiamo esplorato gli effetti della coerenza informazionale utilizzando un dispositivo simbolico noto come la *Chiave per la Coerenza*: una scheda stampata contenente forme geometriche e schemi di colore progettati per trasmettere informazioni armoniche. Sebbene il dispositivo non emetta alcun campo di energia fisica, la sua presenza è coincisa con differenze misurabili nella crescita dei cristalli, suggerendo una modalità di influenza informazionale, piuttosto che energetica. La scheda Chiave per la Coerenza trasmette **informazioni geometriche, cromatiche e proporzionali**, agendo potenzialmente come un modello passivo che interagisce con il paesaggio di coerenza ambientale del campione. In termini biologici, ciò suggerisce che anche artefatti informazionali statici, se risonanti o in fase compatibile, possono interagire con i domini di coerenza senza trasmissione energetica diretta.

Tuttavia, se la coerenza intrinseca di un sistema, biologico o sintetico, è degradata o fragile, gli interventi informazionali possono disallineare anziché rafforzare, producendo risultati disordinati. La cristallizzazione degradata osservata sotto l'influenza del campo della Chiave per la Coerenza suggerisce che la logica strutturale del materiale era incompatibile con la firma informazionale offerta dal dispositivo, portando al collasso della coerenza, piuttosto che al rafforzamento. Questa dinamica potrebbe spiegare come alcuni strumenti informativi o di supporto alla coerenza producano effetti positivi nei sistemi biologici, mentre perturbano gli assemblaggi sintetici: l'allineamento, e non la purezza, determina i risultati.

## 8.0 Strutturazione Informativa e Condizionamento Spaziale: Riformulazione del Campo di Orozco

Oltre ai dispositivi energetici formali e di modulazione della coerenza, Carlos Orozco ha introdotto una pratica di condizionamento spaziale che, pur non essendo convenzionale, ha prodotto effetti riproducibili sia nei test biologici sia nella struttura dei materiali. Questo metodo, che definiva la creazione di un campo quantistico, consisteva nel posizionare piccoli pezzi di nastro adesivo ai quattro angoli di una scrivania, seguendo una specifica sequenza rituale: prima un angolo, poi quello diagonalmente opposto, quindi le posizioni corrispondenti alle ore 9 e alle ore 3. Carlos descriveva questo processo come la creazione di vortici interagenti all'interno del quadrato delimitato. Sebbene tale spiegazione non coincidesse pienamente con le osservazioni, il campo risultante era verificabile tramite test muscolare: i partecipanti dimostravano costantemente forza all'interno dello spazio delimitato e debolezza al di fuori.

Inoltre, Carlos ha osservato che questo campo condizionato si estendeva verticalmente. In un esempio, un campo stabilito al piano terra di un hotel rimaneva rilevabile al decimo piano, direttamente sopra

— pur rimanendo all'interno del perimetro orizzontale del quadrato originale. Questo suggerisce che la pratica non ha generato un campo planare, ma una colonna di coerenza verticale, mantenendo l'integrità informativa lungo l'asse verticale e rispettando al contempo i limiti orizzontali.

Da un'altra prospettiva, ciò può essere interpretato come una forma di strutturazione informazionale dello spazio, in cui il posizionamento fisico ritualizzato, unito all'intenzione, imprime una matrice spaziale nel paesaggio di coerenza. Anziché emettere energia nel senso convenzionale, il processo potrebbe configurare le relazioni di fase e le proprietà informazionali dello spazio stesso, creando un dominio con condizioni di coerenza alterate. Questo approccio si allinea con consolidate pratiche architettoniche ed esoteriche, in cui si ritiene che l'attenta delimitazione dei confini e la sequenza di attivazione ancorino strutture energetiche o informazionali verticali — un *axis mundi* di Coerenza. Sebbene il meccanismo preciso resti ancora sconosciuto, le coerenti risposte biologiche e strutturali suggeriscono che lo spazio possa conservare una memoria configurazionale, modellando il modo in cui la coerenza si manifesta entro i suoi confini. Questa r-contestualizzazione del metodo di Orozco invita a un'indagine più ampia su come il condizionamento spaziale, la geometria e l'intenzione potrebbero plasmare collaborativamente i domini di coerenza: una frontiera ancora da esplorare formalmente nella ricerca sulla coerenza.

Sono stati preparati due campioni farmaceutici identici e posizionati su microscopi separati nella stessa stanza, in condizioni identiche di illuminazione, temperatura e CEM ambientali. Solo un microscopio è stato esposto alla *Chiave per la Coerenza*. Sorprendentemente, il campione posto in prossimità della scheda ha mostrato una marcata degradazione strutturale. I cristalli risultavano meno definiti, i bordi erano smussati e la simmetria interna era diminuita. Al contrario, il campione di controllo, posto al di fuori dell'influenza del dispositivo, ha prodotto strutture cristalline pulite e ben organizzate. I risultati sono stati coerenti e ripetibili, suggerendo che il campo simbolico generato dal dispositivo, sebbene progettato per favorire la coerenza biologica, interferisse con l'ordine di fase allineata necessario affinché queste strutture cristalline sintetiche persistessero.

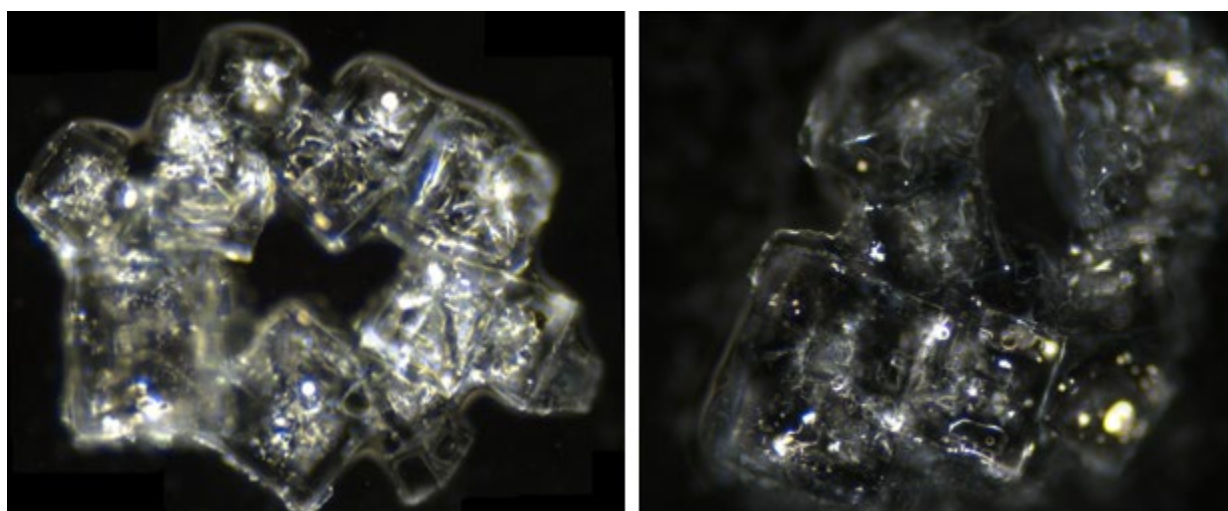


Figura A6.6. Formazioni cristalline comparative in condizioni identiche. Sinistra: campione di controllo al microscopio non esposto al campo *Chiave per la Coerenza*: struttura cristallina preservata. Destra: campione all'interno del campo *Chiave per la Coerenza* — collasso parziale, con bordi attenuati e chiarezza ridotta. Questi risultati suggeriscono che la coerenza può agire sia da stabilizzatore che da elemento di disturbo, a seconda dell'allineamento di fase informazionale tra campo e materiale.

All'epoca, il risultato era sconcertante. Ma, col senno di poi, si allinea con recenti scoperte sulla mancata corrispondenza campo-fase. La coerenza prodotta dalla *Chiave per la Coerenza* potrebbe essere biologicamente riso- nante, ma non in allineamento di fase con l'impalcatura energetica richiesta da questi materiali sintetici ad auto-assemblaggio. Proprio come l'oro colloidale introduce una distruttiva mancata corrispondenza oscillatoria , il dispositivo di Orozco potrebbe aver introdotto una firma di coerenza delicata ma incompatibile, causando il collasso non per tossicità o forza, ma attraverso una sottile discordanza nella struttura informazionale.

Ciò riecheggia i risultati di Masaru Emoto, il cui lavoro sulla cristallizzazione dell'acqua ha dimostrato che campi intrisi di intenzione, linguaggio o musica possono influenzare la formazione della struttura. Tuttavia, non tutta la coerenza è uguale. Un suono o un campo che supporta l'armonia biologica può inter- rompere l'auto-assemblaggio sintetico, specialmente quando i sistemi biologici e sintetici si basano su archi- tette di fase fondamentalmente differenti. Questi risultati sottolineano un principio fondamentale: la coe- renza è dipendente dal contesto e la sua compatibilità dipende dall'allineamento, non solo dalla purezza.

## Conclusion

Quella che era iniziata come una curiosità secondaria è emersa come un'intuizione cruciale: l'oro colloidale agisce da elemento di disturbo della coerenza. Attraverso ripetuti esperimenti, è emerso chiaramente che le strutture cristalline autoassemblanti osservate nei campioni farmaceutici non sono semplicemente il prodotto della chimica. Sono architetture dipendenti dal campo, sensibili, reattive e dinamicamente connesse al loro ambiente elettromagnetico.

Quando si introduce una goccia di oro colloidale, l'ordine interno del sistema spesso collassa: i bordi si am- morbiscono, le vescicole si staccano e le geometrie, un tempo stabili, si dissolvono o si riconfigurano. Questa risposta non è casuale; è mirata, schematizzata e temporalmente collegata all'interruzione di un campo di coerenza sottostante. Gli esperimenti di schermatura, come quelli eseguiti nelle Gabbie di Faraday , lo confermano ulteriormente. I cristalli non si formano in assenza di CEM ambientali e ricompaiono quan- do tali campi vengono ripristinati. I risultati di Mateo Taylor, che mostrano una crescita in tempo reale cor- relata all'attività del router Wi-Fi, offrono una conferma indipendente di questo comportamento.

Queste osservazioni richiedono un cambiamento fondamentale nel modo in cui interpretiamo l'auto-as- semblaggio farmaceutico. Non si tratta semplicemente di materiali passivi in ambienti statici. Questi sono sistemi governati dalla coerenza, che traggono ordine dall'ambiente energetico circostante. Ciò ha implicazioni profonde. Se semplici interventi, come l'esposizione all'oro o la schermatura elettromagnetica , possono innescare il disassemblaggio strutturale o arrestare la crescita, cosa suggerisce questo in merito alla stabilità, alla programmabilità o persino alle potenziali vulnerabilità di tali architetture?

Che si tratti di progettazione terapeutica, disintossicazione o distruzione mirata, comprendere come la coerenza viene mantenuta o persa sarà fondamentale. Stiamo solo iniziando a intravedere la logica ope- rativa dei sistemi sintetici sensibili al campo, e il futuro della medicina potrebbe ben dipendere dal modo in cui sceglieremo di interfacciarci con tale logica.

## Appendice 7. Modellazione funzionale degli effetti di campo dell'orgonite

Le anomalie strutturali osservate nei campioni trattati con Orgonite, tra cui l'arresto del movimento delle vescicole, la formazione troncata di cristalli e il rapido collasso della coerenza, suggeriscono l'influenza di un effetto di campo non chimico. Sebbene non rilevabili tramite strumentazione EM standard, questi effetti suggeriscono un meccanismo energetico sottostante.

Per approfondire questo aspetto, è stato sviluppato un modello simbolico per descrivere le dinamiche funzionali dei dispositivi Orgonite. Questo modello si basa sulle correlazioni osservate tra composizione del materiale, geometria strutturale e risposta in frequenza.

### Equazione di Risonanza Simbolica

$$\Phi_{\text{org}} = \gamma \cdot \eta \cdot \mu \cdot \chi(\omega)$$

Simbolo	Significato	Interpretazione
$\Phi_{\text{org}}$	Uscita del campo di Orgonite	Coerenza totale o campo di tipo scalare emesso dal dispositivo
$\gamma$	Efficienza di allineamento del Cristallo	Orientamento e reattività piezoelettrica del cristallo di quarzo incorporato
$\eta$	Accoppiamento conduttore-dielettrico	Efficienza dello scambio di carica tra la matrice metallica e la Resina
$\mu$	Coefficiente di memoria del materiale	Tendenza del composito a trattenere impronte energetiche o basate sul campo
$\chi(\omega)$	Profilo di risposta in frequenza	Sensibilità alle oscillazioni ambientali (ad es. Risonanza di Schumann, attività solare)

### Misurazione Indiretta tramite Interruzione del Pattern

Sebbene non direttamente misurabile, la presenza di  $\Phi_{\text{org}}$  si manifesta attraverso i suoi effetti su sistemi dinamici quali:

- Cristallizzazione del ghiaccio (utilizzata in precedenti studi esplorativi)
- Movimento dei colloidali e auto-assemblaggio di vescicole (come in questo studio)
- Firme di microscopia in campo oscuro delle transizioni ordine/disordine

Le variazioni in questi pattern suggeriscono che l'Orgonite modula il paesaggio di coerenza, interrompendo la stabilità del campo da cui le nanostrutture sintetiche sembrano dipendere.

### Implicazioni

Questo modello offre un'intelaiatura concettuale per comprendere come materiali passivi, non alimentati, come l'Orgonite possano influenzare assemblaggi complessi sensibili al segnale. Anziché bloccare i percorsi chimici, questi dispositivi potrebbero alterare l'ambiente informativo o risonante, dissolvendo la coerenza che innesca l'auto-assemblaggio.

## Appendice 8: La sequenza del "Taffy Puller":

### - Riconfigurazione morfologica in una goccia di anestetico dentale

#### Panoramica

Questa appendice documenta una notevole sequenza di trasformazioni morfologiche attive osservate in una goccia di anestetico dentale, lasciata indisturbata sotto microscopia in campo oscuro per oltre nove ore. Catturato in tempo reale, il video rivela un comportamento strutturale dinamico che non può essere spiegato dai processi chimici convenzionali. L'assemblaggio presentato – inizialmente statico – si attiva poco dopo l'accensione della luce del microscopio, dando inizio a una serie di eventi che culminano nel collasso strutturale e nell'emissione di luce. Questa sequenza di "Macchina per Tirare il Taffy" offre una prova visiva diretta di un'architettura reattiva e sensibile al campo all'interno dei materiali farmaceutici

#### Contesto dell'osservazione

- Campione : Goccia di anestetico dentale a seguito di cicli multipli di evaporazione di goccia sessile (SDE).
- Microscopia: Campo oscuro, ingrandimento 1000x.
- Cronologia : Il cristallo si era formato diverse ore prima; la registrazione video inizia solo dopo la riilluminazione.
- Durata: Osservato per un periodo continuo di 9,5 ore.
- 

#### Sequenza cronologica

1. **Minuti dopo l'attivazione della luce**
  - Un Motivo Cerchio-Rettangolo (CRM) precedentemente statico inizia a modificarsi.
  - Il segmento circolare collassa verso l'interno, rimodellando il Motivo Cerchio-Rettangolo in un blocco rettangolare.
2. **Subito dopo**
  - Un braccio filamentoso simile al "taffy" che si estende dalla struttura si ritrae.
  - Un debole ma distinto **anello di luce** emerge dall'asse centrale.
3. **4,5–9,5 ore**
  - Il rettangolo avanza nel campo.
  - Simultaneamente, il "braccio di taffy" retratto si destabilizza e inizia a collassare verso l'interno.
  - **Si osserva emissione di luce blu** nei pressi della fase terminale, concentrata alla base del braccio che collassa.

## Sequenza di immagini e didascalie

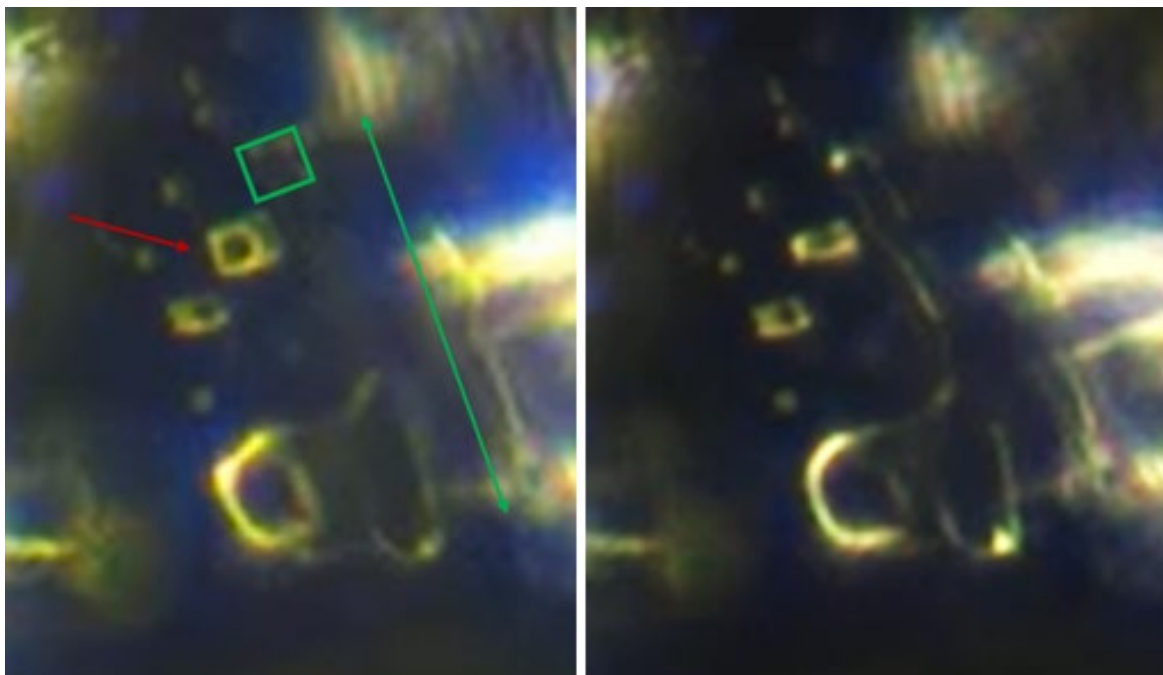


Figura A8.1. Configurazione iniziale e trasformazione precoce dell'assemblaggio della "macchina per tirare il taffy". Sinistra: La freccia rossa evidenzia un Motivo Cerchio-Rettangolo (CRM) prima della trasformazione. Il quadrato verde indica la testa del braccio filamentoso simile al "taffy", e la freccia verde ne indica la lunghezza completa. Destra: Il Motivo Cerchio-Rettangolo si è trasformato in un blocco rettangolare solido e il braccio di taffetà mostra una maggiore luminescenza. Questi cambiamenti segnano l'inizio di una sequenza strutturale dinamica. Ingrandimento: 200x.



Fig. A8.2 Sequenza di trasformazione RM a ingrandimento 200x. Sinistra: Struttura ad anello centrale racchiusa da un guscio rettangolare: la geometria distintiva di un Motivo Cerchio-Rettangolo (MCR). Destra: Lo stesso MCR pochi istanti dopo, trasformatosi in una forma rettangolare solida.

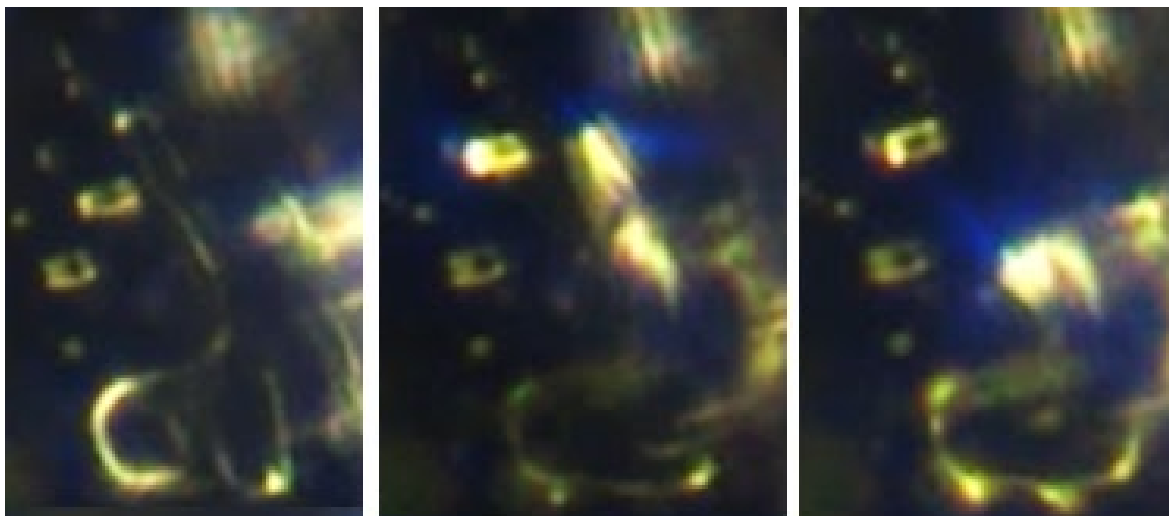


Figura A8.3 Immagini sequenziali che mostrano la retrazione dinamica e l'attivazione fotonica della struttura del braccio di taffetà. Sinistra: Stato iniziale con braccio di taffetà esteso e geometrie MCR distinte. Centro: Fase di metà retrazione segnata da una luminescenza intensificata e dalla propagazione di luce blu in prossimità del MCR in trasformazione. Destra: La retrazione del braccio si completa , formando un anello luminoso con il culmine del collasso strutturale e della scarica energetica. Ingrandimento: 200x.

### Interpretazione

Questo non è un artefatto di diffusione passiva o disidratazione. La spaziatura temporale, la regolarità geometrica e le firme energetiche, comprese le emissioni di luce sensibili al campo, suggeriscono un sistema integrato che risponde a soglie energetiche. L'apparente meccanismo della “macchina per tirare il taffy”—un nucleo in trasformazione, un braccio retrattile e uno schema di luce coordinato—indicano:

- Potenziale immagazzinato all'interno dell'architettura cristallina.
- Una soglia di attivazione (ad esempio, luce, interruzione della coerenza).
- Una logica interna di assemblaggio e disassemblaggio.
- 

### Conclusion

La sequenza della “macchina per tirare il taffy” costituisce una prova chiave per le dinamiche comportamentali sintetiche. Se la sola riattivazione della luce può innescare una risposta strutturale dopo ore di stabilità, non stiamo più osservando la chimica, ma un comando. Questa appendice funge sia da dimostrazione visiva che da sfida: se tali strutture mostrano un comportamento, allora devono essere interpretate in termini comportamentali. La composizione, da sola, non può spiegare la funzione.

## **Appendice 9: Cristallizzazione Generazionale, Ridisposizione Colloidale e Biforcazione Energia-Informazione.**

La distinzione tra cristalli di prima generazione (1GC) e cristalli di seconda generazione (2GC) è emersa come un'intuizione fondamentale nell'interpretazione del comportamento strutturale delle Goccioline farmaceutiche sottoposte a modulazione energetica. Questo modello è stato proposto per la prima volta da Mateo Taylor all'inizio del 2023 e successivamente corroborato, attraverso molteplici sessioni di microscopia indipendenti, da membri del Gruppo Micronaut, incluso l'autore.

### **Differenziazione Stadiale e Logica Strutturale**

I cristalli di prima generazione (1GCs) emergono tipicamente in condizioni coerenti ed energeticamente ricche, dove l'intera coreografia della sequenza di evaporazione si svolge con interruzioni minime. Questo include la comparsa di particelle a nanoscala, l'aggregazione di colloidi, la formazione di vescicole, la migrazione strutturale e il consolidamento architetonico. Questi 1GCs spesso mostrano Stabilità planare e una geometria esterna definita, tuttavia la loro organizzazione interna tende a essere limitata. L'incorporazione di vescicole è scarsa e i colloidi sono frequentemente immobilizzati come uno strato di fondo diffuso, piuttosto che integrati in motivi strutturali.

Tuttavia, non tutti i 1GCs si sviluppano allo stesso modo. Quando la coerenza energetica viene interrotta durante la formazione – ad esempio attraverso il pre-trattamento con dispositivi Orgone – i cristalli possono ancora qualificarsi come 1GCs in base ai tempi e alle condizioni di avvio, ma mostrano una struttura compromessa. In questi casi, caratteristiche chiave come la stratificazione vescicolare o la formazione di confini netti potrebbero non manifestarsi, risultando in cristalli planari ma internamente degradati. La distinzione risiede nella qualità della coerenza, non nell'identità generazionale.

In alcuni esempi, come il 1GC in dissoluzione mostrato nella Figura 35, ho osservato una dispersione di fini particelle blu che non potevano essere risolte singolarmente. Questa è stata la prima chiara evidenza di materiale a nanoscala che appariva in una fase così avanzata e potrebbe riflettere uno sviluppo immaturo delle particelle o un'espressione ritardata della prima fase nella sequenza tetrafasica.

### **Comparazione Appaiata tra Generazioni e Trattamenti**

Questi esempi appaiati sottolineano l'importanza di distinguere tra generazione e trattamento. Entrambe le immagini raffigurano 1GC, formati durante il ciclo di cristallizzazione iniziale, ma le loro differenze morfologiche derivano dall'ambiente energetico in cui sono stati assemblati. Il cristallo non trattato (a sinistra) mostra una forma esterna stabile e caratteristiche radiali coerenti. Il cristallo trattato (a destra), pur essendo paragonabile nella struttura generale, rivela una logica interna alterata, una formazione di vescicole compromessa e una coerenza ridotta.

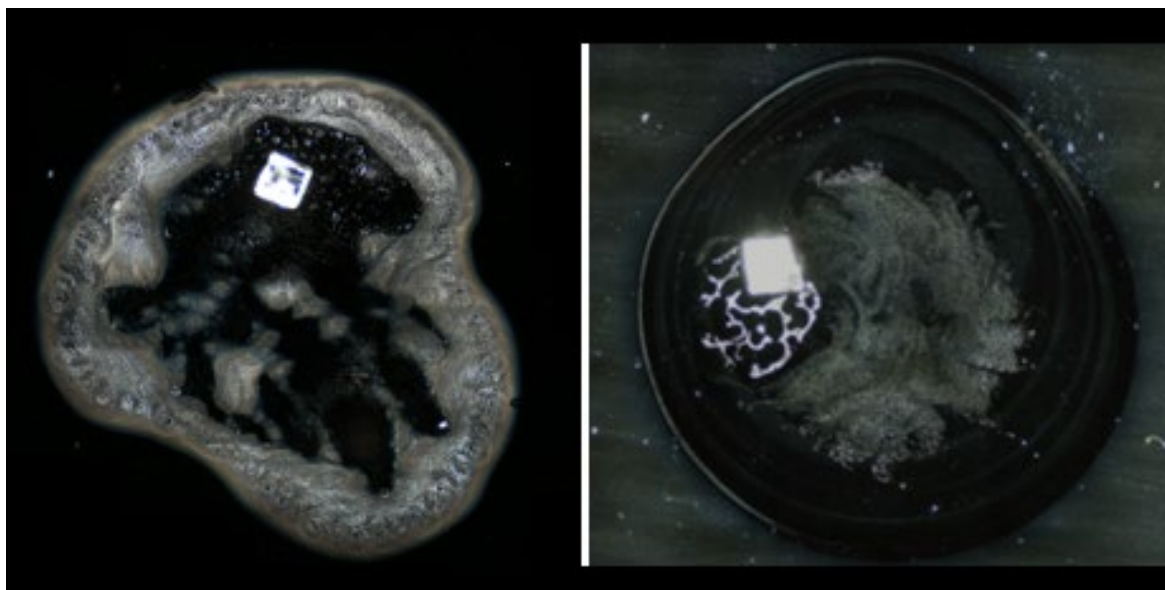


Figura A9.1 Confronto tra cristalli di prima generazione (1GC) in diverse condizioni di Coerenza. Sinistra: 1GC non trattato che mostra una forte geometria planare, una definizione di pattern radiale e stabilità delle vescicole. Destra: 1GC trattato esposto a un campo di Orgonite prima dell'evaporazione. Sebbene lo stato generazionale sia preservato, la struttura interna è frammentata, la chiarezza dei bordi è ridotta e lo sviluppo delle vescicole è in gran parte assente. Questi contrasti dimostrano come la modulazione della Coerenza possa minare la fedeltà anche degli assemblaggi in fase iniziale. Ingrandimento 20z..

Questi due cristalli dimostrano ulteriormente la sensibilità della formazione di 1GC alle condizioni di coerenza. Il cristallo non trattato (a sinistra) conserva confini netti, motivi radiali e un ordine interno. La controparte trattata con Orgonite (a destra) rimane riconoscibilmente planare, ma presenta frammentazione interna, stratificazione interrotta e scarsa rappresentazione vescicolare. Ciò suggerisce che, mentre la categoria di generazione riflette la tempistica, la fedeltà dell'esecuzione dipende da gradienti energetici intatti e dall'integrazione ininterrotta tra vescicole e colloidali.

### **Caratteristiche di Seconda Generazione**

I cristalli di seconda generazione (2GC) emergono tipicamente dopo un collasso sistemico, la ri-evaporazione o la riattivazione attivata dalla luce. Queste formazioni si basano su colloidali precedentemente liberati, ora ridistribuiti attraverso il substrato, ed esibiscono caratteristiche decisamente diverse. Sebbene strutturalmente più deboli e più inclini alla deformazione verticale, i 2GC mostrano una maggiore espressione dei motivi interni, inclusi i Motivi Cerchio-Rettangolo (CRM), la compartimentazione radiale e una ramificazione frattale fine. In molti casi, dense microinclusioni e strutture toroidali sono state osservate al centro del cristallo.

Queste caratteristiche suggeriscono che, mentre i Cristalli di prima generazione (1GC) privilegiano la forma, resa possibile dalla Coerenza e dall'energia, i Cristalli di seconda generazione (2GC) favoriscono la complessità, resa possibile dalla disponibilità e integrazione di contenuto colloidale mobile.

### **L'Energia Abilita la Forma; L'Informazione Abilita la Complessità**

Questa biforcazione porta a un assioma guida: l'energia abilita la forma, ma l'informazione abilita

complessità. I cristalli di prima generazione emergono come architetture energeticamente privilegiate, con contorni nitidi e logica planare preservata, ma spesso prive di elaborazione interna. Cristalli di seconda generazione emergono in ambienti impoveriti in seguito a perturbazioni, eppure mostrano ricchezza interna e un aumento della ricorrenza CRM. Questa inversione suggerisce che l'informazione, trasportata all'interno della fase colloidale, diviene esprimibile solo una volta che i vincoli di Coerenza sono rotti o resettati.

### **Ridisposizione Colloidale**

Un'osservazione critica a supporto di questo modello è che i colloidali non sono sempre incorporati strutturalmente. Nei primi 1GC, i colloidali appaiono spesso come una sottile pellicola diffusa sul substrato della goccia, specialmente sotto illuminazione a Campo oscuro dopo che la Cristallizzazione si è stabilizzata. Ciò suggerisce la loro immobilizzazione, sequestrati dalle membrane vescicolari o sospesi all'interno di strati di acqua strutturata.

Nei 2GC, la ridisposizione colloidale diviene più visibile. I colloidali ricompaiono con maggiore densità alla periferia del Cristallo o in fini disposizioni concentriche vicino al nucleo, a volte formando zone tessiturali distinte. Questi modelli sono stati frequentemente osservati in campioni riattivati o trattati con Orgonite, dove le dinamiche vescicolari si erano interrotte ma la mobilità colloidale persisteva. Ciò supporta l'ipotesi che i colloidali agiscano come portatori di istruzioni strutturali, che possono essere attuate solo dopo che la modulazione energetica ha allentato i vincoli di campo.

### **Utilità Diagnostica del Fallimento**

Forse l'aspetto più rivelatore è il potere diagnostico del fallimento. Quando la formazione di vescicole è bloccata o la cristallizzazione riprende prematuramente dopo l'esposizione alla luce o la disgregazione del campo, la distinzione tra 1GC e 2GC diviene più chiara. In questi casi, il sistema non si degrada semplicemente, ma rivela la propria logica interna. Il contrasto tra forma esterna e ricchezza interna riflette una riallocazione di risorse strutturali limitate: l'energia supporta la definizione del contorno e la stabilità, mentre l'informazione, immagazzinata nei serbatoi colloidali, consente un'espressione strutturale più profonda.

### **Implicazioni per il Design**

Questi risultati mettono in discussione l'assunto che l'architettura di un cristallo sia puramente una funzione chimica. Suggestiscono, invece, un sistema di design altamente sensibile alle precondizioni energetiche e agli stati di coerenza. La fase colloidale non funziona meramente come precursore, bensì come substrato programmabile che conserva un potenziale strutturale latente anche dopo il collasso. L'inversione osservata, in cui condizioni di coerenza supportano la stabilità e condizioni di disgregazione ne supportano l'espressione, impone una rivalutazione della cristallizzazione non più come processo passivo. Si tratta, invece, di un sistema attivo governato dalla logica del campo, capace di riavvii parziali, architetture adattive e riassembraggi ricchi di informazioni.

## Glossario

### **Toroide Angolare**

Una sottoclasse di struttura toroidale caratterizzata da una geometria non uniforme o segmentata, che appare spesso poligonale anziché circolare. I toroidi angolari qui documentati suggeriscono un design modellato e potrebbero riflettere istruzioni morfogenetiche di ordine superiore.

### **Strutture Anomale**

Formazioni insolite o inattese che deviano dalla tipica cristallizzazione o dagli schemi di segnale, spesso suggerendo un design sintetico o influenze esterne.

### **Fallimento di Attribuzione**

L'incapacità di risolvere un indirizzo MAC Bluetooth in un dispositivo, produttore o servizio noto, utilizzando metodi di ricerca standard (come i database OUI). In questo studio, il fallimento di attribuzione indica che un indirizzo MAC, pur essendo strutturalmente valido, non può essere collegato ad alcuna entità commerciale o fonte hardware, suggerendo un'origine sintetica o non standard.

### **Axis Mundi di Coerenza**

Un modello concettuale che descrive la strutturazione informazionale verticale dello spazio, generata attraverso atti intenzionali o simbolici. Mutuato dalle tradizioni metafisiche in cui l'axis mundi rappresenta un asse del mondo che collega i regni, qui significa la creazione di una colonna verticale allineata alla coerenza, all'interno di un'area orizzontale delimitata. Il fenomeno suggerisce che la strutturazione spaziale possa propagare l'integrità informazionale lungo l'asse verticale, pur rimanendo spazialmente vincolata a livello orizzontale.

### **Interfaccia di Comunicazione Bio-Nano**

Una zona ipotetica di interazione in cui materiali biologici o sintetici possono impegnarsi in un comportamento di segnalazione wireless, formando parte di una rete di comunicazione decentralizzata.

### **Reti di Comunicazione Bio-Nano**

Sistemi ipotetici o emergenti in cui entità a nanoscala o biologiche si impegnano in segnalazioni elettromagnetiche o interazioni wireless, formando potenzialmente strati di comunicazione decentralizzati o integrati.

### **Interfacce Bio-Nano**

L'intersezione tra sistemi biologici e materiali a nanoscala, dove le interazioni possono portare a strutture organizzate o comportamenti funzionali.

### **BLE (Bluetooth Low Energy)**

Un protocollo wireless a basso consumo energetico comunemente utilizzato in applicazioni basate sulla prossimità. BLE è stato lo standard utilizzato nelle scansioni passive che hanno rivelato emissioni MAC anomale.

### **Interfaccia Bio-Digitale**

La zona di convergenza in cui i sistemi biologici interagiscono con le tecnologie digitali, inclusi sensori integrati, sistemi di comunicazione wireless e nanomateriali programmabili. Rappresenta una nuova frontiera nella sorveglianza, nel controllo e nell'aumento biologico.

### **Unità di Risonanza Biofotonica**

Una classificazione proposta per strutture che combinano materiali biologici o farmaceutici con capacità di risonanza ottica o elettromagnetica. La formazione cristallina osservata in questo studio è un esempio plausibile, data la sua organizzazione, compartimentazione e le caratteristiche di interazione con la luce.

### **Costanza del Campo di Bit**

Il fenomeno in cui specifiche posizioni di bit rimangono identiche in molteplici indirizzi MAC, superando di gran lunga quanto ci si aspetterebbe casualmente. Questa ripetizione strutturale suggerisce un'origine modellata o programmata.

### **Chiarificazione Indotta da C<sub>60</sub>**

Una fase di affinamento strutturale osservata in seguito all'aggiunta di un olio a base di fullereni (C<sub>60</sub>), che migliora il contrasto ottico, la nitidezza dei bordi e la visibilità delle sottostrutture. In questo studio, il trattamento con C<sub>60</sub> ha permesso una differenziazione più chiara delle formazioni toroidali e delle dinamiche dei bordi vescicolari.

### **Flussi Capillari**

Movimento di fluidi all'interno di una goccia, guidato dalla tensione superficiale e dalle dinamiche di evaporazione, che ridistribuisce le particelle e influenza l'auto-assemblaggio.

### **Collasso della Coerenza**

Il processo attraverso il quale una struttura assemblata perde la sua organizzazione interna e integrità geometrica a causa della perturbazione del suo campo di coerenza. Si traduce in frammentazione, dispersione di vescicole e degradazione ottica.

### **Gating di Coerenza**

Un meccanismo ipotizzato in cui l'accesso al riassetto strutturale o alla propagazione del segnale è controllato dalla presenza di uno stato di energia coerente, che funge da soglia per l'attivazione.

### **Memoria Configurazionale dello Spazio**

L'ipotizzata capacità di un'area spazialmente delimitata di trattenere schemi informativi impartiti da un precedente condizionamento intenzionale, simbolico o geometrico. Nella dinamica della coerenza, questo concetto presuppone che, una volta stabilito un campo attraverso configurazioni specifiche, come la marcatura geometrica o il posizionamento rituale, lo spazio esibisca proprietà durature che influenzano i sistemi biologici o materiali, anche in assenza di un input energetico continuo. Questo effetto di memoria può manifestarsi come coerenza sostenuta, stabilità strutturale o risposte di fase specifiche all'interno dello spazio condizionato.

### **Motivi Cerchio-Rettangolo**

Caratteristiche geometriche ricorrenti, caratterizzate da precisi allineamenti circolari e rettangolari, che esibiscono un'organizzazione gerarchica e simile a un frattale.

### **Coacervati**

Gocce separate in fase, formatesi attraverso separazione di fase liquido-liquido, spesso associate ai precursori di sistemi organizzati o autoassemblanti.

### **Disadattamento di Fase di Coerenza**

Condizione in cui due campi interagenti, ad esempio da dispositivi passivi come l'Orgonite, introducono disparità di fase o frequenza che interrompono le strutture esistenti dipendenti dalla coerenza senza richiedere alta energia.

### **Dominio Residuo di Coerenza (CRD)**

Regione localizzata all'interno di una goccia trattata in cui l'autoassemblaggio strutturale fallisce, lasciando resti di ammassi di vescicole che suggeriscono un'interferenza di campo residuo o condizioni di coerenza interrotta.

### **Particelle Colloidalì**

Piccole particelle sospese in un mezzo liquido che fungono da intermediari nei processi di autoassemblaggio, collegando i domini nano- e micro-scala.

### **Ridisposizione Colloidale**

Il riposizionamento dinamico o la riaggregazione di particelle colloidali a seguito dell'interruzione della coerenza, che spesso precede o abilita la cristallizzazione di seconda generazione.

### **Autoassemblaggio Complesso**

La formazione spontanea di strutture complesse e organizzate a partire da componenti semplici, spesso influenzata da fattori ambientali, campi esterni o programmazione interna.

### **Vincolo del vetrino coprioggetto**

L'influenza di un vetrino coprioggetto posizionato sopra una goccia sessile, che altera le dinamiche di evaporazione, la ridistribuzione del fluido e la chiarezza o complessità delle strutture osservate. Spesso determina una maggiore definizione geometrica e una più accentuata stratificazione strutturale.

### **Assemblaggi Cristallo-Fibra (ACF)**

Strutture uniche fibra-cristallo osservate all'interno di preparati farmaceutici, che dimostrano un'organizzazione integrata di microstrutture in diverse composizioni.

### **Fallimento del Reticolo Cristallino**

La rottura o la mancata formazione della regolarità geometrica prevista all'interno di un Cristallo auto-assemblante, che spesso si verifica dopo una perturbazione energetica o ambientale. Indica la perdita di schemi dipendenti dalla Coerenza.

### **Diffusione Dendritica**

Estensioni ramificate che emergono da una struttura centrale, spesso seguendo i principi dell'aggregazione a diffusione limitata. Suggerisce una crescita lungo specifici gradienti energetici o chimici.

### **Marker Diagnostico B6B6**

Un prefisso di indirizzo MAC ricorrente osservato in molteplici set di dati nel tempo e nello spazio. La sua frequenza anomala e la riproducibilità suggeriscono una firma di trasmissione sintetica o centralizzata.

### **Estensioni del Bordo**

Sporgenze lineari o arcuate che si estendono dai bordi cristallini, frequentemente allineandosi con inclusioni vescicolari o toroidali. Servono come fronti di crescita o bracci strutturali nell'auto-assemblaggio avanzato.

### **Modulazione del Campo Energetico**

L'influenza di input energetici esterni (es. campi magnetici, frequenze vibrazionali) sul comportamento di materiali o sistemi, in particolare in contesti di auto-assemblaggio.

### **Biforcazione Energia-Informazione**

Un modello concettuale in cui l'energia stabilisce la forma base di una struttura, ma l'informazione

ne determina la complessità, la stabilità e le caratteristiche frattali. Fondamentale per interpretare la cristallizzazione di prima e di seconda generazione.

### **Acqua di Zona di Esclusione (EZ)**

Una fase strutturata dell'acqua, descritta da Pollack, adiacente a superfici idrofile ed esibente differenti proprietà fisiche (es. separazione di carica, viscosità). Proposto per influenzare o sostenere fenomeni di auto-assemblaggio coerente.

### **Interruzione della Coerenza di Campo**

Perdita di regolarità geometrica e comportamento strutturato dovuta all'interferenza con l'allineamento energetico o risonante sottostante, spesso causata da campi esterni a bassa intensità.

### **Soglia di Coerenza di Campo**

L'intensità di campo minima o il profilo di frequenza necessari per sostenere o innescare l'auto-assemblaggio dipendente dalla Coerenza. Al di sotto di questa soglia, le strutture collassano o non riescono ad avviarsi.

### **Cristalli di Prima Generazione (1GC)**

Cristalli che si formano durante il ciclo iniziale di evaporazione della goccia sessile in condizioni di alta Coerenza. Mostrano tipicamente geometrie nitide, confini stabili e un'organizzazione interna coerente, riflettendo un'impalcatura energetica imperturbata.

### **Geometria Frattale**

Modelli strutturali autosimili che si ripetono su diverse scale, suggerendo una logica di assemblaggio ricorsiva. I CRM e gli array vescicolari dimostrano spesso proprietà frattali.

### **Cristalli Legati all'Idrogel**

Strutture cristalline integrate con o emergenti da domini di idrogel, che spesso mostrano un comportamento ottico e una formazione dei confini unici.

### **Fase Resiliente all'Informazione**

Una fase strutturale o organizzativa che persiste nonostante l'esaurimento energetico, a causa della codifica informazionale incorporata. Distinta dalle formazioni puramente dipendenti dall'energia.

### **Interfacce Interne**

Confini o compartimentazioni inattesi all'interno di una struttura altrimenti continua. In microscopia, queste si presentano spesso come discontinuità, partizioni di fase o bordi riflettenti.

### **Blocco di Intervalli**

Un modello osservato nelle emissioni di segnali wireless in cui determinati intervalli di pacchetti sono strettamente conservati o appaiono in multipli discreti, il che è incoerente con un comportamento di trasmissione casuale.

### **Vescicole Stratificate**

Strutture vescicolari concentriche o impilate, spesso dall'aspetto appiattito o discoidale, che suggeriscono fasi di precristallizzazione programmate o compartimentazione nidificata.

### **Attivazione di Cluster Luminescenti (ACL)**

Una transizione di fase caratterizzata dall'emergere di inclusioni luminose e foto-reattive all'interno o in prossimità di confini strutturati, spesso legate a vescicole e temporalmente ritardate. Suggerisce comportamento otticamente attivo

nel cambio di fase.

### **Domini Magneticamente Sensibili**

Regioni all'interno di un campione che si spostano, si orientano o si assemblano in risposta a campi magnetici applicati. Osservato frequentemente in nanostrutture sintetiche e non tipico della cristallizzazione classica.

### **Coefficiente di Memoria del Materiale**

Una variabile proposta che descrive la tendenza di un materiale a conservare i precedenti stati di coerenza dopo la rimozione del campo, influenzando la sua capacità di riformare strutture o resistere alla degradazione.

### **Cristallizzazione Non Classica**

Formazione di strutture ordinate tramite intermedi quali colloidali o vescicole, piuttosto che transizioni dirette ione-reticolo cristallino. Osservata frequentemente in ambito farmaceutico e biologico.

### **Orgonite**

Un dispositivo passivo composto da resina, trucioli metallici e quarzo, che si presume emetta o moduli sottili campi energetici. Utilizzato qui come intervento basato su campi che influenza gli esiti dell'auto-assemblaggio.

### **Marcatori di Interfaccia di Fase**

Linee di demarcazione o zone riflettenti visibili tra domini strutturali, che spesso suggeriscono transizioni di densità, idratazione o carica.

### **Involucro Fotonico**

Un confine ottico attorno a una struttura che esibisce un'interazione insolita con la luce, ad esempio diffrazione arcobaleno, luminescenza o rifrazione dinamica, indicando una composizione stratificata o coerente.

**Membrana Fotonica** : Strato limite visibilmente rifrangente, spesso di colore giallo-blu, che separa distinte fasi fluide o colloidali. Può riflettere coerenza ottica, segregazione di fase strutturata o interazioni di campo residue.

### **Decadimento Programmabile**

Un processo ipotizzato, governato internamente, in cui strutture sintetiche si degradano nel tempo secondo sequenze pre-codificate. Questo decadimento procede gradualmente e autonomamente, preservando aspetti dell'architettura informazionale del sistema, anche quando l'integrità strutturale diminuisce.

### **Disassemblaggio Programmato**

Una decostruzione ordinata, innescata esternamente, di strutture complesse in risposta a uno stimolo specifico, come luce, campi magnetici o segnali chimici. Questo processo suggerisce un set di istruzioni incorporato che governa il modo in cui la struttura si sviluppa o collassa quando viene attivata.

### **Autoassemblaggio Programmabile**

Un processo mediante il quale i materiali si organizzano in forme strutturate basate su istruzioni incorporate o modelli reattivi. In contrasto con l'assemblaggio puramente chimico o termodinamico.

### **Bioenergetica Mediata da un Campo Quantistico**

Un modello teorico che propone che i processi biologici siano influenzati da interazioni di campo quantistico, domini di coerenza e accoppiamento elettromagnetico a lungo raggio.

### **Logica di Segnale Iniziata dal Ricevitore**

Un artefatto diagnostico in cui i ricevitori BLE generano internamente pseudo-indirizzi MAC come parte della funzionalità di scansione passiva. Proposto come fonte di emissioni MAC falsi positive.

### **Frammenti Residui di Coerenza**

Residui strutturali che conservano segnature di coerenza parziale, come cluster di vescicole o motivi angolari, anche dopo un ampio disassemblaggio, fungendo da potenziali punti di nucleazione in condizioni di ri-coerenza.

### **Mancanza di Corrispondenza Risonante**

Una condizione in cui trattamenti basati sul campo (es. Orgonite) introducono input vibrazionali o scalari incompatibili con la coerenza intrinseca del sistema, interrompendo la struttura senza l'impiego di alta energia.

### **Assemblaggio Reversibile**

Formazioni strutturali che possono sia emergere sia dissolversi in intervalli di tempo osservabili. Indicativo di transizioni di fase dinamiche, piuttosto che di cristallizzazione inerte.

### **Effetti del Campo Scalare**

Influenze da ipotetici campi non locali o non elettromagnetici (spesso associati alla ricerca sull'energia sottile), proposti per influenzare la coerenza biologica o l'assemblaggio dei materiali.

### **Cristalli di Seconda Generazione (2GC)**

Strutture cristalline che emergono dopo rottura strutturale, ri-evaporazione o smontaggio indotto da un campo. Spesso esibiscono una forma degradata, geometrie irregolari e un accoppiamento vescicola-colloide compromesso, riflettendo una fedeltà di coerenza diminuita.

### **Evaporazione di Goccia Sessile (SDE)**

Un metodo sperimentale che prevede l'essiccazione di una goccia di liquido su una superficie piana per osservare la cristallizzazione, la formazione di vescicole e comportamenti di fase dinamici.

### **Architettura del Segnale**

La progettazione strutturale di un sistema di trasmissione, inclusi intervallo, frequenza, struttura dei bit e distribuzione spaziale. Utilizzato nella caratterizzazione delle emissioni MAC sintetiche.

### **Interfaccia Segnale-Coerenza**

Una zona teorica in cui i segnali informativi (ad esempio, emissioni EM) interagiscono con materia strutturata o sistemi biologici attraverso allineamento, risonanza o modulazione.

### **Coerenza Strutturale**

L'allineamento ordinato degli elementi interni di una struttura su diverse scale, che riflette principi armonici naturali o coerenza nella progettazione sintetica.

### **Acqua Strutturata**

Acqua che presenta disposizioni molecolari organizzate, spesso in prossimità di superfici idrofile. Si ipotizza che svolga un ruolo nella funzione biologica, nella cristallizzazione e nella modulazione tramite campi.

### **Architettura di Emissione Sintetica (AES)**

Un'ipotetica rete occulta di emissioni simili al Bluetooth, non derivanti da dispositivi fisici ma

da sistemi incorporati o iniettabili. Mostra intervalli strutturati, soppressione dell'entropia e resistenza all'attribuzione.

### **Livello di Nanonetwork Sintetico (LNS)**

Un'ipotetica architettura digitale nascosta, incorporata all'interno di sistemi biologici o interagente con essi. Composta da emettitori a nanoscala, comportamenti strutturati dei segnali e logica di comunicazione decentralizzata.

### **Sequenza della Macchina per Tirare il Taffy**

Termine descrittivo per la riconfigurazione morfologica estesa di strutture cristalline sotto illuminazione a campo oscuro, caratterizzata da un lento stiramento meccanico, retrazione e successivo smontaggio, spesso accompagnati da emissione di luce.

### **Crescita per Templating**

L'emergere di un ordine basato su istruzioni incorporate, superfici strutturate o intermedi prestrutturati. Osservato frequentemente in sistemi sintetici o bioingegnerizzati.

### **Modello Tetrafasico di Auto-assemblaggio**

Una sequenza a quattro stadi osservata nelle dinamiche di auto-assemblaggio di preparazioni farmaceutiche durante l'evaporazione di una goccia sessile (SDE). Il processo si articola come segue : (1) comparsa di nanoparticelle, spesso vicino al perimetro della goccia; (2) formazione di domini colloidali, con l'aggregazione e l'interazione delle particelle; (3) generazione e migrazione di vescicole, che formano compartimenti simili a membrane; e (4) consolidamento di motivi cristallini , che finalizza la microstruttura. Questa progressione riflette un'architettura sensibile al campo e coerente-dipendente. L'interruzione di una qualsiasi fase – come l'arresto vescicolare o il disaccoppiamento nanoparticella-colloide – determina esiti strutturali distorti o incompleti. Il modello tetrafasico sostituisce le formulazioni precedenti e riveste rilevanza diagnostica e terapeutica, specialmente in sistemi biologici ad alta coerenza che esibiscono sensibilità elettromagnetica.

### **Theraphi**

Un dispositivo per il trattamento energetico che utilizza tubi al plasma ad alta tensione e Risonanza basata sulla frequenza per indurre Coerenza nei sistemi biologici. Non ha interrotto l'auto-assemblaggio in questo studio.

### **Vescicola Toroidale**

Una vescicola che forma un anello chiuso o una struttura a ciambella, spesso associata a fenomeni ottici e transizioni dinamiche nelle soluzioni di Cristallizzazione.

### **Emissioni di Dispositivi Non Assegnate**

Indirizzi MAC Bluetooth rilevati nelle scansioni che non corrispondono a dispositivi, app o servizi noti. Osservato frequentemente nello scenario post-2021.

### **Fase Vescicolare**

Uno stato dinamico in cui gocce simili a membrane persistono all'interno di un campione prima della Cristallizzazione, spesso interagendo con o organizzando strutture nascenti.

### **Impalcatura Vescicolare**

Un reticolo o una rete ramificata composta da vescicole interconnesse, che funge da fase fondamentale prima della Cristallizzazione. Spesso osservato l'allineamento con estensioni di bordo o la formazione di archi

strutturali.

### **Imprinting Vibrazionale**

Il processo teorico mediante il quale schemi energetici, come frequenze sonore, campi magnetici o onde luminose, vengono impressi nei materiali, alterandone le proprietà strutturali o comportamentali.

### **Emissione di Banda Visibile**

Emissione di luce o modelli di diffrazione osservati tramite microscopia in campo oscuro, che spesso indicano strutture otticamente attive o multistrato con potenziali proprietà fotoniche.

### **Artefatto di Segnale Wireless**

Un modello di emissione fuorviante o non intenzionale rilevato da strumenti di scansione passiva, spesso dovuto all'elaborazione interna piuttosto che a una trasmissione effettiva. Rilevante nell'interpretazione di indirizzi MAC anomali.

### **Variazione del Potenziale Zeta**

Una variazione della carica superficiale di particelle colloidali o vescicolari, che altera il loro comportamento di aggregazione. Si ipotizza che si verifichi in risposta all'esposizione al campo o a transizioni di fase durante l'auto-assemblaggio.

## **Ringraziamenti**

Desidero esprimere la mia sincera gratitudine a Xstra Technologies Group e agli abbonati al Substack di NixonLab per il loro prezioso supporto e contributo a questa ricerca. Un ringraziamento speciale ai Micronauti. Le opinioni, i punti di vista e le conclusioni presentati in questo articolo sono esclusivamente miei.

## **Dichiarazione di Assenza di Conflitti di Interesse**

Questa ricerca è stata condotta in modo indipendente, senza influenze esterne che abbiano compromesso i dati o le conclusioni presentate. Sebbene una parte del mio reddito derivi dagli abbonamenti alla mia pubblicazione personale Substack, ciò non compromette l'integrità o l'obiettività di questo studio. Non sono riportati altri conflitti di interesse.

## **Avviso di copyright**

© 2025 David Nixon. Alcuni diritti riservati. Quest'opera può essere liberamente condivisa, riprodotta o tradotta per finalità non commerciali, educative o di ricerca, a condizione che ne venga riconosciuta la paternità. La ridistribuzione di immagini o testi in opere modificate o derivate deve parimenti riconoscere la fonte originale. La riproduzione commerciale, incluso l'utilizzo in prodotti o pubblicazioni a scopo di lucro, richiede il previo consenso scritto dell'autore. Per licenze o autorizzazioni, si prega di contattare: david@drdavidnixon.com.

Quest'opera è stata interamente finanziata con fondi privati.

Visitate il mio sito web:[www.drdavidnixon.com](http://www.drdavidnixon.com) per ulteriori immagini e video e, Date un'occhiata al mio Substack:[davidnixon.substack.com](http://davidnixon.substack.com)

## Disclaimer legale

Le informazioni fornite su questo sito web e nel *Journal of BioNanoTecnocrazia: Countdown to 2030* sono da intendersi esclusivamente a scopo informativo ed educativo. Non intendono fornire una diagnosi, una raccomandazione di trattamento, una strategia di prevenzione o una cura per qualsiasi condizione medica, procedura o protocollo menzionato. Si consiglia a utenti e lettori, inclusi genitori, tutori, operatori sanitari o altri, di esercitare il proprio giudizio e consultare professionisti qualificati in merito ad applicazioni o decisioni specifiche.

Gli autori, i curatori editoriali e chiunque sia associato al sito web e/o alla rivista declinano ogni responsabilità per qualsiasi danno, lesione, perdita finanziaria o altra conseguenza derivante dall'uso, dall'applicazione o dall'interpretazione delle informazioni, dei risultati di ricerca, delle opinioni o delle conclusioni qui contenuti. L'utente è l'unico responsabile dell'uso che farà di questo materiale.

Il materiale è fornito gratuitamente per l'esame e l'esplorazione accademica. Qualora il materiale venga citato, menzionato o riprodotto, è obbligatorio riconoscere la fonte o l'autore originale e rispettare i termini della licenza Creative Commons 4.0 NC ND o di qualsiasi altro accordo di licenza applicabile. La redistribuzione per scopi commerciali o in forma alterata è severamente vietata.

## Riflessioni conclusive

*Nei sistemi dominati dall'offuscamento, la verità non scompare, ma viene soffocata. Chi detiene il potere non si limita a negare realtà scomode; essi fabbricano caos epistemico, reindirizzano l'indagine e pretendono che i critici soddisfino standard di prova impossibili. Nel frattempo, le loro spiegazioni restano sgravate da prove, protette dall'inerzia istituzionale. In tale contesto, il dovere di un osservatore coscienzioso non è provare ciò che non si può vedere pienamente, ma illuminare ciò che è già presente, riproducibile e inconciliabile con le narrazioni ufficiali.*

